

การพัฒนาพิล์มโพลีแลคติกแอซิตสำหรับงานด้านบรรจุภัณฑ์
ผลของพลาสติกไชเซอร์ต่อสมบัติเชิงกลและการสลายตัว

THE DEVELOPMENT OF POLYLACTIC ACID FILM FOR PACKAGING :
THE EFFECT OF PLASTICIZER ON MECHANICAL
AND DEGRADATION PROPERTIES

นางสาวจารุวรรณ ภาณุ รหัส 52364902
นางสาวประภาวรรณ น้อยสุภาพ รหัส 52365060

ที่ปรึกษาด้านเทคโนโลยีวิศวกรรมศาสตร์
วันที่รับ..... 5 ส.ค. 2556 /
เลขทะเบียน..... 16324034
เลขเรียกหนังสือ..... ๙๕
มหาวิทยาลัยแม่ฟ้า

มหาวิทยาลัยแม่ฟ้า ๗๓๒

ปริญญาในพนธน์เป็นส่วนหนึ่งของการศึกษาหลักสูตรปริญญาวิศวกรรมศาสตรบัณฑิต
สาขาวิชาบริหารและจัดการ ภาควิชาบริหารและจัดการ

คณะวิศวกรรมศาสตร์ มหาวิทยาลัยแม่ฟ้า

ปีการศึกษา 2555



ใบรับรองปริญญาภินิพนธ์

ชื่อหัวข้อโครงการ	การพัฒนาฟิล์มพอลีแลคติดิคและสำหรับงานด้านบรรจุภัณฑ์: ผลของพลาสติกไชเซอร์ต่อสมบัติเชิงกลและการย่อยสลาย
ผู้ดำเนินโครงการ	นางสาวจารุวรรณ ภาณุ รหัส 52364902 นางสาวประภาพร น้อยสุภาพ รหัส 52365060
ที่ปรึกษาโครงการ	ดร. นพวรรณ ไม้ทอง
สาขาวิชา	วิศวกรรมเคมี
ภาควิชา	วิศวกรรมอุตสาหการ
ปีการศึกษา	2555

คณะวิศวกรรมศาสตร์ มหาวิทยาลัยนเรศวร อนุมัติให้ปริญญาภินิพนธ์ฉบับนี้เป็นส่วนหนึ่ง
ของการศึกษาตามหลักสูตรวิศวกรรมศาสตรบัณฑิต สาขาวิชาเคมี

ที่ปรึกษาโครงการ

(ดร. นพวรรณ ไม้ทอง)

กรรมการ

(ดร. อิศราวน ประเสริฐสังข์)

กรรมการ

(ดร. กมรรตัน จันธรรม)

กรรมการ

(อาจารย์อาภากรณ์ จันทร์ปิรักษ์)

ชื่อหัวข้อรายงาน	การพัฒนาฟิล์มพอลีแลคติกแอชิตสำหรับงานด้านบรรจุภัณฑ์:		
	ผลของพลาสติกไชเซอร์ต่อสมบัติเชิงกลและการย่อยสลาย		
ผู้ดำเนินโครงการ	นางสาวจารุวรรณ ภาณุ	รหัส 52364902	
	นางสาวประภาพรรณ น้อยสุภาพ	รหัส 52365060	
ที่ปรึกษาโครงการ	ดร. นพวรรณ โน้ตทอง		
สาขาวิชา	วิศวกรรมเคมี		
ภาควิชา	วิศวกรรมอุตสาหการ		
ปีการศึกษา	2555		

บทคัดย่อ

บรรจุภัณฑ์ที่ทำจากกระดาษเคลือบด้วยพลาสติกซึ่งในปัจจุบันมีปริมาณการใช้แล้วทั้งสูงมาก ส่วนที่เป็นกระดาษของบรรจุภัณฑ์สามารถย่อยสลายได้ตามธรรมชาติ แต่ส่วนที่เป็นพลาสติก ไม่สามารถย่อยสลายได้หรือใช้เวลาในการย่อยสลายนาน งานวิจัยนี้ศึกษาสมบัติทางกลและสมบัติ การย่อยสลายของฟิล์มพอลีแลคติกแอชิต โดยงานวิจัยจะแบ่งออกเป็น 2 ส่วน คือ ศึกษาผลของ พลาสติกไชเซอร์ทั้ง 2 ชนิด ที่มีผลต่อสมบัติของฟิล์มพอลีแลคติกแอชิตและศึกษาสมบัติของฟิล์มที่ทำการ laminate ระหว่างฟิล์มกับกระดาษ

ฟิล์มย่อยสลายทางชีวภาพพอลีแลคติกแอชิตผสมระหว่างสารโมเลกุลเด็กที่ใช้เป็นพลาสติก-ไชเซอร์ 2 ชนิด อัตราส่วน 2, 4 และ 6 %wt ความเร็วถูกกลิ้ง 150, 200 และ 250 รอบต่อนาที ผลจากการทดสอบสมบัติทางกล พบว่า ฟิล์มพอลีแลคติกแอชิตในแนวขวางการขึ้นรูปที่ความเร็ว ถูกกลิ้ง 150 รอบต่อนาที ที่เติมเออทิลีนไอกลคอล 2 %wt มีค่าการทนต่อแรงดึงเพิ่มขึ้นร้อยละ 37 ค่า ร้อยละการยืดตัวก่อนขาดเพิ่มขึ้นร้อยละ 39 และฟิล์มที่เติมโพร์พลีนไอกลคอล 4 %wt มีมอดูลัสสูง ยึดหยุ่นเพิ่มขึ้นร้อยละ 50 ซึ่งมีค่าสูงกว่าฟิล์มพอลีแลคติกแอชิตที่ไม่ได้เติมพลาสติกไชเซอร์ ฟิล์ม laminate ขนาดกระดาษ 60 แกรม พบว่า ที่ความเร็วถูกกลิ้ง 150 รอบต่อนาที ที่เติมเออทิลีนไอกลคอล 2 %wt มี ค่าการทนต่อแรงดึงเพิ่มขึ้นร้อยละ 7 ที่เติมโพร์พลีนไอกลคอล 2 %wt มีร้อยละการยืดตัวก่อนขาด เพิ่มขึ้นร้อยละ 19 และที่เติมเออทิลีนไอกลคอล 2 %wt มีมอดูลัสสูง ยึดหยุ่นเพิ่มขึ้นร้อยละ 43 ฟิล์ม laminate ขนาดกระดาษ 80 แกรม ที่เติมโพร์พลีนไอกลคอล 2 %wt มีค่าการทนต่อแรงดึงเพิ่มขึ้น ร้อยละ 18 ที่เติมเออทิลีนไอกลคอล 2 %wt มีเบอร์เซ็นต์การยืดตัวก่อนขาดเพิ่มขึ้นร้อยละ 50 และที่เติมโพร์พลีน ไอกลคอล 2 %wt มีมอดูลัสสูง ยึดหยุ่นเพิ่มขึ้นร้อยละ 33 เมื่อเทียบกับฟิล์มพอลีแลคติกแอชิตที่ไม่ เติมพลาสติกไชเซอร์ และสมบัติการย่อยสลาย พบว่า ฟิล์มพอลีแลคติกแอชิตที่เติมโพร์พลีนไอกลคอล และเออทิลีนไอกลคอลมีค่าไม่ได้แตกต่างกันมาก ซึ่งมีการย่อยสลายมากกว่าฟิล์มพอลีแลคติกแอชิตที่ ไม่ได้เติมพลาสติกไชเซอร์

กิตติกรรมประกาศ

ปริญญา妮พนธ์ฉบับนี้ สำเร็จลุล่วงไปได้ด้วยความช่วยเหลือของทนายฯ ฝ่าย โดยเฉพาะ ดร.นพวรรณ โน้มทอง อาจารย์ที่ปรึกษาโครงการ ที่ได้ให้คำแนะนำ คำปรึกษา แนะนำวิธีแก้ปัญหา รวมถึงข้อคิดเห็นต่างๆ ตลอดจนความดูแลเอาใจใส่ ติดตามการดำเนินโครงการมาโดยตลอด และขอขอบคุณคณะอาจารย์ประจำภาควิชาศิลปกรรมอุตสาหกรรม มหาวิทยาลัยเกรุงทุกท่าน ที่ได้ให้ วิชาความรู้ เพื่อนำมาประยุกต์ใช้ในการทำปริญญา妮พนธ์ฉบับนี้

นอกจากนี้ต้องขอขอบคุณ ภาควิชาศิลปกรรมวัสดุและโลหะการ คณะวิศวกรรมศาสตร์ มหาวิทยาลัยเทคโนโลยีราชมงคลล้านนา อาจารย์และบุคลากรทุกท่าน ที่ได้ให้ความอนุเคราะห์ในการ เข้าไปใช้สถานที่และเครื่องมือ สำหรับการขึ้นรูปชิ้นงานเพื่อใช้ในการทำปริญญา妮พนธ์ฉบับนี้ เป็นอย่างดีมาโดยตลอด

สุดท้ายนี้ผู้ดำเนินโครงการครรช่องทางของสถาบัน บิดา มารดา ที่ได้ให้การดูแล อบรม สั่งสอนและให้กำลังใจด้วยดีเสมอมา ตลอดการดำเนินโครงการจนสำเร็จการศึกษา

คณะผู้ดำเนินโครงการวิศวกรรม

นางสาวจาลุวรรณ ภาคุล

นางสาวประภาพรรณ น้อยสุภาพ

มีนาคม 2556

สารบัญ

	หน้า
ใบรับรองปริญญาบัตร.....	ก
บทคัดย่อภาษาไทย.....	ข
กิตติกรรมประกาศ.....	ค
สารบัญ.....	ง
สารบัญตาราง.....	จ
สารบัญรูป.....	ช
สารบัญสัญลักษณ์และอักษรย่อ.....	ช
บทที่ 1 บทนำ.....	1
1.1 ความเป็นมาและความสำคัญของโครงการ.....	1
1.2 วัตถุประสงค์ของโครงการ.....	2
1.3 ขอบเขตการดำเนินโครงการ.....	2
1.4 สถานที่ดำเนินโครงการ.....	4
1.5 ระยะเวลาในการดำเนินโครงการ.....	4
1.6 สถานที่ในการดำเนินโครงการ.....	4
บทที่ 2 หลักการและทฤษฎี.....	5
2.1 ทบทวนวรรณกรรม/งานวิจัยที่เกี่ยวข้อง.....	5
2.2 ทฤษฎีที่เกี่ยวข้อง.....	9
บทที่ 3 วิธีดำเนินโครงการ.....	18
3.1 การเตรียมพื้นที่และเครื่องมือ.....	18
3.2 ขั้นตอนการตามมิเนตพื้นที่และเครื่องมือ.....	19
3.3 การทดสอบสมบัติเชิงกลของขึ้นงาน.....	20
3.4 การทดสอบสมบัติทางกายภาพของขึ้นงาน.....	20

สารบัญ (ต่อ)

	หน้า
บทที่ 4 ผลการทดลองและวิเคราะห์.....	22
4.1 พอลีแลคติกแอซิต.....	22
4.2 ขั้นงานทดสอบ.....	23
4.3 ผลการทดสอบสมบัติเชิงกล.....	25
4.4 ผลการทดสอบสมบัติการย่อยสลาย.....	47
บทที่ 5 บทสรุปและข้อเสนอแนะ.....	58
5.1 บทสรุป.....	58
5.2 ข้อเสนอแนะ.....	62
เอกสารอ้างอิง.....	63
ภาคผนวก ก.....	67
ภาคผนวก ข.....	87

สารบัญตาราง

ตารางที่	หน้า
1.1 ขั้นตอนและแผนการดำเนินงาน.....	4
2.1 เปรียบเทียบสมบัติระหว่างพอลีแลคติกแอชิต พอลีเอทิลีนและพอลีพรีลีนไกลคอล.....	11
4.1 ตารางเปรียบเทียบน้ำหนักที่สูญเสียไปของฟิล์มพอลีแลคติกแอชิตที่ไม่ได้ลามิเนตผังดิน ระยะเวลาผ่านไป 8 สัปดาห์ ความเร็วลูกกลิ้ง 150 รอบต่อนาที.....	49
4.2 ตารางเปรียบเทียบน้ำหนักที่สูญเสียไปของฟิล์มพอลีแลคติกแอชิตที่ไม่ได้ลามิเนตผังดิน ระยะเวลาผ่านไป 8 สัปดาห์ที่ความเร็วลูกกลิ้ง 200 รอบต่อนาที.....	50
4.3 ตารางเปรียบเทียบน้ำหนักที่สูญเสียไปของฟิล์มพอลีแลคติกแอชิตที่ไม่ได้ลามิเนตผังดิน ระยะเวลาผ่านไป 8 สัปดาห์ที่ความเร็วลูกกลิ้ง 250 รอบต่อนาที.....	53
4.4 ตารางเปรียบเทียบน้ำหนักที่สูญเสียไปของฟิล์มพอลีแลคติกแอชิตลามิเนตกระดาษ 60 แกรม ผังดินเมื่อระยะเวลาผ่านไป 8 สัปดาห์ ที่ความเร็วลูกกลิ้ง 150 รอบต่อนาที.....	55
4.5 ตารางเปรียบเทียบน้ำหนักที่สูญเสียไปของฟิล์มพอลีแลคติกแอชิตลามิเนตกระดาษ 60 แกรม ผังดินเมื่อระยะเวลาผ่านไป 8 สัปดาห์ ที่ความเร็วลูกกลิ้ง 200 รอบต่อนาที.....	56
4.6 ตารางเปรียบเทียบน้ำหนักที่สูญเสียไปของฟิล์มพอลีแลคติกแอชิตที่ลามิเนตกระดาษ 60 แกรม ผังดินเมื่อระยะเวลาผ่านไป 8 สัปดาห์ ที่ความเร็วลูกกลิ้ง 250 รอบต่อนาที.....	58

สารบัญรูป

รูปที่	หน้า
2.1 พอลีแลคติกแอซิต.....	11
2.2 กระบวนการลามิเนตโดยใช้การ ร่วมกับการเป่าแห้ง.....	14
2.3 กราฟความสัมพันธ์ระหว่างความเค้นกับความเครียด.....	17
3.1 ตัวอย่างการเตรียมชิ้นงานทดสอบ.....	20
3.2 ตัวอย่างชิ้นงานที่ย่อยสลาย.....	21
4.1 พอลีแลคติกแอซิต.....	22
4.2 การโพลีลีนไกลคอลและเอทิลีนไกลคอลใช้เป็นพลาสติกใช้เชื้อร์ที่ 2 %wt, 4 %wt และ 6 %wt.....	22
4.3 ฟิล์มพอลีแลคติกแอซิตที่ใช้ทดสอบสมบัติทางกล a) ตามแนวการขึ้นรูป b) แนวขวางการขึ้นรูป.....	23
4.4 ฟิล์มพอลีแลคติกแอซิตที่ใช้ทดสอบสมบัติการย่อยสลาย a) ฟิล์มลามิเนตกระดาษ 60 แกรม b) ฟิล์มลามิเนตกระดาษ 80 แกรม.....	24
4.5 ชิ้นงานทดสอบสมบัติการย่อยสลาย a) ชิ้นงานทดสอบฟิล์มพอลีแลคติกแอซิต b) ชิ้นงานทดสอบฟิล์มพอลีแลคติกแอซิตลามิเนตกระดาษ 60 แกรม.....	24
4.6 กราฟแสดงความสัมพันธ์การทนต่อแรงดึงกับความเข้มข้นพลาสติกใช้เชื้อร์ของฟิล์มพอลีแลคติกแอซิตลามิเนตกระดาษ 80 แกรม a) ความเร็วลูกกลิ้ง 150 รอบต่อนาที b) ความเร็วลูกกลิ้ง 200 รอบต่อนาที c) ความเร็วลูกกลิ้ง 250 รอบต่อนาที.....	25
4.7 กราฟแสดงความสัมพันธ์การทนต่อแรงดึงกับความเข้มข้นพลาสติกใช้เชื้อร์ของฟิล์มลามิเนตกระดาษ 60 แกรม a) ความเร็วลูกกลิ้ง 150 รอบต่อนาที b) ความเร็วลูกกลิ้ง 200 รอบต่อนาที c) ความเร็วลูกกลิ้ง 250 รอบต่อนาที.....	28
4.8 กราฟแสดงความสัมพันธ์การทนต่อแรงดึงกับความเข้มข้นพลาสติกใช้เชื้อร์ของฟิล์มลามิเนตกระดาษ 80 แกรม a) ความเร็วรอบ 150 รอบต่อนาที b) ความเร็วรอบ 200 รอบต่อนาที c) ความเร็วรอบ 20 รอบต่อนาที	30

สารบัญรูป (ต่อ)

รูปที่	หน้า
4.9 กราฟแสดงความสัมพันธ์ค่าร้อยละการยึดตัวก่อนขาดกับความเข้มข้น พลาสติกไชเซอร์ของพิล์ม a) ความเร็วสูงกลึง 150 รอบต่อนาที b) ความเร็วสูงกลึง 200 รอบต่อนาที c) ความเร็วสูงกลึง 250 รอบต่อนาที.....	32
4.10 กราฟแสดงความสัมพันธ์ค่าร้อยละการยึดตัวก่อนขาดกับความเข้มข้น ของพลาสติกไชเซอร์ของพิล์ม lamini เนตกระดาษ 60 แกรม a) ความเร็วสูงกลึง 150 รอบต่อนาที b) ความเร็วสูงกลึง 200 รอบต่อนาที c) ความเร็วสูงกลึง 250 รอบต่อ.....	35
4.11 กราฟแสดงความสัมพันธ์ร้อยละการยึดตัวก่อนขาดกับความเข้มข้น ของพลาสติกไชเซอร์ของพิล์ม lamini เนตกระดาษ 80 แกรม a) ความเร็วสูงกลึง 150 รอบต่อนาที b) ความเร็วสูงกลึง 200 รอบต่อนาที c) ความเร็วสูงกลึง 250 รอบต่อนาที.....	37
4.12 กราฟแสดงความสัมพันธ์ค่ามอดูลัสสภาระยึดหยุ่นกับความเข้มข้นพลาสติกไชเซอร์ ของพิล์มพอลีแลคติกแอซิต a) ความเร็วสูงกลึง 150 รอบต่อนาที b) ความเร็วสูงกลึง 200 รอบต่อนาที c) ความเร็วสูงกลึง 250 รอบต่อนาที.....	40
4.13 กราฟแสดงความสัมพันธ์ค่าทนต่อแรงดึงกับความเข้มข้นพลาสติกไชเซอร์ ของพิล์ม lamini เนตกระดาษ 60 แกรม a) ความเร็วสูงกลึง 150 รอบต่อนาที b) ความเร็วสูงกลึง 200 รอบต่อนาที c) ความเร็วสูงกลึง 250 รอบต่อนาที.....	42
4.14 กราฟแสดงความสัมพันธ์มอดูลัสสภาระยึดหยุ่นกับความเข้มข้นพลาสติกไชเซอร์ ของพิล์ม lamini เนตกระดาษ 80 แกรม a) ความเร็วสูงกลึง 150 รอบต่อนาที b) ความเร็วสูงกลึง 200 รอบต่อนาที c) ความเร็วสูงกลึง 250 รอบต่อนาที.....	44
4.15 ผลการย่อยสลายของพิล์มพอลีแลคติกแอซิตที่เติมพลาสติกไชเซอร์ที่อัตราส่วนต่างๆ เมื่อระยะเวลาผ่านไป a) 0 สัปดาห์ b) 4 สัปดาห์ และ c) 8 สัปดาห์.....	47
4.16 ผลการย่อยสลายของพิล์มพอลีแลคติกแอซิตที่เติมพลาสติกไชเซอร์อัตราส่วนต่างๆ lamini เนตกระดาษ 60 แกรม เมื่อระยะเวลาผ่านไป a) 0 สัปดาห์ b) 4 สัปดาห์ และ c) 8 สัปดาห์.....	47

สารบัญรูป (ต่อ)

รูปที่	หน้า
4.17 ภาพเปรียบเทียบฟิล์มพอลีแลคติกออชิตกับโพร์พีลีนไกลคอล 2 %wt ความเร็วสูงลึ้ง 150 รอบต่อนาที เมื่อระยะเวลาผ่านไป 8 สัปดาห์.....	48
4.18 ภาพเปรียบเทียบฟิล์มพอลีแลคติกออชิตกับโพร์พีลีนไกลคอล 2 %wt ความเร็วสูงลึ้ง 200 รอบต่อนาที เมื่อระยะเวลาผ่านไป 8 สัปดาห์.....	50
4.19 ภาพเปรียบเทียบฟิล์มพอลีแลคติกออชิตกับเอทิลีนไกลคอล 6 %wt ความเร็วสูงลึ้ง 250 รอบต่อนาที ระยะเวลา 0 สัปดาห์กับ 8 สัปดาห์.....	51
4.20 ภาพเปรียบเทียบฟิล์มพอลีแลคติกออชิตกับโพร์พีลีนไกลคอล 2 %wt ตามอัตราการดาม 60 แกรม ความเร็วสูงลึ้ง 150 รอบต่อนาทีเมื่อระยะเวลา 8 สัปดาห์.....	53
4.21 ภาพเปรียบเทียบฟิล์มพอลีแลคติกออชิตกับโพร์พีลีนไกลคอล 2 %wt ตามอัตราการดาม 60 แกรม ความเร็วสูงลึ้ง 200 รอบต่อนาที เป็นระยะเวลา 8 สัปดาห์.....	54
4.22 ภาพเปรียบเทียบฟิล์มพอลีแลคติกออชิตกับเอทิลีนไกลคอล 6 %wt ตามอัตราการดาม 60 แกรม ความเร็วสูงลึ้ง 250 รอบต่อนาที ระยะเวลาผ่านไป 8 สัปดาห์.....	56

สารบัญสัญลักษณ์และอักษรย่อ

PLA	=	Polylactic Acid
PG	=	Propylene Glycol
EG	=	Ethylene Glycol
T_g	=	Glass Transition Temperature
rpm	=	รอบต่อนาที
%wt	=	Percent of Weight



บทที่ 1

บทนำ

1.1 ความเป็นมาและความสำคัญของโครงงาน

ในปัจจุบันนี้พลาสติกชีวภาพ (Bioplastic) เป็นทางเลือกใหม่ที่กำลังได้รับการพัฒนาและใช้กันอย่างแพร่หลายเนื่องจากเป็นวัสดุจากแหล่งวัตถุดิบที่สามารถปลูกทดแทนใหม่ได้ เป็นการลดปัญหาด้านการขาดแคลนวัตถุดิบและผลกระทบต่อสภาวะแวดล้อม โดยพลาสติกชีวภาพที่นิยมนำมาใช้ส่วนใหญ่เป็นพลาสติกชีวภาพที่อยู่ในกลุ่มอะลิฟติกโพลีอีสเทอร์ (Aliphatic Polyester) ซึ่งผลิตได้จากการสังเคราะห์ทางเคมีของอนомอเมอร์จากแหล่งวัตถุดิบทางการเกษตรจำพวกแป้งและน้ำตาล เช่น ข้าวโพด มันสับปะหลัง อ้อย เป็นต้น และสามารถขึ้นรูปด้วยกระบวนการต่างๆ เช่น การอัดรีด (Extrusion) แม่พิมพ์แบบฉีด (Injection Molding) การเป่าฟิล์ม (Blow Film) การเป่าขึ้นรูป (Blow Molding) และกระบวนการอัด (Compression) [3, 6, 12]

โพลีแลคติกแอซิด (Polylactic Acid: PLA) เป็นโพลีเมอร์ที่สามารถย่อยสลายได้ทางชีวภาพ เป็นพลาสติกชีวภาพที่อยู่ในกลุ่มอะลิฟติกโพลีอีสเทอร์ ทำให้เป็นที่นิยมนำมาใช้เพื่อแก้ปัญหาทางด้านสิ่งแวดล้อมและลดการใช้งานวัสดุจากปิโตรเลียม [4] เนื่องจากโพลีแลคติกแอซิดมีสมบัติย่อยสลายได้ทางชีวภาพไม่เป็นมลภาวะ แต่สมบัติบางประการของโพลีแลคติกแอซิดยังไม่เหมาะสม นำไปขึ้นรูปได้ เช่น มีอุณหภูมิเปลี่ยนสถานะคล้ายแก้ว (Glass Transition Temperature: T_g) สูง ด้ชนีการไหลที่ต่ำ มีความerasre ความยืดหยุ่นต่ำ เป็นต้น ดังนั้นงานวิจัยนี้จึงต้องการศึกษาและพัฒนาฟิล์มโพลีแลคติกแอซิดเพื่อทำการปรับปรุงสมบัติเชิงกลและสมบัติทางกายภาพโดยเลือกใช้พลาสติก-ไชเซอร์ 2 ชนิด คือ เอทิลีนไอกลคอล (Ethylene Glycol: EG) และโพร์พีลีนไอกลคอล (Propylene Glycol: PG) และนำไปขึ้นรูปเป็นแผ่นฟิล์มที่สามารถนำไปใช้งานด้านบรรจุภัณฑ์ [1, 2, 4]

งานวิจัยนี้เป็นการพัฒนาฟิล์มพอลีแลคติกแอชิตแบ่งการศึกษาออกเป็น 2 ส่วน คือ ขั้นตอนแรก เตรียมฟิล์มพอลีแลคติกแอชิตโดยการเติมพลาสติกไชเซอร์ในอัตราส่วน 100 %wt, 98:2 %wt, 96:4 %wt และ 94:6 %wt [2] หลังจากนั้นนำฟิล์มพอลีแลคติกแอชิตไปทดสอบสมบัติทางกล เช่น ความทนต่อแรง (Tensile Strength) ยั่งมอดูลัส (Young's Modulus) และร้อยละการยืดตัวก่อนขาด (Elongation at Break) [3, 5] ทดสอบสมบัติทางกายภาพ คือ การย่อสายหางชีวภาพและขั้นตอนต่อมานำฟิล์มพอลีแลคติกแอชิตไปทำการลามิเนต (Laminate) กับกระดาษเพื่อทดสอบสมบัติทางกล เช่น ความทนต่อแรงดึง ยั่งค์มอดูลัส และร้อยละการยืดตัวก่อนขาด ทดสอบสมบัติทางกายภาพ คือ การย่อสายหางชีวภาพ เพื่อใช้เป็นแนวทางในการปรับปรุงสมบัติของแผ่นฟิล์มที่สามารถนำไปใช้งาน ในอุตสาหกรรมในประเทศไทยต่อไป [4-13]

1.2 วัตถุประสงค์ของโครงการ

1.2.1 เพื่อศึกษาผลของพลาสติกไชเซอร์ทั้ง 2 ชนิด คือ เอทิลีนไกลคอลและโพร์พีลีนไกลคอล ที่มีผลต่อสมบัติของฟิล์มพอลีแลคติกแอชิต

1.2.2 เพื่อศึกษาสมบัติของฟิล์มที่ใช้ในการลามิเนตระหว่างฟิล์มกับกระดาษที่ใช้กาวเป็นตัวเชื่อมประสาน

1.3 ขอบเขตของงานวิจัย

งานวิจัยนี้เป็นงานวิจัยในระดับห้องปฏิบัติการซึ่งกำหนดขอบเขตงานวิจัยโดยมุ่งเน้น 2 ประเด็น คือ

1.3.1 การเตรียมและการขึ้นรูปฟิล์มพอลีแลคติกแอชิต กำหนดขอบเขตงานวิจัย ดังนี้

1.3.1.1 วัสดุหลัก คือ พอลีแลคติกแอชิต (เกรด 4043D)

1.3.1.2 วัสดุเติมหรือพลาสติกไชเซอร์มี 2 ชนิด คือ

ก. เอทิลีนไกลคอล (มวลโมเลกุล 62.07)

ข. โพร์พีลีนไกลคอล (มวลโมเลกุล 76.09)

1.3.1.3 นำพอลิเมอร์มาขึ้นรูปด้วยเครื่องเป่าฟิล์มในอัตราส่วน 100:0 %wt, 98:2 %wt, 96:4 %wt และ 94:6 %wt ด้วยหัวดายน์ชีนรูปฟิล์มชนิดเป่าฟิล์ม ที่มีความหนา 0.07 ± 0.02 มิลลิเมตร

1.3.1.4 นำพิล์มพอลีแลคติกแอชิตไปทดสอบสมบัติทางกล ได้แก่ ความหนาต่อแรงดึง ยังคงอุดลักษ์ ร้อยละการยึดตัวก่อนขาด และทดสอบสมบัติทางกายภาพ คือ การยืดสลายทางชีวภาพ

1.3.2 การทดสอบและการ laminate พิล์มพอลีแลคติกแอชิต

1.3.2.1 วัสดุหลัก คือ พิล์มพอลีแลคติกแอชิตและกระดาษ 60 แกรม และ 80 แกรม มีความหนา 0.08 และ 0.1 มิลลิเมตร

1.3.2.2 วัสดุที่ใช้เป็นตัวประสาน คือ กาว ROBONDTM L-90

1.3.2.3 นำพิล์มพอลีแลคติกแอชิตมา laminate กับกระดาษ ด้วยกาว ROBONDTM L-90D ที่ใช้เป็นตัวเชื่อมประสาน

1.3.2.4 ทดสอบสมบัติเชิงกล เช่น ความหนาต่อแรงดึง ยังคงอุดลักษ์ และร้อยละการยึดตัวก่อนขาด ทดสอบสมบัติทางกายภาพ คือ การยืดสลายทางชีวภาพ

1.3.3 ตัวแปรต้น

1.3.3.1 พลาสติกไชเซอร์ 2 ชนิด คือ เอทิลีนไกลคอลและโพร์พีลีนไกลคอลอัตราส่วน 98:2 %wt, 96:4 %wt และ 94:6 %wt ในการขึ้นรูปพิล์มพอลีแลคติกแอชิต

1.3.3.2 พิล์มพอลีแลคติกแอชิตที่มีความหนา 0.02, 0.03 และ 0.05 มิลลิเมตร

1.3.4 ตัวแปรควบคุม

1.3.2.1 วัสดุหลัก คือ พอลีแลคติกแอชิต (เกรด 4043D) และกระดาษที่ความหนา 0.08 และ 0.1 มิลลิเมตร

1.3.2.2 วัสดุที่ใช้เป็นตัวประสาน คือ กาว ROBONDTM L-90

1.3.5 ตัวแปรที่ศึกษา

1.3.5.1 พลาสติกไชเซอร์ 2 ชนิด คือ เอทิลีนไกลคอลและโพร์พีลีนไกลคอลที่มีผลต่อ สมบัติเชิงกลและสมบัติทางกายภาพของพิล์มพอลีแลคติกแอชิต

1.3.5.2 สมบัติเชิงกลและสมบัติทางกายภาพของพิล์มในการ laminate กับกระดาษโดยใช้ การเป็นตัวเชื่อม

1.4 สถานที่ในการดำเนินโครงการ

- 1.4.1 ภาควิชาวิศวกรรมอุตสาหการ คณะวิศวกรรมศาสตร์ มหาวิทยาลัยนเรศวร
1.4.2 ภาควิชาวิศวกรรมวัสดุและโลหะการ คณะวิศวกรรมศาสตร์ มหาวิทยาลัยเทคโนโลยีราชมงคลธัญบุรี

1.5 ระยะเวลาในการดำเนินโครงการ

ตั้งแต่วันที่ 6 มิถุนายน 2555 – 28 กุมภาพันธ์ 2556

1.6 ขั้นตอนและแผนการดำเนินงาน

ตารางที่ 1.1 ขั้นตอนและแผนการดำเนินงาน

บทที่ 2

หลักการและทฤษฎีเบื้องต้น

2.1 ทบทวนวรรณกรรม/งานวิจัยที่เกี่ยวข้อง

พอลีแอลกอติกแอดิทเป็นพอลีเมอร์อย่างสลายได้ทางชีวภาพเป็นที่นิยมนำมาใช้อย่างแพร่หลายในอุตสาหกรรมต่างๆ เช่น ผลิตภัณฑ์บรรจุภัณฑ์ แต่เนื่องจากพอลีแอลกอติกแอดิทยังมีข้อจำกัดของสมบัติบางประการ จึงได้มีการพัฒนาแก้ไขและปรับปรุง อาทิเช่น งานวิจัยของ A.Somwangthanaroj และคณะ [2] ทำการเปลี่ยนชนิดของพลาสติกใช้เชอร์ ได้แก่ PPG, PEPG, TBC และ Adipic Acid อัตราส่วนที่เติม 3, 5 และ 7 %wt พบว่าพอลีเอทิลีนไกลคอล (PPG) 5 %wt ทำให้ฟิล์มพอลีแอลกอติก-แอดิทมีความยืดหยุ่นและค่ายางคงทนดูดซับเพิ่มขึ้น ทำให้ได้ฟิล์มที่เหมาะสมกับการใช้งานด้านบรรจุภัณฑ์ นอกจากนี้ยังมีงานวิจัยที่ได้ทำการศึกษาคล้ายคลึงกับงานวิจัยข้างต้น จะเห็นได้ว่าพลาสติกใช้เชอร์นี้ผลทำให้พอลีแอลกอติกแอดิทมีสมบัติที่ดีขึ้น ได้แก่

F.Hassouna และคณะ [5] พัฒนาพอลีแอลกอติกแอดิทโดยการเติมพอลีเอทิลีนไกลคอลไม่เลกูลต่าเพื่อปรับปรุงสมบัติด้านความยืดหยุ่นและสมบัติทางด้านความร้อน พบว่าพอลีเอทิลีนไกลคอล 20 %wt จะส่งผลให้อุณหภูมิสภาพคล้ายแก้ว (T_g) มีค่า 23-60 องศาเซลเซียส ซึ่งมีค่าสูงกว่าเมื่อเทียบกับพอลีเอทิลีนไกลคอล 10 %wt

J.M.Rabanel และคณะ [8] ศึกษาสมบัติของพอลีเอทิลีนไกลคอลที่ส่งผลกระทบต่อสมบัติของพอลีแอลกอติกแอดิทโดยการปรับเปลี่ยนอัตราส่วนผสมพอลีเอทิลีนไกลคอลแล้วทำการทดสอบสมบัติที่มีลักษณะทางกายภาพแตกต่างกันของสารที่ทำปฏิกิริยา กัน ผลจากการศึกษามีลักษณะสมบัติทางกายภาพที่สามารถนำไปใช้งานด้านเภสัชกรรมได้

L.Averous และคณะ [9] ศึกษาพลาสติกใช้เชอร์และสมบัติของพลาสติกย่อยสลายได้ทางชีวภาพ ทำการทดสอบพลาสติกใช้เชอร์กับพอลีแอลกอติกแอดิทด้วยการหลอมละลายให้เป็นเนื้อเดียวกัน เพื่อศึกษาสมบัติทางกลและอุณหภูมิคล้ายแก้วของพลาสติกใช้เชอร์ ผลจากการศึกษาทำให้พอลี-แอลกอติกแอดิท มีความยืดหยุ่นเพิ่มขึ้น ทำให้สามารถนำไปใช้งานได้กว้างขวางมากขึ้น

การปรับปรุงสมบัติของพอลีแลคติกแอชิตให้ดีขึ้นจากการเติมพลาสติกไชเซอร์แล้วยังมีการเสริมแรงด้วยเส้นใย N.Graupner และคณะ [16] ทำการคอมโพซิตระหว่างพอลีแลคติกแอชิตกับปานปอแก้ว และเส้นไชเซลลูโลส พบว่าปอแก้วและพิล์มคอมโพซิตพอลีแลคติกแอชิตกับปานมีค่าทนต่อแรงดึงและค่าสภาควนยืดหยุ่นสูงที่สุด นอกจากนี้ J.Harutk และคณะ [17] ทำการศึกษาพัฒนาเซลลูโลสประเภทเส้นใยนาโนเสริมแรงให้กับพอลีแลคติกแอชิตโดยใช้เครื่องอัดรีดแบบสกรูสัดส่วนผสมเส้นใยลงในพอลีแลคติกแอชิต 1 %wt, 3 %wt และ 5 %wt ค่าความทนแรงตึงและแรงกระแทกเพิ่มขึ้น สัดส่วนในการผสมเส้นใยที่ทำให้สมบัติดีที่สุด คือ การเติมเส้นใย CNF ลงไป 5 %wt ในพอลีแลคติกแอชิต

นอกจากการปรับปรุงสมบัติของพอลีแลคติกแอชิตด้วยการเติมพลาสติกไชเซอร์และการคอม-โพซิตระหว่างพอลีแลคติกแอชิตกับเส้นใย มีการเติมสารตัวเติมอย่างอื่น เช่น งานวิจัยของ J.Mangmeemak และคณะ [1] ได้ทำการเติมยางธรรมชาติ พบว่าเติมยางธรรมชาติปริมาณ 3 และ 5 %wt ทำให้การยึดเกาะของพิล์มพอลีแลคติกแอชิตดีขึ้นและเพิ่มความเหนียวให้พิล์มนอกจากนี้ยังมีงานวิจัยที่คล้ายกันโดยการผสมสารตัวเติมชนิดต่างๆ

S.Whiteside และคณะ [3] เติมวิตามินอี บิวเทิลเลตไไซดรอกซ์ไคลอีน และพอลีเอทธิลีนไกลคอลผสมเข้ากับพอลีแลคติกแอชิต ผลจากการทดสอบพิล์มพอลีแลคติกแอชิตที่เติมวิตามินอี บิวเทิลเลตไไซดรอกซ์ไคลอีน และพอลีเอทธิลีนไกลคอลมีฤทธิ์การต้านอนุมูลอิสระถึงร้อยละ 90 ส่วนพิล์มพอลีแลคติกแอชิตที่เติมบิวเทิลเลตไไซดรอกซ์ไคลอีนและพอลีเอทธิลีนไกลคอลสามารถทดสอบอุณหภูมิคล้ายแก้วได้สูงสุด

E.Mascheroni และคณะ [4] ทำการศึกษาการใช้สารโปรพอลิสท์มีการรวมตัวอยู่ในพิล์มพอลีแลคติกแอชิตมีการเติมสารพอลีเอทธิลีนไกลคอลและเบนโทไนท์แคลเซียมเพื่อปรับปรุงองค์ประกอบของพิล์ม ผลจากการศึกษาทำให้สามารถปรับปรุงสารโปรพอลิสท์ที่อยู่ในพิล์มพอลีแลคติกแอชิตที่เป็นพอลิเมอร์ชีวภาพให้มีความเหมาะสมในงานบรรจุภัณฑ์อาหารได้และไม่มีพิษ

F.Sebastien และคณะ [7] พัฒนาพิล์มจากไคโตซาน (Chitosan) และพอลีแลคติกแอชิตพร้อมศึกษาสมบัติของเชื้อราของสารที่ใช้เคลือบ คือ พอลีเอทธิลีนไกลคอล (PEG) ทำการปรับเปลี่ยนสารไคโตซานและพอลีแลคติกแอชิตในปริมาณต่างผลที่ได้ คือ มีความหนาที่แตกต่างกันใช้ไคโตซานร้อยละ 8.3 พอลีเอทธิลีนไกลคอลและพอลีแลคติกแอชิต 5 %wt จะมีความหนาของพิล์มดีที่สุด ในการศึกษาโครงสร้างและรายละเอียดของไคโตซานต่อพอลีแลคติกแอชิตที่ย่อยสลายได้สิ่งที่เป็นปัญหา

คือ ความชื้นเกิดขึ้นต้องทำการเติมสารคอมโพสิตเพื่อทำให้แผ่นพิล์มมีความชื้นน้อยลงสมบัติทางกายภาพและทางเคมีที่แตกต่างกันทำให้มีขีดจำกัดในการใช้งานสมบัติเด่น คือ สามารถด้านงานน้ำได้ นอกจากการปรับปรุงสมบัติของพอลีแลคติกแอซิตจากงานวิจัยข้างต้นแล้ว กระบวนการขึ้นรูปสามารถเพิ่มประสิทธิภาพให้แก่พิล์ม งานวิจัยของ A.Rozanski และคณะ [6] ทดสอบอัตราส่วนสมบัติที่เป็นพิล์มนามาโนใช้เทคนิคในการเป่าขึ้นรูปและทำให้สามารถองเท็นการไหลผ่านของอุกซิเจน และก้าวการบอนไดออกไซด์ สามารถที่จะใช้กล้องจุลทรรศน์อิเล็กตรอนเพื่อความแม่นยำในการตรวจสอบมากขึ้น พิล์มนามาโนจะขึ้นอยู่กับพิล์มที่ใช้เป็นวัสดุ ส่วนพิล์มพอลีแลคติกแอซิตสามารถนำไปบรรจุอาหารได้และในอุตสาหกรรมปุ๋ยหมักยังมีงานวิจัยที่คล้ายคลึงกัน ได้แก่

A.Conte และคณะ [12] กำหนดสัดส่วนของการผสมกันระหว่างพอลิเมอร์ 3 ชนิด คือ PLA, LDPE และ PCL กับสารตั้งต้นที่ได้จากการธรรมชาติ คือ Lysozyme, Thymol และสารสกัดจากมะนาว (Lemon Extract) ในสัดส่วนต่อไปนี้ 3, 5 และ 10 %wt ผลการทดลองสรุปได้ว่าพิล์มผสมระหว่าง PCL กับ Lysozyme มีสมบัติที่เหมาะสมสำหรับการนำไปเป็นพิล์มงานด้านบรรจุภัณฑ์

F.Carrasco และคณะ [14] ทำการบวนการขึ้นรูปของพอลีแลคติกแอซิตเพื่อศึกษาโครงสร้างทางเคมีเสถียรภาพทางความร้อนและสมบัติทางกล ฉีดเม็ดพอลีแลคติกแอซิต (PLA 200D) เข้าไปในเครื่องฉีดขึ้นรูปอุณหภูมิของหัวฉีด 180, 200 และ 210 องศาเซลเซียส ความดัน 100 บาร์ กำหนดอุณหภูมิของแม่พิมพ์ 25 องศาเซลเซียส นำเม็ดพอลีแลคติกแอซิตไปอบไอล์ความชื้นที่อุณหภูมิ 40 องศาเซลเซียส เป็นเวลา 4 ชั่วโมง ภายใต้สภาวะความดันที่กำหนดลดลงในเครื่องอบแห้ง PIOVAN (DSN506HE) อบอ่อนๆ อุณหภูมิ 120 องศาเซลเซียส เป็นเวลา 6 ชั่วโมง เพื่อเพิ่มความเป็นผลึกให้กับตัวอย่างที่ขึ้นรูปแล้ว

การย่อสลายของพิล์มพอลีแลคติกแอซิตหลังจากการขึ้นรูปพิล์มแล้วได้ทำการศึกษาวิจัยเกี่ยวกับการย่อสลายของพิล์มที่มีการเติมสารตัวเติมชนิดต่างๆ อาทิเช่น J.F.Martucci และคณะ [10] ศึกษาเกี่ยวกับการย่อสลายของพิล์มโดยการเติมสารเติมแต่งลงไปทำการปรับเปลี่ยนอัตราส่วนในการผสมปรับปรุงขั้นตอนวิธีการลามินเนตฟิล์ม อาทิเช่น การเติมคินเนนเยาเพื่อทดสอบการถูกดับน้ำ และการย่อสลายของพิล์มลามินเนตสามชั้นโดยใช้เจลอะตินเป็นตัวลามินเนต มีการศึกษาเกี่ยวกับการย่อสลายของพอลีแลคติกแอซิตที่คล้ายคลึงกับงานวิจัยข้างต้น โดยการใช้เทคนิคการทดสอบต่างๆ ได้แก่

J.M.Fang และคณะ [11] การลามิเนตโดยใช้เครื่องโคเอ็กทรูด (Co-Extruded) โดยมีการปรับเปลี่ยนปริมาตรของแป้งที่แตกต่างกันเพื่อทดสอบความใสของฟิล์มการย่อยสลายและ E.Petinakis และคณะ [13] เติม Hydrophilic ลงในโพลีแลคติกแอชิตซึ่งเป็นโพลิเมอร์ย่อยสลายทางชีวภาพ การย่อยสลายถูกควบคุมภายใต้สภาวะที่กำหนดโดย AS ISO 14855 อุณหภูมิในการย่อยสลายถูกศึกษาโดย Thermogravimetry (TGA) ผลการทดลองออกมา พบว่าการย่อยสลายของการผสมกันระหว่างโพลีแลคติกแอชิตกับ Hydrophilic มีค่าต่ำกว่าเซลลูโลสบริสุทธิ์แต่สูงกว่าโพลีแลคติกแอชิตบริสุทธิ์ อัตราการย่อยสลายเพิ่มขึ้นจากร้อยละ 60 เป็นร้อยละ 80 เมื่อสัดส่วนของ Hydrophilic เพิ่มจากร้อยละ 10 เป็นร้อยละ 40 ใช้เวลาในการย่อยสลาย 80 วัน

L.Zaidi และคณะ [15] ศึกษาเกี่ยวกับผลกระทบจากสภาวะแวดล้อมทางธรรมชาติต่อโพลีแลคติกแอชิตและโพลิเมอร์นาโนคอมโพซิต PLA/Cloisite 30B ทดสอบด้วยมาตรฐานการทดสอบ ASTM D1435 ฟิล์มที่ใช้ในการทดสอบเป็นแผ่นสีเหลืองมีขนาด 30x20 เซนติเมตร จากการทดลองสภาวะอากาศทางธรรมชาติส่งผลต่อักษณะทางด้านสัณฐานของฟิล์ม PLA/Cloisite 30B การเกิดโนเลกูลใหญ่ทำให้มีช่องว่างและขนาดที่แตกต่างผิวของฟิล์มมีผลต่อการย่อยสลายทางชีวภาพ

งานวิจัยข้างต้นศึกษาเกี่ยวกับการผสมกันระหว่างโพลิเมอร์สองหรือสามชนิดเข้าด้วยกัน การใช้สารตัวเติมพลาสติกใช้เชอร์และการเสริมเส้นใยเพื่อปรับปรุงแก้ไขข้อจำกัดของโพลีแลคติกแอชิตทางด้านสมบัติทางกลและทางกายภาพเพื่อนำมาใช้งานด้านต่างๆ ในอุตสาหกรรม เช่น การขึ้นรูปฟิล์มสำหรับงานทางด้านบรรจุภัณฑ์เป็นต้น โดยมีการปรับเปลี่ยนอัตราส่วนการผสมระหว่างโพลีแลคติกแอชิตและสารตัวเติมในสัดส่วนต่างๆ โดยมีความสอดคล้องกับงานวิจัยที่กำลังศึกษาเกี่ยวกับผลของพลาสติกใช้เชอร์ ในกรณีนี้จะทำการศึกษาผลของพลาสติกใช้เชอร์ต่อการขึ้นรูปฟิล์มโพลีแลคติกแอชิต แล้วนำไปลามิเนตโดยใช้กาเวเป็นตัวเชื่อมประสาน ศึกษาผลของการต่อการลามิเนตกับกระดาษเพื่อสามารถนำไปใช้งานทางด้านบรรจุภัณฑ์ในอนาคต

2.2 ทฤษฎีที่เกี่ยวข้อง

2.2.1 พอลิเมอร์ (Polymer) [18]

พอลิเมอร์ คือ โมเลกุลขนาดใหญ่ที่มีน้ำหนักโมเลกุลสูงที่ประกอบไปด้วยหน่วยที่ซ้ำๆ กัน (Repeating Unit) ที่เรียกว่า เมอร์หรืออนโนเมอร์ (Monomer) จำนวนมาก ตั้งนั้นขึ้นของพอลิเมอร์ ต่างๆ จึงมักจะมีคำนำหน้าว่า พอลิ และตามด้วยชื่อของอนโนเมอร์ที่ประกอบอยู่ในโครงสร้าง ตัวอย่างเช่น พอลีเอทธิลีน หมายถึง พอลิเมอร์ที่มีมอนโนเมอร์ของกลุ่มเอทธิลีน เป็นต้น โดยทั่วไปคำว่า พอลิเมอร์และพลาสติกมักจะมีการใช้งานแทนกันโดยหมายถึงเดียวกันแต่ความจริงแล้วทั้งสองคำนี้ มีความหมายแตกต่างกันอยู่พอสมควร คำว่าพอลิเมอร์นั้น หมายถึง วัสดุบริสุทธิ์เริ่มต้นที่ได้จากกระบวนการทางปฏิกริยาเคมีในการเกิดพอลิเมอร์ (Polymerization) ในส่วนคำว่าพลาสติกนั้นจะ หมายถึง พอลิเมอร์ที่มีการผสมสารเติมแต่งต่างๆ ลงไปสมเข้าด้วยกันเพื่อให้พอลิเมอร์บริสุทธิ์นั้นมี สมบัติที่เหมาะสมต่อกระบวนการผลิตหรือใช้งานเพิ่มมากขึ้น เช่น สารห่วงการติดไฟ (Flame Retardant) ผงสี (Pigment) สารป้องกันแสงยูวี (Anti UV Agent) เป็นต้น

2.2.1.1 เทอร์โมพลาสติก (Thermoplastic) [1]

เทอร์โมพลาสติก คือ พลาสติกที่ประกอบด้วยสายโซ่โมเลกุลขนาดยาวที่ถูก ยึดกันอยู่ด้วยพันธะแวนเดอร์瓦ลส์ซึ่งไม่แข็งแรงมากนัก เมื่อสายโซ่โมเลกุลเหล่านี้ได้รับความร้อน พันธะที่ยึดแต่ละสายโซ่เข้าด้วยกันจะมีความอ่อนแอลงและสายโซ่ก็จะเคลื่อนที่ได้มากขึ้น ทำให้ พลาสติกประเภทนี้มีลักษณะที่อ่อนนิ่มลงและหลอมเหลวในที่สุดเมื่ออุณหภูมิสูงเพียงพอ เมื่อยืนตัว ลง พลาสติกหลอมเหลวดังกล่าวสามารถแข็งตัวได้อีกครั้ง ความสามารถในการหลอมเหลวและแข็งตัว ได้ใหม่หลายครั้งเป็นข้อดีของเทอร์โมพลาสติก เนื่องจากสามารถทำให้ผลิตเป็นผลิตภัณฑ์ได้ง่าย แต่ใน ขณะเดียวกันข้อเสีย คือ พลาสติกประเภทนี้มักจะไม่ทนทานต่ออุณหภูมิสูง นอกจากนี้ในแต่ละรอบ ของการหลอมเหลวนั้น พลาสติกที่แข็งตัวกลับมาใหม่มักจะมีสมบัติที่ด้อยกว่าอีกด้วย เทอร์โม- พลาสติกสามารถแบ่งออกได้เป็นอีก 2 ประเภท คือ พลาสติกกึ่งผลึก (Semi Crystalline) และ พลาสติกอสัมฐาน (Amorphous) โดยพลาสติกอสัมฐานจะมีโครงสร้างโมเลกุลที่ไม่เป็นระเบียบ มี ลักษณะทั่วไป คือ แข็ง ใสและเบาะ ในขณะที่พลาสติกกึ่งผลึกนั้นจะมีโครงสร้างของสายโซ่โมเลกุลที่ เป็นระเบียบ แต่ไม่ทึบหนดจึงทำให้ภายในโครงสร้างมีทั้งส่วนที่เป็นผลึกและส่วนที่เป็นอสัมฐาน พลาสติกในกลุ่มนี้จะมีสมบัติที่ยึดหยุ่นและเหนียวพอสมควร

2.2.1.2 เทอร์โมเซตติ้ง (Thermosetting) [18]

พลาสติกในกลุ่มนี้จะมีรูปทรงถาวรเมื่อผ่านกรรมวิธีผลิตและไม่สามารถเปลี่ยนรูปร่างกลับไปกลับมาใหม่โดยการให้ความร้อนเหมือนกับพลาสติกในกลุ่มเทอร์โมพลาสติก ทั้งนี้เนื่องจากกระบวนการผลิต โครงสร้างของพลาสติกจะยังเป็นสายโซ่ไม่เลกุลที่สามารถเคลื่อนที่ได้ แต่เมื่อผ่านกระบวนการผลิตแล้วจะมีการเปลี่ยนแปลงในโครงสร้างเกิดการเชื่อมโยงระหว่างสายโซ่ไม่เลกุลในลักษณะสามมิติด้วยพันธะเควาเลนต์ซึ่งมีความแข็งแรง จึงมีผลทำให้เทอร์โมเซตติ้งไม่สามารถใช้ความร้อนเพื่อหลอมเหลวได้แต่จะใหม้และเสื่อมสภาพไป มีสมบัติที่เปลี่ยนไปจากเดิมข้อดีของพลาสติกกลุ่มนี้ คือ มีความแกร่ง แข็งแรงสูงและทนทานต่ออุณหภูมิสูงได้ดี

2.2.2 พลาสติกย่อยสลายทางชีวภาพ [31]

พลาสติกย่อยสลายทางชีวภาพ (Biodegradable Plastics) เป็นพลาสติกย่อยสลายได้ชนิดหนึ่งที่มีกลไกการย่อยสลายด้วยเอนไซม์และแบคทีเรียในธรรมชาติเมื่อย่อยสลายหมดแล้วจะได้ผลิตภัณฑ์เป็นน้ำ นวลดีชีวภาพ ก้ามีเทนและก้าคราร์บอนไดออกไซด์ ซึ่งเป็นสิ่งจำเป็นในการเจริญเติบโตและดำรงชีวิตของพืช รวมถึงมันสำปะหลังและข้าวโพดที่เป็นวัตถุดิบสำหรับผลิตเป็นพลาสติกย่อยสลายได้ทางชีวภาพ ดังนั้น วงจรของพลาสติกย่อยสลายได้ทางชีวภาพมีรูปแบบ คือ มีสมบัติในการใช้งาน เช่นเดียวกับพลาสติกโดยทั่วไปแต่จะมีความแตกต่างกันตรงที่เมื่อทิ้งพลาสติกย่อยสลายได้ทางชีวภาพนี้ไปเป็นขยะและอยู่ในสภาวะที่เหมาะสม คือ มีแบคทีเรียและเอนไซม์พลาสติกย่อยสลายได้ทางชีวภาพนั้นจะเกิดการย่อยสลายได้

2.2.3 พอลีแลคติกแอซิต (Polylactic Acid: PLA) [2, 9]

พอลีแลคติกแอซิตเป็นพอลีเมอร์ที่สามารถย่อยสลายได้ทางชีวภาพ วัตถุดิบที่ใช้ในการผลิตคือแป้งที่มาจากการธรรมชาติที่เกิดขึ้นใหม่ได้ (Renewable Resource) ซึ่งได้แก่ ข้าวโพด มันสำปะหลัง เป็นต้น และนำมาเข้ากระบวนการในการเปลี่ยนโครงสร้างของสายโซ่ให้เป็นแลคไทด์ ซึ่งแลคไทด์จะเป็นสายโซ่ที่ยาวขึ้นเรียกว่า พอลีแลคติกแอซิต ซึ่งมีความแตกต่างของโครงสร้างภายในสายโซ่ พอลีดีแลคติกแอซิต (Poly D,L-Lactic Acid) เป็นพอลีเมอร์ที่ทางกันอย่างหลวงๆ หมายความว่า การใช้งานด้านทางเภสัชกรรม ทางด้านยา ส่วนพอลีเออลแลคติกแอซิต (Poly L-Lactic Acid) มีความแข็งแรงมากกว่า จึงนำมาใช้เป็นวัสดุเย็บแผลและใช้เป็นอุปกรณ์สำหรับซ่อมแซมกระดูก ข้อเสีย นอกจากพอลีแลคติกแอซิตมีทั้งข้อดีและข้อเสีย คือ สามารถย่อยสลายได้ทางชีวภาพไม่เป็น

มลภาวะ แต่ด้วยสมบัติบางประการยังไม่สามารถทดแทนพลาสติกได้อย่างสมบูรณ์ ทั้งนี้พอลีแลคติก-แอซิตสามารถนำไปเป็นวัตถุติดในการผลิตผลิตภัณฑ์พลาสติกได้เช่นเดียวกับเม็ดพลาสติกปีโตรเลียม



รูปที่ 2.1 พอลีแลคติกแอซิต

เนื่องจากสมบัติทางกลของพอลีแลคติกแอซิตยังมีข้อด้อยทางด้านค่าสภาพการยืดหยุ่นและค่าการยึดตัว ณ จุดขาด เมื่อเปรียบเทียบกับสมบัติทางกลของพอลิเมอร์ที่ใช้ทั่วไปในปัจจุบัน อาทิ เช่น พอลีเอทิลีน พอลิไพรีลีน ดังตารางที่ 2 ในงานวิจัยนี้ได้ทำการปรับปรุงสมบัติทางกลทางด้านความทนต่อแรงดึง ยังคงมาตรฐาน และร้อยละการยึดตัวก่อนขาดของพอลีแลคติกแอซิตให้ดีขึ้นและสามารถนำไปใช้งานได้ในอนาคต

ตารางที่ 2.1 เปรียบเทียบสมบัติระหว่างพอลีแลคติกแอซิต พอลีเอทิลีน และพอลิไพรีลีน

สมบัติ	พอลีแลคติกแอซิต (PLA)	พอลีเอทิลีน (PE)	พอลิไพรีลีน (PP)
Tensile Strength (MPa)	44-66	13.4-30.5	35.5
Young's Modulus (MPa)	53-70	287-1550	1312
Elongation at Break (%)	100-180	515-600	400
Melt Temperature (T_m)	130-215	110-129	165

2.2.4 กาว [24]

กาว ROBOND™ L-90D กาวสำหรับฟิล์มยึดหยุ่น/กาวสำหรับฟิล์มเคลือบ ROBOND L-90D เป็นกาวที่พัฒนาให้ใช้งาน กาวอะคริลิก ชนิดน้ำที่ถูกนำมาใช้ในกระบวนการของการเคลือบฟิล์ม ที่มีความยึดหยุ่นสำหรับบรรจุภัณฑ์อาหาร กาวชนิดน้ำจะมีการใช้งานที่ง่าย

2.2.4.1 สมบัติทั่วไป

ก. ความเป็นกรด-เบส 6.5-7.5

ข. ความหนืด $cP_{s<50}$

ค. ร้อยละของแข็งร้อยละ $41.5 \pm$ ร้อยละ 1

ง. ความหนาแน่น ปอนด์ต่อแกลลอน ($lb/US\ gal$)

จ. อายุการเก็บรักษา 420 วัน (โดยไม่เปิดตู้คอนเทนเนอร์เก็บโดยการแข็งแข็ง)

2.2.4.2 สมบัติและการใช้งานของกาว

ก. ประกอบด้วยน้ำร้อยละ 100

ข. มีกลิ่นน้อย

ค. ความแข็งแรงของพันธะสูง

ง. ใช้งานสำหรับการยึดติดของฟิล์ม

จ. มีการใช้งานอย่างกว้างขวางในอุตสาหกรรมบรรจุภัณฑ์ฟิล์ม

2.2.5 พลาสติกไชเซอร์ [20]

พลาสติกไชเซอร์เป็นสารเติมแต่งที่ผสมในพอลิเมอร์เพื่อเพิ่มความนิ่ม ความสามารถในการยึดและความยึดหยุ่นแก่ชิ้นงาน พลาสติกไชเซอร์ที่เติมจะช่วยทำให้แรงดึงดูดระหว่างไชพอลิเมอร์ลดลง เนื่องจากตัวมันจะเกิดพันธะกับไชพอลิเมอร์โดยพันธะไชโดยเจนหรือแรงแวนเดอร์วัลส์ นอกจากนั้นช่วยให้ไชพอลิเมอร์อยู่ห่างกันขึ้น ทำให้การพันกันระหว่างไชพอลิเมอร์ลดลง ทำให้ไชพอลิเมอร์เป็นอิสระเคลื่อนที่ผ่านช่องกันและกันเพิ่มขึ้น ความสามารถในการผสานระหว่างพอลิเมอร์และพลาสติกไชเซอร์จะเข้าเป็นเนื้อเดียวกันได้ดีตลอดอายุของการใช้งานเป็นเรื่องที่สำคัญที่ควรคำนึงถึง นอกจากนี้การเสื่อมสภาพของพอลิเมอร์หรือพลาสติกไชเซอร์เนื่องจากความร้อน แสง และสภาวะแวดล้อมทางเคมี อาจทำให้ระบบเปลี่ยนไปมีผลทำให้ประสิทธิภาพของผลิตภัณฑ์นั้นเปลี่ยนไปในทางลบด้วย

พลาสติกไชเซอร์แบ่งออกเป็น 2 ประเภท คือ

2.2.5.1 พลาสติกไชเซอร์แท้จริงหรือพลาสติกไชเซอร์ปฐมภูมิ (Primary Plasticizer)

พลาสติกไชเซอร์แท้จริงสามารถเข้าเป็นเนื้อเดียวกันกับพอลิเมอร์ที่อุณหภูมิขึ้นรูปได้ดี สามารถใช้เดียวๆ ได้ และไม่เยิ้มออกจากพอลิเมอร์

2.2.5.2 พลาสติกไชเซอร์เสริมหรือพลาสติกไชเซอร์ทุติยภูมิ (Secondary Plasticizer)

พลาสติกไชเซอร์เสริมมีความสามารถในการเข้ากันกับเนื้อพอลิเมอร์ได้จำกัด จึงไม่สามารถใช้ตามลำพังได้ ต้องใช้ควบคู่กับพลาสติกไชเซอร์แท้จริงและช่วยเสริมประสิทธิภาพของพลาสติกไชเซอร์แท้จริง นอกจากนี้การใช้พลาสติกไชเซอร์เสริมยังช่วยลดต้นทุนการผลิตและปรับปรุงสมบัติอื่นๆ ของพอลิเมอร์ด้วย

2.2.6 โพรพีลีนไกลคอล (Propylene Glycol: PG) [2, 19, 20]

โพรพีลีนไกลคอล มีชื่ออื่น 1,2-Propanediol, 1,2-Dihydroxypropane, Methyl Ethylene Glycol, Methyl Ethyl Glycol, MEG, Propane-1,2-diol, PG, Alpha-Propylene Glycol สูตรโมเลกุล $C_3H_8O_2$ น้ำหนักโมเลกุล 76.09 ลักษณะทางกายภาพของเหลว ค่อนข้างหนืดข้นใส ไม่มีสี ไม่มีกลิ่น โพรพีลีนไกลคอลเป็นสารกลุ่มไกลคอล (Glycol) ตัวหนึ่ง จึงถูกนำมาใช้ในอุตสาหกรรมใช้เป็นตัวทำละลายหรือ เจือจาง น้ำหอม ในผลิตภัณฑ์เครื่องสำอางค์หรือใช้เป็นตัวทำละลาย หัวกลิ่นน้ำเข้มข้น ในอุตสาหกรรมการผลิตอาหารใช้เป็นตัวทำละลายวิตามิน ชนิดที่ละลายในน้ำใช้เป็นสารกันเสียในเครื่องสำอางค์ที่อยู่ในรูปของครีมหรืออิมัลชันใช้เป็นตัวทำละลายสำหรับอุตสาหกรรมผลิตน้ำยาบ้วนปาก ยาสีฟัน ครีมทาผิว และแซมพู

2.2.7 เอทิลีนไกลคอล (Ethylene Glycol: EG) [2, 19, 20]

สูตรโมเลกุล $C_2H_6O_2$ น้ำหนักโมเลกุล 62.07 ลักษณะทางกายภาพเอทิลีนไกลคอล เป็นของเหลวใสและหนืด จึงกระทบตัวเป็นของแข็งคล้ายแวงซ์ขึ้นอยู่กับความเยาว์ของสายโซ่หรือน้ำหนักโมเลกุลของพอลิเมอร์ละลายน้ำ แลอกอชอร์ และตัวทำละลายอินทรีย์ เสถียรต่อความร้อน และสารเคมีหลายชนิด ใช้เป็นพลาสติกไชเซอร์สารปรับความนุ่ม สารปรับความชุ่มชื้น สารหล่อลื่น วัสดุเคลือบกระดาษเป็นส่วนผสมในเครื่องสำอางค์ ยา เป็นตัวทำละลาย และเป็นแอดดิทีฟในอาหาร

2.2.8 การลามิเนต (Laminate) [25]

ลามิเนต มีความหมายว่า “การทำให้เป็นแผ่นบางๆประกอบด้วยชั้นบางๆ” เช่น เดียวกับพิล์มพลาสติกลามิเนต หมายถึง แผ่นพิล์มพลาสติกที่ผ่านกระบวนการลามิเนตโดยการนำพิล์มพลาสติกหลายชั้นมาเคลือบติดเข้าด้วยกันเป็นพิล์มแผ่นเดียวหรือการเคลือบพิล์มพลาสติกเข้ากับวัสดุอื่นๆ เช่น กระดาษหรือฟอยล์โลหะ โดยทำการยึดติดระหว่างชั้นพิล์มด้วยการใช้ความร้อนหรือใช้กาว โดยพิล์มลามิเนตจะมีจำนวนชั้นของพิล์มมากหรือน้อยขึ้นอยู่กับความต้องการของผู้ผลิตกระบวนการผลิตพิล์มลามิเนต ทำได้สองวิธีหลักๆ ได้แก่ การลามิเนตให้พิล์มยึดติดประสานกันด้วยความร้อน (Thermal Lamination) และการลามิเนตโดยใช้กาว (Adhesive) เป็นตัวประสานให้พิล์มยึดติดกัน (Wet Lamination)



รูปที่ 2.2 กระบวนการลามิเนตโดยใช้กาว ร่วมกับการเป่าแห้ง [25]

กระบวนการลามิเนตพิล์มในรูปที่ 2.2 เป็นขั้นตอนกระบวนการลามิเนตพิล์มโดยใช้กาวประเภทที่ไม่ใช่ของแข็งร้อยละ 100 จึงจำเป็นต้องมีเครื่องเป่าลมร้อนเพื่อเป่าไلن้ำและตัวทำละลายอื่นๆ ให้เหลือแค่น้ำของกาวหรือสารเคลือบประสานพิล์มที่มีสมบัติของแข็งร้อยละ 100 เท่านั้น ซึ่งขั้นตอนนี้จะทำให้พิล์มมีสมบัติที่พร้อมจะทำการลามิเนตในกระบวนการต่อไป

2.2.9.1 การทดสอบแรงดึง

การทดสอบแรงดึงเป็นการทดสอบสมบัติพื้นฐานของวัสดุ การทดสอบแรงดึง เป็นการดึงข้อทดสอบ ซึ่งทำให้ข้อทดสอบหลุดออกจากกันโดยใช้สภาวะการยืดและเป็นการที่ทำให้ข้อทดสอบเกิด การเสียรูป โดยการเสียรูปเป็นการเปลี่ยนแปลงรูปทรงของข้อทดสอบจากแรงที่กระทำ การตรวจวัด การเสียรูปจะวัดจากการเปลี่ยนแปลงขนาดข้อทดสอบเทียบกับขนาดเริ่มต้นนั้น คือ การเสียรูปจะวัด จาความยาวของระยะทดสอบ (Gauge Length) ที่เปลี่ยนแปลงไปในการทดสอบเทียบกับระยะ ทดสอบเริ่มต้น ระยะทดสอบเป็นช่วงความยาวมาตรฐานที่ใช้ในการวัดระดับการยืดหรือการเสียรูปที่ เกิดขึ้นในระหว่างการทดสอบ โดยความยาวระยะทดสอบมาตรฐานที่ใช้ในการทดสอบแรงดึงปกติ เท่ากับ 2 นิ้ว

2.2.9.2 แรงเค้นและความเครียด

แรงเค้น (Stress) ในการทดสอบแรงดึง น้ำหนักดึงจะแทนด้วยสัญลักษณ์ F ในหน่วยของปอนด์กิโลกรัมหรือนิวตัน ความแข็งแรงดึงคิดเป็นน้ำหนักที่ข้อทดสอบสามารถทนได้ ต่อหน่วยพื้นที่หน้าตัด น้ำหนักเทียบกับพื้นที่หน้าตัดหนึ่งตารางหน่วยเรียกว่า แรงเค้น (Stress, σ) โดยแรงเค้นจะมีหน่วยเป็นปอนด์ต่อตารางนิ้ว (lb/in^2) หรือพาสคอล (Pa) ในหน่วยเมตริกน้ำหนักจะ ขับทิกเป็นกิโลกรัมแล้วแปลงเป็นนิวตัน ส่วนพื้นหน้าตัดจะคิดเป็นตารางเมตรซึ่งจะได้หน่วยของแรง เค้นเป็นนิวตันต่อตารางเมตรหรือพาสคอล (Pa) โดย $1 \text{ MPa} = 145 \text{ lb/in}^2$ และ $1000 \text{ lb/in}^2 = 6.985 \text{ MPa}$ เมื่อพิจารณาแห่งทั่งระบบอกที่มีความยาวเป็น L_0 และมีพื้นที่หน้าตัดเป็น A_0 ได้รับแรงดึงในทางเดียว F จะได้แรงเค้น σ ที่กระทำกับแห่งโลหะ ดังสมการ

$$\sigma = \frac{F}{A_0} \quad (2.1)$$

เมื่อ σ = แรงเค้น

F = แรงดึงในทางเดียวเฉลี่ย

A_0 = พื้นที่หน้าตัดเริ่มต้น

ถ้าขั้นทดสอบแรงดึงมีหน้าตัดเป็นสี่เหลี่ยมสูตรคำนวณแรงคันจะได้เป็น

$$\sigma = \frac{F}{WD} \quad (2.2)$$

เมื่อ σ = แรงคัน

F = แรงกระทำ

W = ความกว้างของหน้าตัดสี่เหลี่ยมของขั้นทดสอบ

D = ความยาวของหน้าตัดสี่เหลี่ยมของขั้นทดสอบ

2.2.9.3 ความเครียด (Strain)

เมื่อแท่งโลหะได้รับแรงดึงในทางเดียวจะทำให้แท่งโลหะเกิดการยืดออกในทิศทางของแรงนั้น การเคลื่อนนี้เรียกว่า ความเครียด โดยนิยามความเครียดเป็นการยืดอันเนื่องจากแรงดึงทางเดียวที่กระทำกับขั้นทดสอบ ซึ่งเป็นอัตราการเปลี่ยนแปลงความยาวของขั้นทดสอบในทิศทางของแรงนั้นเทียบกับความยาวเริ่มต้นของขั้นทดสอบ ดังนั้นก่อนทำการทดสอบต้องวัดพื้นที่หน้าตัดและระยะทดสอบเริ่มต้นของขั้นทดสอบ โดยระยะทดสอบเริ่มต้นจะทำเป็นเครื่องหมายสองจุดบนขั้นทดสอบ อุปกรณ์วัดการยืดหรือความเครียดจะใช้ในการวัดระยะยืดของขั้นทดสอบในระหว่างการทดสอบ หรืออาจวัดจากผลต่างของสองจุดข้างตัน ผลต่างระหว่างระยะทดสอบเริ่มต้นกับสุดท้ายเรียกว่าระยะยืด (Elongation) หน่วยของระยะยืดใช้เป็นนิ้วหรือมิลลิเมตร และถ้านำระยะยืดหารด้วยระยะทดสอบเริ่มต้นเรียกว่า ความเครียด สามารถหาได้ดังสมการ

$$\varepsilon = \frac{l - l_0}{l_0} = \frac{\Delta l}{l_0} \quad (2.3)$$

เมื่อ ε คือ ความยาวเริ่มต้นของขั้นทดสอบ

l คือ ความยาวขั้นทดสอบหลังการดึง

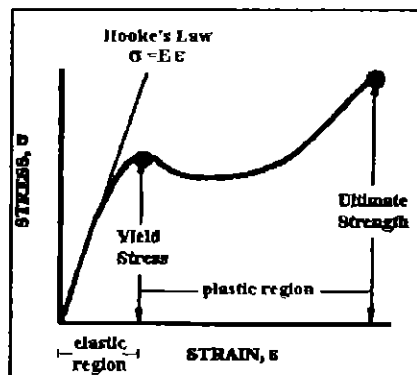
Δl คือ ผลต่างความยาวของขั้นทดสอบ

2.2.9.4 ยังค์มอตูลัส (Young's Modulus)

คือ อัตราส่วนของความเดัน (σ) ต่อความเครียด (ϵ) มีหน่วยเป็นนิวตันต่อตารางเมตร (N/m^2) โดยวัตถุที่มีมอตูลัสของยังมากแสดงว่าต้นมีความทนต่อการเปลี่ยนแปลงความยาวหรือกล่าวอีกนัยหนึ่งคือวัตถุนั้นมีการเปลี่ยนแปลงความยาวน้อยในขณะที่มีความเดันมาก ที่ความเครียดต่ำๆ พอลิเมอร์มีพฤติกรรมเป็นแบบบึ้งหุ้นได้แต่ความเครียดสูงๆ ก็เกิดการเปลี่ยนรูปถาวร โดยที่ความสัมพันธ์ของความเดันและความเครียดไม่เป็นเชิงเส้น อุณหภูมิมีผลต่อความเดันและความเครียดของพอลิเมอร์ที่ความเดันเดียวกันวัสดุเปลี่ยนรูปมากขึ้นเมื่ออุณหภูมิสูงขึ้น เมื่อเทอร์โม-พลาสติกมีการเปลี่ยนแปลงความเครียดอย่างรวดเร็วมีค่ามอตูลัสมากกว่ากรณีที่ความเครียดมีความเปลี่ยนแปลงอย่างช้าๆ ที่ความเครียดสูงสุดเดียวกัน สำหรับกรณีของวัสดุบึ้งหุ้นแบบสมบูรณ์ความเดันแห่งผันตรงเป็นเชิงเส้นกับความเครียด

$$E = \frac{\sigma}{\epsilon} : E = \text{Young's Modulus} \quad (2.4)$$

ความสัมพันธ์แบบทั่วไประหว่างความเดันกับความเครียดแสดงดังรูปที่ 2.3 จากรูป ตอนแรกความเดันกับความเครียดมีความสัมพันธ์เป็นเส้นตรงหรือวัสดุมีการเปลี่ยนแปลงแบบบึ้งหุ้น สามารถหาค่า E ได้จากความชันของกราฟในช่วงนี้จากนั้น เมื่อเพิ่มความเดันให้กับวัสดุขึ้นเรื่อยๆ จนถึงจุดคราก (Yield Point) ความเดัน ณ จุดนั้น คือ ความเดัน ณ จุดคราก (Yield Stress) หรือ เรียกว่าความแข็งแรง ณ จุดคราก (Yield Strength) ซึ่งมีค่าเท่ากับค่าความเดันสูงสุดที่วัสดุนั้นจะทนได้ก่อนที่จะมีการเปลี่ยนรูปถาวรและในช่วงของการเปลี่ยนรูปถาวรนี้ เมื่อให้แรงเพิ่มขึ้น วัสดุจะมีการเปลี่ยนรูปไปเรื่อยๆ จนเมื่อถึงจุดที่วัสดุจะเกิดการแตกหักหรือขาดออกจากกัน เรียกว่า ความเดันที่วัสดุทนได้สูงสุดก่อนการแตกหักว่า ค่าความแข็งแรงสูงสุด (Ultimate Strength)



รูปที่ 2.3 กราฟความสัมพันธ์ระหว่างความเดันกับความเครียด [18]

บทที่ 3

วิธีการดำเนินโครงการ

งานวิจัยนี้เป็นการศึกษาสมบัติเชิงกลและสมบัติทางกายภาพของพิล์มพอลีแลคติกแอชิตกับพลาสติกไชเซอร์ 2 ชนิด คือ โพร์พีลีนไกลคอลและเอทิลีนไกลคอลในอัตราส่วนต่างๆ ของพอลิเมอร์และพลาสติกไชเซอร์

3.1 การเตรียมพิล์มพอลีแลคติกแอชิต

3.1.1 วัสดุและสารเคมี

3.1.1.1 พอลีแลคติกแอชิต (Polylactic Acids: PLA) เกรด 4043D จากบริษัท Nature Work LLCC

3.1.1.2 โพร์พีลีนไกลคอล (Propylene Glycol: PG) มวลโมเลกุล 76.09 จากบริษัท Sigma Aldrich

3.1.1.3 เอทิลีนไกลคอล (Ethylene Glycol: EG) มวลโมเลกุล 62.07 จากบริษัท Sigma Aldrich

3.1.2 อุปกรณ์และเครื่องมือ

3.1.2.1 เครื่องเป่าพิล์ม (Blow Film)

3.1.2.2 ตู้อบไอล์ความชื้น

3.1.2.3 เครื่องซึ่งสาร

3.1.2.4 บีกเกอร์

3.1.2.5 gravimeter

3.1.3 การขึ้นรูปพิล์มพอลีแลคติกแอชิต

3.1.3.1 นำพอลีแลคติกแอชิต 22 กิโลกรัมไปทำการอบเพื่อไล่ความชื้น ที่อุณหภูมิ 80 องศาเซลเซียส เป็นเวลา 4 ชั่วโมง

3.1.3.2 ขึ้นพอลีแลคติกแอชิตตามปริมาณที่กำหนด ได้แก่ 3000, 2940, 2880 และ 2820 กรัม ด้วยเครื่องซึ่งทึบหมุด 2 ครั้ง

3.1.3.3 ชั้นโพร์พีลินไกลคอลและເອທີລືນໄກລຄອລປຣິມານທີ່ກຳຫນັດດັ່ງນີ້ 60, 120 ແລະ 180 ກຮມ ດ້ວຍເຄື່ອງຊັ້ງສາຮເຕີຍມໃສ່ໄວ້ໃນບຶກເກອ້ງ

3.1.3.4 ພສມພອລີແລຄຕິກແອຊີຕກັບພລາສຕິກໄຊເຊອຣທັ້ງ 2 ຜົນດ ສື່ວໂພ ໂພຣພື້ນໄກລຄອລ ແລະ ເອທີລືນໄກລຄອລໃນອັຕຣາສ່ວນ 98:2 %wt 96:4 %wt ແລະ 94:6 %wt

3.1.3.5 ຂຶ້ນຮູບເປັນພິລຸມດ້ວຍເຄື່ອງເປົາພິລຸມທີ່ລະອັຕຣາສ່ວນ ແລະ ເນື້ອໄດ້ພິລຸມໃນຄວາມຍາວທີ່ ຕ້ອງການແລ້ວໃຫ້ທໍາການປັບປຸງຄວາມເຮົວຂອງລູກກລິ້ງ ໄດ້ແກ່ ຄວາມເຮົວລູກກລິ້ງ 150 ຮອບຕ່ອນາທີ່ ຄວາມເຮົວລູກກລິ້ງ 200 ຮອບຕ່ອນາທີ່ ແລະ ຄວາມເຮົວລູກກລິ້ງ 250 ຮອບຕ່ອນາທີ່ ເພື່ອທໍາການປັບປຸງຄວາມໜາຂອງແຜ່ນພິລຸມແຕ່ລະອັຕຣາສ່ວນ

3.1.3.6 ທໍາການຕັດແຜ່ນພິລຸມທີ່ຂຶ້ນຮູບແລ້ວໃສ່ຖຸງຈີປເຂີຍກຳກັບອັຕຣາສ່ວນໂດຍລະເອີຍດເພື່ອ ສະດວກຕ່ອກການນຳມາທົດສອບສົມບັດຫລັງຈາກການຂຶ້ນຮູບຕ່ອໄປ

3.2 ຂັ້ນຕອນກາລາມີເນທພິລຸມພອລີແລຄຕິກແອຊີຕ

3.2.1 ວັດຖະການເຄີຍ

3.2.1.1 ພິລຸມພອລີແລຄຕິກແອຊີຕທີ່ມີຄວາມໜາ 0.02 ມິລັລິມେຕຣ 0.03 ມິລັລິມେຕຣ 0.05 ມິລັລິມେຕຣ

3.2.1.2 ກາວ ROBONDTM L-90D

3.2.1.3 ກະດາຍ 60 ແລະ 80 ກຣມທີ່ໃຊ້ໃນກາລາມີເນທມີຄວາມໜາ 0.08 ແລະ 0.1 ມິລັລິມେຕຣ

3.2.2 ກາລາມີເນທພິລຸມພອລີແລຄຕິກແອຊີຕ

3.2.2.1 ຕັດຂຶ້ນຈານໃໝ່ນຳນາດ ກວ້າງ 25.4 ມິລັລິມେຕຣຍາວ 250 ມິລັລິມେຕຣ

3.2.2.2 ນຳຂຶ້ນຈານໄປທໍາກາລາມີເນທດ້ວຍລູກກລິ້ງໃຫ້ຄວາມຮັນພໍອໃຫ້ກາວເຊື່ອນຕິດກະດາຍ

3.2.2.3 ກາວທີ່ໃຊ້ໃນກາລາມີເນທກະດາຍຄຽງລະ 3 ມິລັລິຕີຕຣ ລາມີເນທກະດາຍໄດ້ທັ້ງໝົດ 20 ຊົ່ນ

3.3 การทดสอบสมบัติเชิงกลของชิ้นงาน

3.3.1 สมบัติการทนแรงดึงทดสอบด้วยเครื่อง Universal Testing Machine ตามมาตรฐาน

ASTM D 882

3.3.1.1 อุปกรณ์ที่ใช้ในการทดสอบสมบัติการทนแรงดึง

ก. เครื่องมือทดสอบการทนแรงดึง Universal Testing Machine

ข. ชิ้นงานที่ใช้ในการทดสอบเป็นรูปสี่เหลี่ยมผืนผ้า



รูปที่ 3.1 ตัวอย่างการเตรียมชิ้นงานทดสอบ [22]

3.3.1.2 วิธีการทดสอบสมบัติการทนแรงดึง

ก. ตัดชิ้นงานให้มีขนาดตามตัวอย่างให้เป็นรูปสี่เหลี่ยมผืนผ้าขนาด $20 \text{ mm} \times 140 \text{ mm}$ โดยตัดแผ่นพลาสติกชุดการทดสอบลงละ 5 ชิ้น สำหรับการทดสอบในแนวราบ (Machine Direction: MD) และในแนวขวาง (Transverse Direction: TD)

ข. โดยต่อหัวที่ใช้ในการดึงขนาด 1 กิโลนิวตัน

ค. ตั้งค่าความเร็วในการดึงชิ้นงานโดยความเร็วที่ใช้จะขึ้นอยู่กับความสามารถในการยืดตัว สภาพที่ใช้ในการทดสอบ ความเร็วในการดึง (Crosshead Speed) 500 มิลลิเมตร ต่อนาที

ง. ใส่ชิ้นงานที่ต้องการทดสอบกับตัวเครื่องกำหนดค่าความกว้าง ความยาว และความหนาของชิ้นงานที่ใช้ลงในโปรแกรมตั้งค่าเริ่มต้นของระยะของการจับชิ้นงาน (Gauge Length) เท่ากับศูนย์ จากนั้นเริ่มทำการทดสอบชิ้นงาน

3.4 การทดสอบสมบัติทางกายภาพของชิ้นงาน

3.4.1 สมบัติการย่อยสลาย ตามมาตรฐาน ASTM D 5338 ใช้ชิ้นงานทดสอบตาม ASTM D 5338

3.4.1.1 อุปกรณ์ที่ใช้ในการทดสอบสมบัติการย่อยสลาย

ก. พิล์มพอลีแลคติกแอซิต

ข. ดินที่ใช้ในการปลูกต้นไม้ (ควรมีค่า pH 6-8)

ค. ภาชนะที่ใช้สำหรับทดสอบ

3.4.1.2 วิธีการทดสอบสมบัติการย่อยสลาย

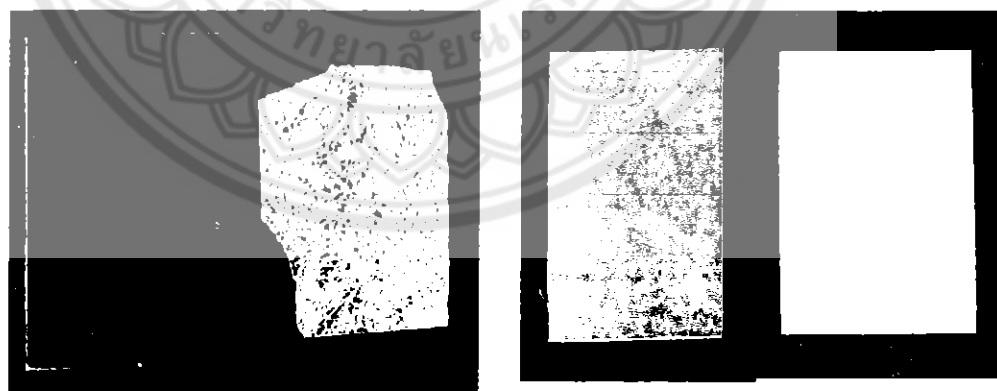
ก. พิล์มพอลีแลคติกแอซิตที่ใช้ในการทดสอบหั้งหมุดจะถูกตัดให้ได้ขนาดกว้าง

2 ซม. ยาว 10 ซม.

ข. ดินที่ใช้ปลูกต้นไม้ มี pH 7.26

ค. เตรียมกระเบและดิน หลังจากนั้นนำพิล์มที่ตัดได้ตามขนาดหั้งหมุดจำนวน

5 ชิ้นต่อสูตร ฝังลงในกระเบและดิน นำไปในกระเบหรือภาชนะสำหรับใช้ในการทดสอบ โดยตรวจดูอุณหภูมิทุกวัน วันละ 1 ครั้ง เป็นเวลา 8 สัปดาห์ และทำการบันทึกผลการทดลองเพื่อดูการเปลี่ยนแปลงรูปร่างลักษณะของพิล์ม ดังตัวอย่างชิ้นงาน



รูปที่ 3.2 ตัวอย่างชิ้นงานที่ย่อยสลาย [31]

บทที่ 4

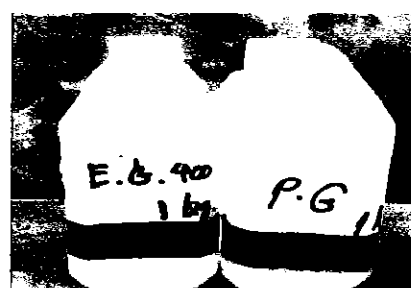
ผลการทดลองและการวิเคราะห์

4.1 พอลีแลคติกแอซิต

จากการทดลองการเตรียมฟิล์มพอลีแลคติกแอซิตด้วยการเติมสารโมเลกุลเล็กที่ใช้เป็นพลาสติกไชเซอร์ 2 ชนิด คือ เอทิลีนไกลคอลและโพรพลีนไกลคอล ปริมาณพลาสติกไชเซอร์ 2 %wt, 4 %wt และ 6 %wt ตั้งค่าอุณหภูมิของหัวดายนีนรูป 160 องศาเซลเซียส ที่ความเร็วรอบสกรูของเครื่องเป่าฟิล์ม 100 รอบต่อนาที และความเร็วลูกกลิ้งที่ใช้ในการดึงฟิล์มพอลีแลคติกแอซิตที่ความเร็วลูกกลิ้ง 150 รอบต่อนาที ความเร็วลูกกลิ้ง 200 รอบต่อนาที และความเร็วลูกกลิ้ง 250 รอบต่อนาที มีผลต่อความหนาของฟิล์มพอลีแลคติกแอซิตทำให้ฟิล์มมีความหนาเฉลี่ย 0.05 มิลลิเมตร 0.03 มิลลิเมตร และ 0.02 มิลลิเมตร ตามความเร็วของลูกกลิ้ง หลังจากทดสอบเข้าด้วยกันระหว่างพอลีแลคติกแอซิตกับพลาสติกไชเซอร์ในอัตราส่วนที่กำหนดข้างต้นเพื่อปรับปรุงสมบัติของฟิล์มพอลีแลคติกแอซิต เมื่อขึ้นรูปแล้วนำฟิล์มพอลีแลคติกแอซิต มาทดสอบสมบัติทางกลและสมบัติการย่อยสลายตามมาตรฐานการทดสอบที่กำหนด



รูปที่ 4.1 พอลีแลคติกแอซิต



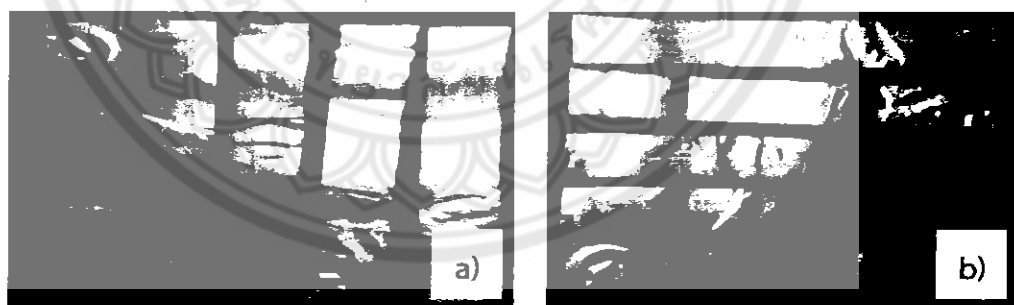
รูปที่ 4.2 โพรพลีนไกลคอลและเอทิลีนไกลคอล 2 %wt, 4 %wt และ 6 %wt

4.2 ชิ้นงานทดสอบ

เมื่อขึ้นรูปพิล์มพอลีแลคติกแอซิตที่เติมสารโนเรกูลเล็กที่ใช้เป็นพลาสติกไชเซอร์ 2 ชนิด คือ เอทิลีนไกลคอลและโพร์ฟลีนไกลคอล ปริมาณพลาสติกไชเซอร์ 2 %wt, 4 %wt และ 6 %wt โดย ความเร็วสูงกลึงที่ใช้ในการดึงพิล์มพอลีแลคติกแอซิต 150 รอบต่อนาที 200 รอบต่อนาที และ 250 รอบต่อนาที ความหนาของพิล์มพอลีแลคติกแอซิตมีความหนาเฉลี่ย 0.05 มิลลิเมตร 0.03 มิลลิเมตร และ 0.02 มิลลิเมตร ตามความเร็วของลูกกลิ้ง

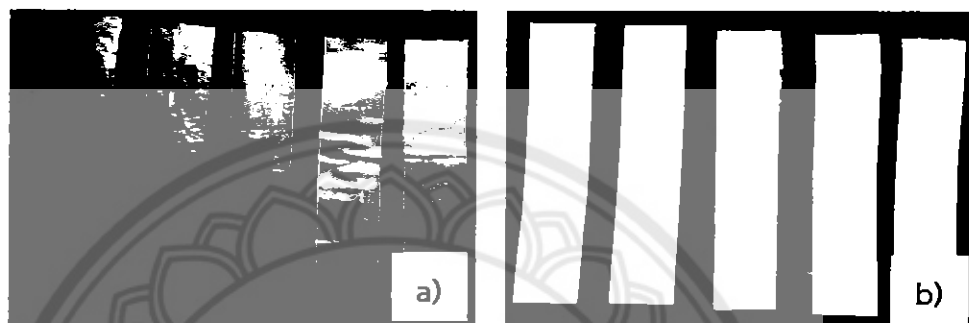
4.2.1 ชิ้นงานทดสอบสมบัติทางกล

หลังจากขึ้นรูปพิล์มพอลีแลคติกแอซิตแล้วนำพิล์มน้ำตัดชิ้นงานให้มีขนาดกว้าง 20 มิลลิเมตร ยาว 140 มิลลิเมตร เป็นชิ้นงานทดสอบสมบัติทางกล ได้แก่ สมบัติการทนต่อแรงดึง สมบัติร้อยละการยืดตัวก่อนขาด และสมบัติมอดุลลิสของสภาพยืดหยุ่น ทดสอบชิ้นงานตามมาตรฐาน ASTM D 882 การตัดชิ้นงานทดสอบจะตัดชิ้นงานในแนวตามการขึ้นรูปของพิล์มพอลีแลคติกแอซิต (MD) และแนวขวางการขึ้นรูปของพิล์มพอลีแลคติกแอซิต (TD) ชิ้นงานทดสอบแต่ละสูตร ในความเร็วสูงกลึงต่างๆ แนวตามการขึ้นรูปและแนวขวางการขึ้นรูปของพิล์ม รวมชิ้นงานทดสอบ หักหมด 210 ชิ้นงาน



รูปที่ 4.3 พิล์มพอลีแลคติกแอซิตที่ใช้ทดสอบสมบัติทางกล a) ตามแนวการขึ้นรูป b) แนวขวางการขึ้นรูป

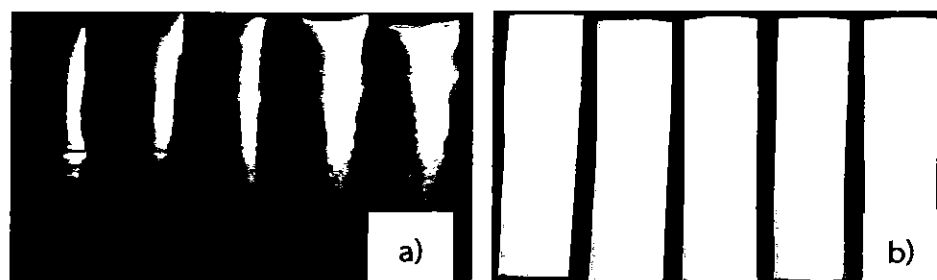
หลังจากได้ชิ้นงานพิล์มพอลีแลคติกแอชิตเติมสารโนเรกูลเล็กที่ใช้เป็นพลาสติกไชเซอร์ในอัตราส่วนต่างๆ นำชิ้นงานพิล์มพอลีแลคติกแอชิตลงในน้ำดีไซด์ ขนาดชิ้นงานที่ทดสอบตามมาตรฐาน ASTM D 882 กว้าง 20 มิลลิเมตร ยาว 140 มิลลิเมตร เป็นชิ้นงานทดสอบสมบัติทางกล ได้แก่ สมบัติการทนต่อแรงดึง สมบัติร้อยละการยืด-ตัวก่อนขาด และสมบัติมอดุลัสของสภาพยืดหยุ่น รวมชิ้นงานทดสอบทั้งหมด 210 ชิ้นงาน



รูปที่ 4.4 พิล์มพอลีแลคติกแอชิตที่ใช้ทดสอบสมบัติทางกล a) พิล์มลามิเนตกระดาษ 60 แกรม b) พิล์มลามิเนตกระดาษ 80 แกรม

4.2.2 ชิ้นงานทดสอบสมบัติการยืดหยุ่น

เมื่อขึ้นรูปพิล์มพอลีแลคติกแอชิตเติมสารโนเรกูลเล็กที่ใช้เป็นพลาสติกไชเซอร์ 2 ชนิด คือ เอทิลีนไกลคอลและโพร์พีลีนไกลคอล 2 %wt, 4 %wt และ 6 %wt ความเร็วลูกกลิ้งที่ใช้ในการดึงพิล์มพอลีแลคติกแอชิต 150 รอบต่อนาที 200 รอบต่อนาที และ 250 รอบต่อนาที ตัดชิ้นงานทดสอบสมบัติการยืดหยุ่น 2 แบบ คือ พิล์มพอลีแลคติกแอชิตและพิล์มพอลีแลคติกแอชิตลามิเนตกระดาษ 60 แกรม ขนาดชิ้นงานทดสอบกว้าง 20 มิลลิเมตร ยาว 100 มิลลิเมตร ตามมาตรฐาน ASTM D 5338 ชิ้นงานทดสอบทั้งหมด 210 ชิ้นงาน

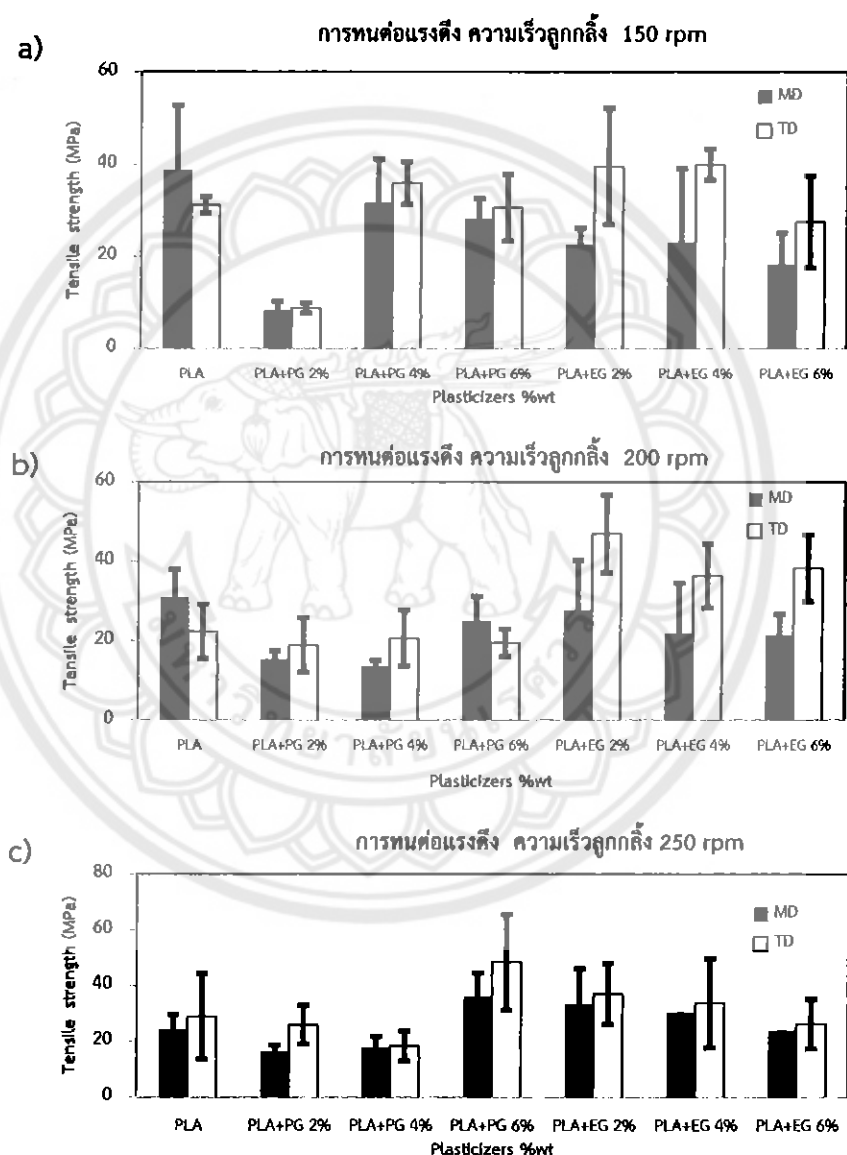


รูปที่ 4.5 ชิ้นงานทดสอบสมบัติการยืดหยุ่น a) ชิ้นงานทดสอบพิล์มพอลีแลคติกแอชิต b) ชิ้นงานทดสอบพิล์มพอลีแลคติกแอชิตลามิเนตกระดาษ 60 แกรม

4.3 ผลการทดสอบสมบัติเชิงกล

4.3.1 ผลการทดสอบสมบัติการทนต่อแรงดึง

ผลการทดสอบสมบัติการทนต่อแรงดึงของพิล์มโพลีแลคติกแอซิตในแนวตามการขึ้นรูป และแนวขวางการขึ้นรูปทั้งที่เติมและไม่ได้เติมพลาสติกไชเซอร์ มีขั้นงานทดสอบชนิดละ 5 ตัวอย่าง ทำการทดสอบตามมาตรฐาน ASTM D 882 ผลการทดสอบในตาราง ก.1 (ภาคผนวก ก)



รูปที่ 4.6 กราฟแสดงความสัมพันธ์การทนต่อแรงดึงกับความเข้มข้นพลาสติกไชเซอร์ ของพิล์มโพลีแลคติกแอซิต a) ความเร็วลูกกลิ้ง 150 รอบต่อนาที b) ความเร็วลูกกลิ้ง 200 รอบต่อนาที c) ความเร็วลูกกลิ้ง 250 รอบต่อนาที

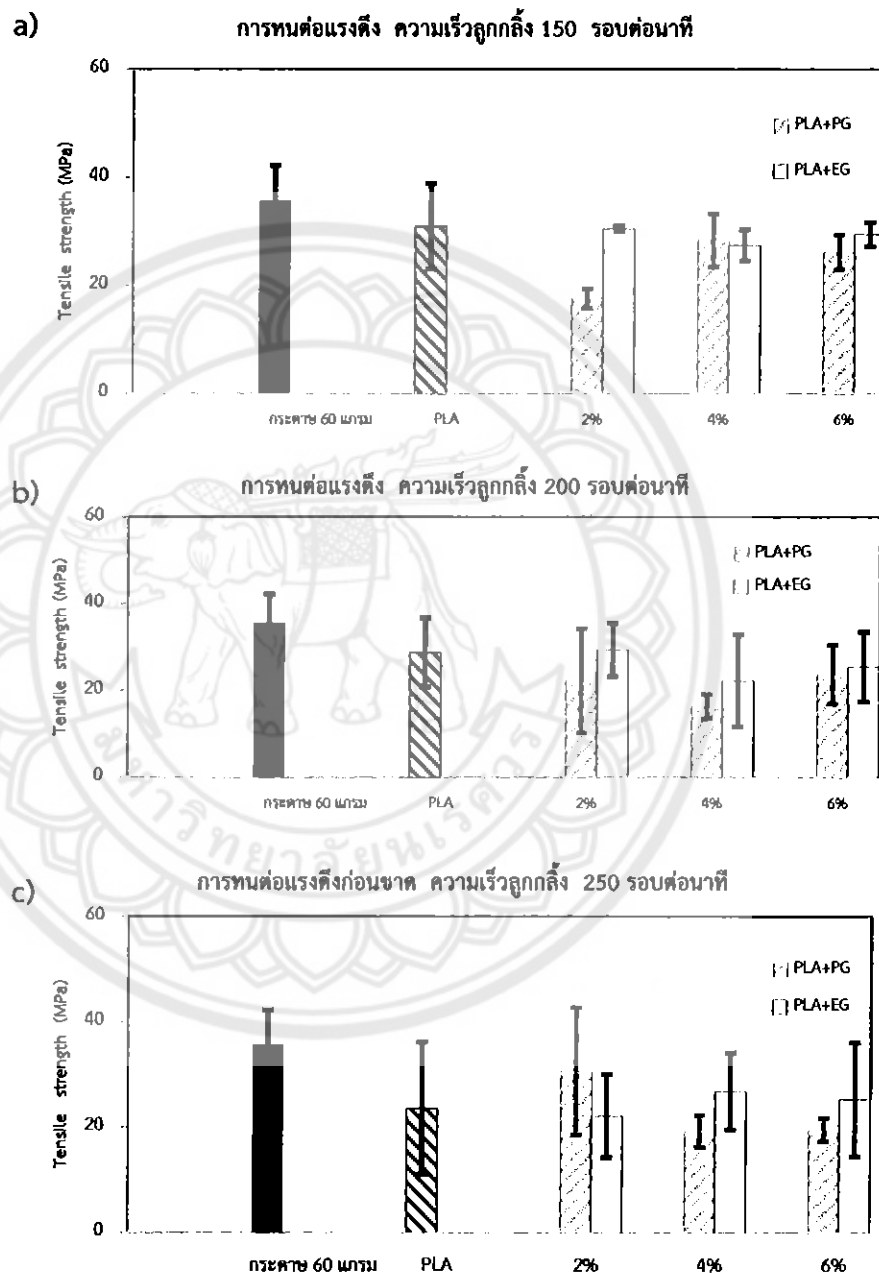
จากรูปที่ 4.6 กราฟแสดงผลการทดสอบสมบัติการทนต่อแรงดึงของพิล์มพอลีแลคติกแอชิตที่ไม่เติมและเติมพลาสติกไชเซอร์ ที่ความเข้มข้น 2 %wt, 4 %wt และ 6 %wt ด้วยความเร็วถูกกลิ้ง 150 รอบต่อนาที 200 รอบต่อนาที และ 250 รอบต่อนาที ทั้งในแนวตามและแนวขวาง การขึ้นรูปของพิล์มพอลีแลคติกแอชิต เมื่อพิจารณาที่ความเร็วถูกกลิ้ง 150 รอบต่อนาที พิล์มพอลีแลคติกแอชิตที่เติมเอทิลีนไกลคอลและโพร์พีลีนไกลคอลมีค่าการทนต่อแรงดึงในแนวตามและแนวขวางการขึ้นรูปทุกความเข้มข้นมีค่าใกล้เคียงกันกับพิล์มพอลีแลคติกแอชิตที่ไม่ได้เติมพลาสติกไชเซอร์ โดยพิล์มพอลีแลคติกแอชิตที่เติมโพร์พีลีนไกลคอล 2 %wt มีค่าการทนต่อแรงดึงเฉลี่ยน้อยที่สุดมีค่าเท่ากับ 8.30 เมกะปาสคาล ที่ความเร็วถูกกลิ้ง 200 รอบต่อนาที พิล์มพอลีแลคติกแอชิตที่เติมโพร์พีลีนไกลคอลทุกความเข้มข้นมีค่าการทนต่อแรงดึงในแนวตามและแนวขวางการขึ้นรูปโดยเฉลี่ยมีค่าน้อยกว่าพิล์มพอลีแลคติกแอชิตที่เติมเอทิลีนไกลคอล ส่งผลให้การรับแรงในแนวตามการขึ้นรูปลดลงพบว่าพิล์มพอลีแลคติกแอชิตที่เติมเอทิลีนไกลคอล 2 %wt มีค่าการทนต่อแรงดึงเฉลี่ยสูงที่สุดเท่ากับ 49.96 เมกะปาสคาล ที่ความเร็วถูกกลิ้ง 250 รอบต่อนาที พิล์มพอลีแลคติกแอชิตที่เติมเอทิลีนไกลคอลทุกความเข้มข้นมีค่าการทนแรงดึงในแนวตามและแนวขวางการขึ้นรูปเฉลี่ยสูงขึ้นเมื่อเทียบกับพิล์มพอลีแลคติกแอชิตที่ไม่เติมพลาสติกไชเซอร์ โดยพิล์มพอลีแลคติกแอชิตที่เติมโพร์พีลีนไกลคอล 6 %wt ในแนวขวางการขึ้นรูปมีค่าการทนต่อแรงดึงเฉลี่ยเท่ากับ 48.48 เมกะปาสคาล ซึ่งมีผลสอดคล้องกับงานวิจัยของ A. Somwangthanaroj และคณะ [2] ที่เติมพลาสติกไชเซอร์ที่ความเข้มข้นสูงสุด ทำให้ค่าการทนต่อแรงดึงเฉลี่ยสูงขึ้นทั้งในแนวตามและแนวขวางการขึ้นรูปเมื่อเทียบกับพิล์มพอลีแลคติกแอชิตที่ไม่เติมพลาสติกไชเซอร์ จากผลการทดลองในงานวิจัยนี้พิล์มพอลีแลคติกแอชิตที่เติมเอทิลีนไกลคอลในแนวขวางการขึ้นรูปมีค่าการทนต่อแรงดึงโดยเฉลี่ยสูงขึ้นร้อยละ 39 เมื่อเทียบกับพิล์มพอลีแลคติกแอชิตที่ไม่ได้เติมพลาสติกไชเซอร์

ในการทดสอบเมื่อให้แรงกับชิ้นงานทำให้เกิดการเปลี่ยนรูปอย่างถาวร หลังจากนั้นให้แรงเพิ่มขึ้นจะทำให้วัสดุมีการเปลี่ยนรูป เมื่อถึงจุดที่วัสดุเกิดการแตกหักหรือขาดออกจากกัน เรียกว่าความเห็นที่วัสดุทันได้สูงสุดก่อนการขาดว่า ค่าการทนต่อแรงดึงก่อนการขาดสูงสุด (Strength) จากผลการทดลองจะเห็นว่าพิล์มในแนวตามการขึ้นรูปจะมีค่าการทนต่อแรงดึงโดยเฉลี่ยน้อยกว่าพิล์มในแนวขวางการขึ้นรูปในทุกความเร็วถูกกลิ้ง ที่ความเร็วถูกกลิ้ง 150 รอบต่อนาที มีค่าการทนต่อแรงดึงของพิล์มพอลีแลคติกแอชิตก่อนขาดโดยเฉลี่ยมีค่ามากกว่าที่ความเร็วถูกกลิ้ง 200 และ 250 รอบต่อนาที เนื่องจากที่ความเร็วถูกกลิ้งต่ำจะมีแรงมากจะทำต่อชิ้นงานน้อยกว่าที่ความเร็วถูกกลิ้งสูง เมื่อนำชิ้นงานไปทดสอบจะมีการเพิ่มแรงให้กับชิ้นงานมากขึ้น จึงทำให้ชิ้นงานมีการทนต่อแรงดึงได้

มากกว่า ดังนั้นที่ความเร็วลูกกลิ้งน้อยที่สุดจะมีค่าการทบทองตึงก่อนขาดโดยเฉลี่ยของชิ้นงานในแนวขวางการขึ้นรูปสูงกว่าในแนวตามการขึ้นรูป เมื่อเปรียบเทียบพิล์มพอลีแลคติกและอะซิตที่ไม่ได้เติมและเติมพลาสติกไชเซอร์ เมื่อพิจารณาในแนวขวางการขึ้นรูปพิล์มพอลีแลคติกและอะซิตที่เติมโพธิลีนไกลอยด์มีค่าการทบทองต่อแรงตึงก่อนขาดโดยเฉลี่ยนีแนวโน้มเพิ่มขึ้นและพิล์มที่เติมเอทธิลีนไกลอยด์มีค่าการทบทองต่อแรงตึงก่อนขาดโดยเฉลี่ยมีแนวโน้มลดลงเมื่อพลาสติกไชเซอร์มีปริมาณเพิ่มขึ้น



ผลการทดสอบสมบัติการทนต่อแรงดึงของพีล์มโพลีแลคติกแอซิตที่เติมและไม่เติมพลาสติกไชเซอร์لامิเนตกระดาษ 60 แกรม มีขั้นงานทดสอบชนิดละ 5 ตัวอย่าง ทำการทดสอบตามมาตรฐาน ASTM D 882 ผลการทดสอบในตาราง ก.2 (ภาคผนวก ก)

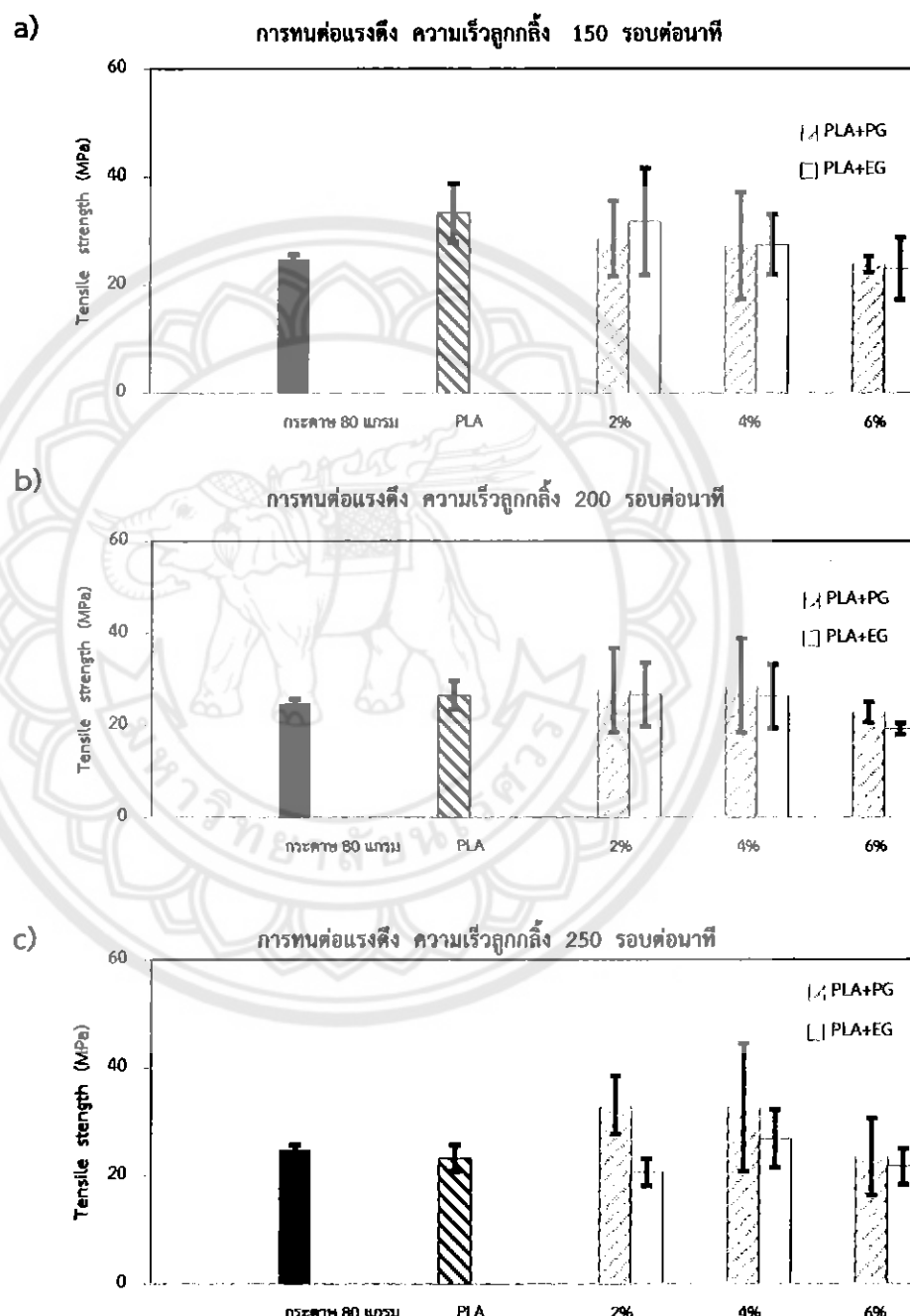


รูปที่ 4.7 กราฟแสดงความสัมพันธ์การทดสอบต่อแรงดึงกับความเข้มข้นพลาสติกไชเซอร์ของพีล์ม laminate 60 แกรม a) ความเร็วลูกกลิ้ง 150 รอบต่อนาที b) ความเร็วลูกกลิ้ง 200 รอบต่อนาที c) ความเร็วลูกกลิ้ง 250 รอบต่อนาที

จากรูปที่ 4.7 กราฟแสดงความสัมพันธ์การหดตัวแรงดึงกับความเข้มข้นพลาสติกไซเซอร์ของพิล์มพอลีแลคติกแอชิตามิเนตกับกระดาษ 60 แกรม ที่เติมและไม่ได้เติมพลาสติกไซเซอร์ที่ความเข้มข้น 2 %wt, 4 %wt และ 6 %wt ความเร็วลูกกลิ้ง 150 รอบต่อนาที 200 รอบต่อนาที และ 250 รอบต่อนาที ในการทดลองกระดาษ 60 แกรม มีค่าการหดตัวแรงดึงเฉลี่ยสูงสุดเท่ากับ 35.68 เมกะปาสคัล ซึ่งมีค่าการหดตัวแรงดึงเฉลี่ยสูงกว่าพิล์มพอลีแลคติกแอชิตที่เติมและไม่ได้เติมพลาสติกไซเซอร์ laminate เนตกระดาษ 60 แกรม ทุกความเข้มข้น เมื่อพิจารณาที่ความเร็วลูกกลิ้ง 150 รอบต่อนาที พิล์มพอลีแลคติกแอชิตที่เติมโพร์พีลีนไกลคอลและเอทีลีนไกลคอลทุกความเข้มข้น laminate เนตกระดาษ 60 แกรม มีค่าการหดตัวแรงดึงโดยเฉลี่ยใกล้เคียงกันสามารถรับแรงได้น้อยกว่าพิล์มพอลีแลคติกแอชิตที่ไม่ได้เติมพลาสติกไซเซอร์ โดยพิล์มพอลีแลคติกแอชิตที่เติมโพร์พีลีนไกลคอล 2 %wt laminate เนตกระดาษ 60 แกรม มีค่าการหดตัวแรงดึงเฉลี่ยน้อยที่สุดเท่ากับ 17.58 เมกะปาสคัล ที่ความเร็วลูกกลิ้ง 200 รอบต่อนาที พิล์มพอลีแลคติกแอชิตที่เติมโพร์พีลีนไกลคอล และ เอทีลีนไกลคอล laminate เนตกระดาษ 60 แกรม ทุกความเข้มข้นมีค่าการหดตัวแรงดึงเฉลี่ยน้อยกว่า พิล์มพอลีแลคติกแอชิตที่ไม่ได้เติมพลาสติกไซเซอร์ laminate เนตกระดาษ 60 แกรม พบว่าพิล์มพอลีแลคติกแอชิตที่เติมโพร์พีลีนไกลคอล 4 %wt laminate เนตกระดาษ 60 แกรม มีค่าการหดตัวแรงดึงเฉลี่ยน้อยที่สุดเท่ากับ 16.30 เมกะปาสคัล ที่ความเร็วลูกกลิ้ง 250 รอบต่อนาที พิล์มพอลีแลคติกแอชิตที่เติมโพร์พีลีนไกลคอล 2 %wt laminate เนตกระดาษ 60 แกรม มีค่าการหดตัวแรงดึงเฉลี่ยลดลง โดยที่พิล์มพอลีแลคติกแอชิตที่เติมโพร์พีลีนไกลคอล 30.64 เมกะปาสคัล จากผลการทดลองพิล์มพอลีแลคติกแอชิตที่เติมเอทีลีนไกลคอล laminate เนตกระดาษ 60 แกรม มีค่าการหดตัวแรงดึงโดยเฉลี่ยเพิ่มขึ้นร้อยละ 7 น้อยกว่ากระดาษ 60 แกรม แต่มีค่ามากขึ้นเมื่อเทียบกับพิล์มพอลีแลคติกแอชิตที่ไม่ได้เติมพลาสติกไซเซอร์

การทดสอบสมบัติการหดตัวแรงดึงของพิล์ม laminate เนตกระดาษ 60 แกรม พบว่าค่าการหดตัวแรงดึงโดยเฉลี่ยมีค่าใกล้เคียงกันกับพิล์ม laminate ที่เติมและไม่ได้เติมพลาสติกไซเซอร์ทุกความเร็วลูกกลิ้ง โดยค่าการหดตัวแรงดึงเฉลี่ยลดลงเมื่อเทียบกับพิล์มพอลีแลคติกแอชิตที่เติมและไม่ได้เติมพลาสติกไซเซอร์ใน laminate เนื่องจากการเชื่อมติดกันของวัสดุสองชนิดไม่สนิทกัน ส่งผลให้ค่าการหดตัวแรงดึงเฉลี่ยน้อยลงเมื่อเทียบกับพิล์มพอลีแลคติกแอชิตที่ไม่ได้ laminate

ผลการทดสอบสมบัติการทนต่อแรงดึงของพีล์มโพลีแลคติกแอดซิตที่เติมและไม่เติมพลาสติกไชเซอร์لامิเนตกระดาษ 80 แกรม มีขั้นงานทดสอบชนิดละ 5 ตัวอย่าง ทำการทดสอบตามมาตรฐาน ASTM D 882 ผลการทดสอบในตาราง ก.3 (ภาคผนวก ก)



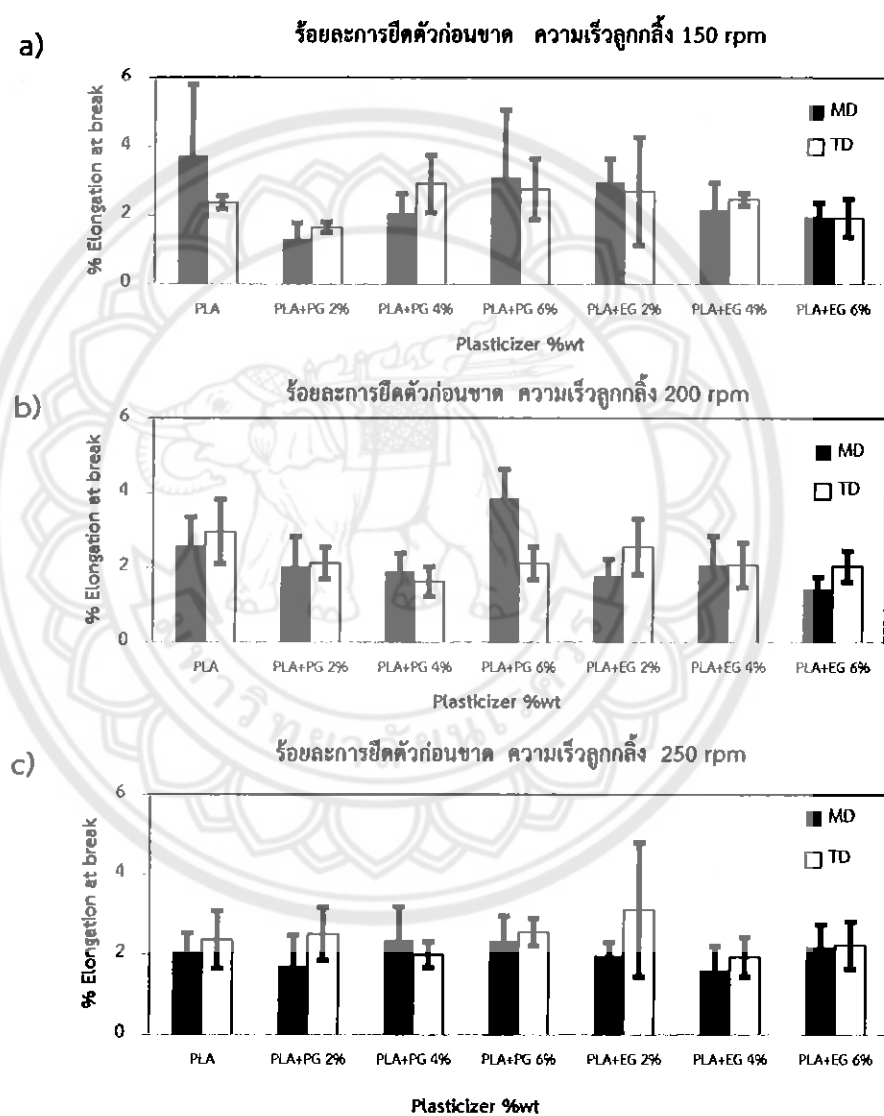
รูปที่ 4.8 กราฟแสดงความสัมพันธ์การทนต่อแรงดึงกับความเข้มข้นพลาสติกไชเซอร์ของพีล์มلامิเนตกระดาษ 80 แกรม a) ความเร็วลูกกลิ้ง 150 รอบต่อนาที b) ความเร็วลูกกลิ้ง 200 รอบต่อนาที c) ความเร็วลูกกลิ้ง 250 รอบต่อนาที

จากรูปที่ 4.8 กราฟแสดงความสัมพันธ์การหันต่อแรงดึงกับความเข้มข้นพลาสติกไชเซอร์ของพิล์มพอลีแอลก็ติกแอชิต lamivin เนตระดาย 80 แกรม ที่เติมและไม่เติมพลาสติกไชเซอร์ ที่ความเข้มข้น 2 %wt, 4 %wt และ 6 %wt ด้วยความเร็วลูกกลิ้ง 150 รอบต่อนาที 200 รอบต่อนาที และ 250 รอบต่อนาที เมื่อพิจารณาที่ความเร็วลูกกลิ้ง 150 รอบต่อนาที พิล์มพอลีแอลก็ติกแอชิตที่เติมโพร์พลีน-ไกลคอลและเอทิลีนไกลคอลทุกความเข้มข้นสามารถนิเคนตกระดาย 80 แกรม มีค่าการหันต่อแรงดึงโดยเฉลี่ยใกล้เคียงกับพิล์มพอลีแอลก็ติกแอชิตที่ไม่ได้เติมพลาสติกไชเซอร์และกระดาย 80 แกรม พบว่าพิล์มพอลีแอลก็ติกแอชิตที่ไม่ได้เติมพลาสติกไชเซอร์ lamivin เนตระดาย 80 แกรม มีค่าการหันต่อแรงดึงเฉลี่ยสูงสุดเท่ากับ 33.40 เมกะปาสคอล ที่ความเร็วลูกกลิ้ง 200 รอบต่อนาที พิล์มพอลีแอลก็ติก-แอชิตที่เติมและที่ไม่ได้เติมพลาสติกไชเซอร์ lamivin เนตระดาย 80 แกรม มีค่าการหันต่อแรงดึงโดยเฉลี่ยใกล้เคียงกันทุกความเข้มข้น โดยพิล์มพอลีแอลก็ติกแอชิตที่เติมเอทิลีนไกลคอล 6 %wt มีค่าการหันต่อแรงดึงโดยเฉลี่ยน้อยที่สุดเท่ากับ 19.14 เมกะปาสคอล เมื่อเทียบกับพิล์ม lamivin เนตระดาย 80 แกรม ที่เติมโพร์พลีนและไม่ได้เติมพลาสติกไชเซอร์ ที่ความเร็วลูกกลิ้ง 250 รอบต่อนาที พิล์มพอลีแอลก็ติกแอชิตที่เติมเอทิลีนไกลคอลและโพร์พลีนทุกความเข้มข้น มีค่าการหันต่อแรงดึงเฉลี่ยใกล้เคียงกับพิล์ม lamivin เนตระดาย 80 แกรมที่ไม่ได้เติมพลาสติกไชเซอร์ พบว่าพิล์มพอลีแอลก็ติกแอชิตที่เติมโพร์พลีนไกลคอล 2 %wt สามารถนิเคนตกระดาย 80 แกรม มีค่าการหันต่อแรงดึงเฉลี่ยสูงเท่ากับ 33.02 เมกะปาสคอล จากผลการทดลองพิล์มพอลีแอลก็ติกแอชิตที่เติมโพร์พลีนไกลคอลมีค่าการหันต่อแรงดึงเฉลี่ยเพิ่มขึ้นร้อยละ 18 เมื่อเทียบกับพิล์ม lamivin เนตระดายที่ไม่ได้เติมพลาสติกไชเซอร์และกระดาย 80 แกรม ที่มีค่าการหันต่อแรงดึงเฉลี่ยเท่ากับ 24.76 เมกะปาสคอล

ผลการทดลองพิล์ม lamivin เนตระดาย 80 แกรม ที่ความเร็วลูกกลิ้งต่ำพิล์ม lamivin เนตระดายที่เติมพลาสติกไชเซอร์มีค่าการหันต่อแรงดึงโดยเฉลี่ยใกล้กับพิล์ม lamivin เนตระดายที่ไม่ได้เติมพลาสติกไชเซอร์ เมื่อความเร็วลูกกลิ้งสูงขึ้นส่งผลให้ค่าการหันต่อแรงดึงของพิล์ม lamivin เนตระดายที่เติมพลาสติกไชเซอร์มีค่าเพิ่มสูงขึ้น เนื่องจากพิล์ม lamivin เนตระดายที่ความเร็วลูกกลิ้งสูงได้รับแรงในการขึ้นรูปมาส่วนหนึ่งจึงทำให้เมื่อแรงมากจะทำกับชิ้นงานเกิดการรับแรงได้น้อยกว่าความเร็วลูกกลิ้งต่ำ พิจารณาปริมาณพลาสติกไชเซอร์ที่เพิ่มขึ้นมีผลต่อค่าการหันต่อแรงดึงของชิ้นงานโดยเฉลี่ยมีค่าลดลง เพราะพลาสติกไชเซอร์ที่เติมเข้าไปช่วยในการขึ้นรูปชิ้นงานให้สามารถขึ้นรูปได้ง่ายขึ้น เนื่องจากพลาสติกไชเซอร์จะเข้าไปแทรกอยู่ระหว่างสายโซ่พอลิเมอร์ เพิ่มการอ่อนตัวและมีความยืดหยุ่นได้ดีขึ้น จากผลการทดลองกระดายจะช่วยให้ชิ้นงานมีค่าการหันต่อแรงดึงโดยเฉลี่ยเพิ่มขึ้นเมื่อเทียบกับพิล์มที่ไม่ได้ lamivin เนตระดาย ดังนั้นกระดายช่วยทำให้ชิ้นงานมีค่าการหันต่อแรงดึงเพิ่มขึ้นแต่โดยเฉลี่ยมีค่าใกล้เคียงกับพิล์มที่ไม่ได้ lamivin เนตระดาย

4.3.2 ผลการทดสอบสมบัติร้อยละการยืดตัวก่อนขาด

ผลการทดสอบสมบัติร้อยละการยืดตัวก่อนขาดกับความเข้มข้นพลาสติกไชเซอร์ของพิล์ม พอลีแลคติกแอซิตที่เติมและไม่เติมพลาสติกไชเซอร์ ห้องน้ำตามการขึ้นรูปและแนววางการขึ้นรูปมี ชื่นงานทดสอบชนิดคละ 5 ตัวอย่าง ทำการทดสอบตามมาตรฐาน ASTM D 882 ผลการทดสอบในตาราง ก.1 (ภาคผนวก ก)



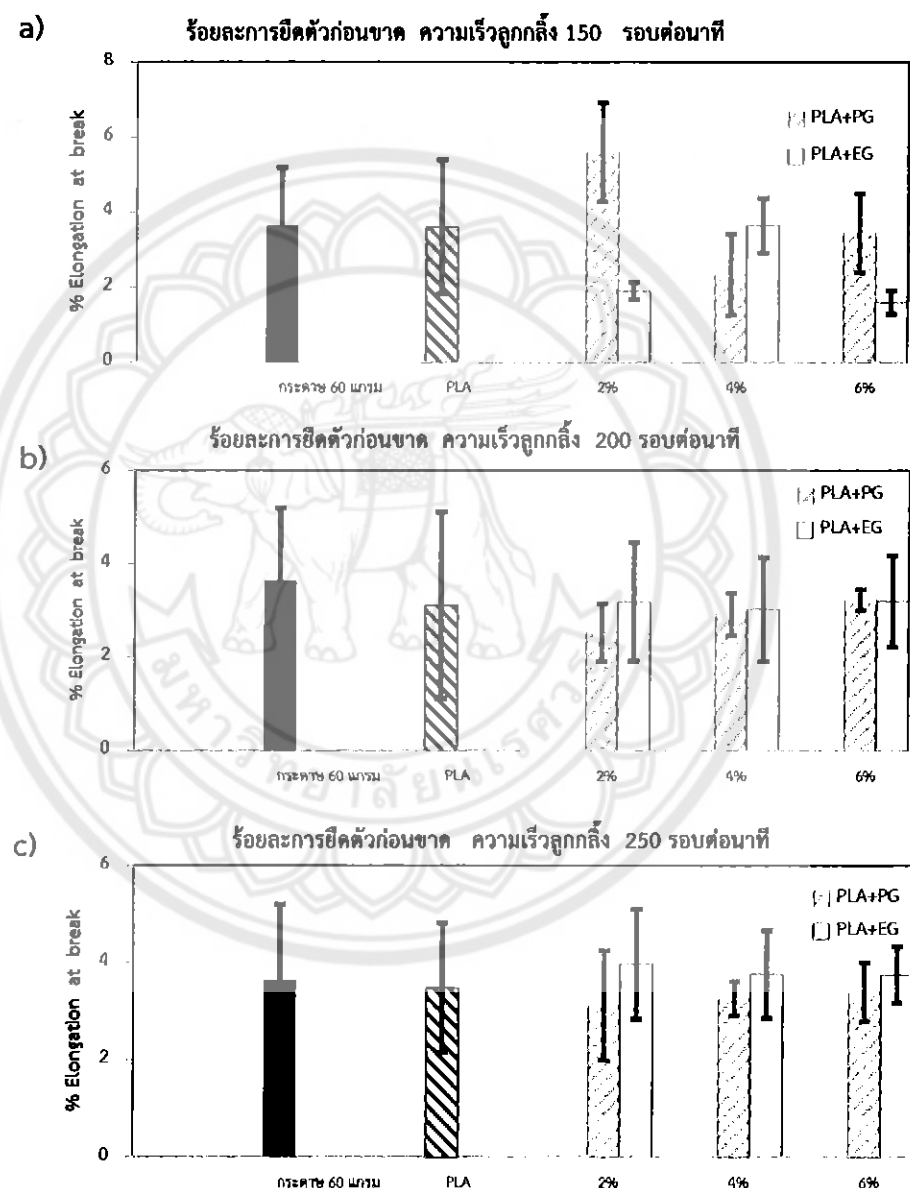
รูปที่ 4.9 กราฟแสดงความสัมพันธ์ร้อยละการยืดตัวก่อนขาดกับความเข้มข้นพลาสติกไชเซอร์ ของพิล์มพอลีแลคติกแอซิต a) ความเร็วถูกกลึง 150 รอบต่อนาที b) ความเร็วถูกกลึง 200 รอบต่อนาที c) ความเร็วถูกกลึง 250 รอบต่อนาที

จากรูปที่ 4.9 จากราฟแสดงความสัมพันธ์ร้อยละการยึดตัวก่อนขาดกับความเข้มข้นพลาสติกไชเซอร์ของฟิล์มพอลีแลคติกแอชิตที่เติมและไม่ได้เติมพลาสติกไชเซอร์ปริมาณความเข้มข้น 2 %wt, 4 %wt และ 6 %wt ด้วยความเร็วสูงกลึง 150 รอบต่อนาที 200 รอบต่อนาที และ 250 รอบต่อนาที โดยทดสอบทั้งแนวตามและแนวขวางของการขันรูป เมื่อพิจารณาที่ความเร็วสูงกลึง 150 รอบต่อนาที ฟิล์มพอลีแลคติกแอชิตที่เติมเอทธิลีนไกลคอลและโพร์พีลีนไกลคอลทุกปริมาณความเข้มข้น มีร้อยละการยึดตัวก่อนขาดในแนวนอนและแนวขวางการขันรูปมีค่าโดยเฉลี่ยต่างกันกับฟิล์มพอลีแลคติกแอชิตที่ไม่ได้เติมพลาสติกไชเซอร์ จากผลการเปรียบเทียบฟิล์มพอลีแลคติกแอชิตที่ไม่ได้เติมพลาสติกไชเซอร์ พบว่าการทดสอบขั้นงานในแนวนอนการขันรูปมีร้อยละการยึดตัวก่อนขาดในแนวนอนและแนวขวางการขันรูปฟิล์มพอลีแลคติกแอชิตที่เติมพลาสติกไชเซอร์ พบว่าฟิล์มพอลีแลคติกแอชิตที่เติมโพร์พีลีนไกลคอลมีร้อยละการยึดตัวก่อนขาดเฉลี่ยสูงสุดที่ปริมาณความเข้มข้น 6 %wt ในขณะที่ฟิล์มพอลีแลคติกแอชิตที่เติมเอทธิลีนไกลคอลมีร้อยละการยึดตัวก่อนขาดเฉลี่ยสูงสุดที่ปริมาณความเข้มข้น 2 %wt ที่ความเร็วสูงกลึง 200 รอบต่อนาที ฟิล์มพอลีแลคติกแอชิตที่ไม่ได้เติมพลาสติกไชเซอร์ มีร้อยละการยึดตัวก่อนขาดในแนวนอนการขันรูปเฉลี่ยลดลงเมื่อเทียบกับในแนวขวางการขันรูป พบว่า ฟิล์มพอลีแลคติกแอชิตที่เติมโพร์พีลีนไกลคอล 6 %wt มีร้อยละการยึดตัวก่อนขาดในแนวนอนการขันรูปเฉลี่ยสูงสุดเท่ากับร้อยละ 3.87 ที่เทียบกับฟิล์มที่ไม่ได้เติมพลาสติกไชเซอร์ เมื่อพิจารณาที่ความเร็วสูงกลึง 250 รอบต่อนาที ฟิล์มพอลีแลคติกแอชิตที่เติมเอทธิลีนไกลคอลและโพร์พีลีนไกลคอลทุกความเข้มข้นทั้งในแนวขวางและแนวตามการขันรูปมีร้อยละการยึดตัวเฉลี่ยเพิ่มขึ้น จากการทดลองฟิล์มพอลีแลคติกแอชิตที่เติมเอทธิลีนไกลคอล 2%wt มีร้อยละการยึดตัวก่อนขาดในแนวขวางการขันรูปเฉลี่ยสูงสุดเท่ากับร้อยละ 3.12 เมื่อเทียบกับฟิล์มที่ไม่ได้เติมพลาสติกไชเซอร์ มีความสอดคล้องกับงานวิจัยของ A.Somwangthanaroj และคณะ [2] ที่เติมพลาสติกไชเซอร์ ปริมาณความเข้มข้น 5 %wt และ 7 %wt มีร้อยละการยึดตัวก่อนขาดในแนวนอนและแนวขวางการขันรูปมีค่าที่แตกต่างกันที่ความเร็วสูงกลึงต่ำ แต่ที่ความเร็วสูงกลึงสูงมีร้อยละการยึดตัวก่อนขาดทั้งในแนวตามและแนวขวางการขันรูปมีค่าไม่แตกต่างกัน พบว่าฟิล์มพอลีแลคติกแอชิตที่เติมเอทธิลีนไกลคอล ทุกความเข้มข้นทำให้ร้อยละการยึดตัวก่อนขาดในแนวขวางการขันรูปโดยเพิ่มขึ้นร้อยละ 20 เมื่อเทียบกับฟิล์มที่ไม่ได้เติมพลาสติกไชเซอร์ในทางกลับกันการเติมพลาสติกไชเซอร์มีผลทำให้ร้อยละการยึดตัวก่อนขาดในแนวนอนการขันรูปลดลง

จากการทดลองร้อยละการยึดตัวก่อนขาดของชิ้นงานที่ความเร็วลูกกลิ้ง 150 รอบต่อนาที 200 รอบต่อนาที และ 250 รอบต่อนาที มีการเปลี่ยนแปลงความยาวของชิ้นงานที่ใช้ในการทดสอบ เกิดจากการให้แรงกับชิ้นงาน ทำให้ชิ้นงานเกิดการยึดตัวได้ตามแรงที่กระทำกับชิ้นงานการยึดตัวก่อนขาด (ระยะยึด) คือ ผลต่างของความยาวก่อนการทดสอบและหลังการทดสอบ จากการทดสอบที่ความเร็วลูกกลิ้งต่ำพิล์มพอลีแลคติกแอซิตมีระยะยึดในแนวตามการขึ้นรูปเฉลี่ยสูงกว่าพิล์มพอลี-แลคติกแอซิตที่ความเร็วลูกกลิ้งสูง แต่การยึดตัวในแนววางการขึ้นรูปของพิล์มพอลีแลคติกซิตโดยเฉลี่ยเพิ่มขึ้นที่ความเร็วลูกกลิ้งสูง เมื่อพิจารณาที่ความเร็วลูกกลิ้งต่ำพิล์มพอลีแลคติกแอซิตที่เติมโพลีลีนไอกโคลระยะยึดโดยเฉลี่ยเพิ่มขึ้นตามปริมาณของพลาสติกใช้เชอร์ทั้งในแนวตามการขึ้นรูป และแนววางการขึ้นรูปเมื่อเทียบกับพิล์มที่เติมเอธิลีนไอกโคลในปริมาณพลาสติกใช้เชอร์สูงทำให้ระยะยึดโดยเฉลี่ยลดลง ที่ความเร็วลูกกลิ้งสูงขึ้นพิล์มที่เติมและไม่ได้เติมพลาสติกใช้เชอร์มีค่าการยึดของชิ้นงานทั้งในแนวตามการขึ้นรูปและแนววางการขึ้นรูปชิ้นงานโดยเฉลี่ยมีแนวโน้มใกล้เคียงกัน



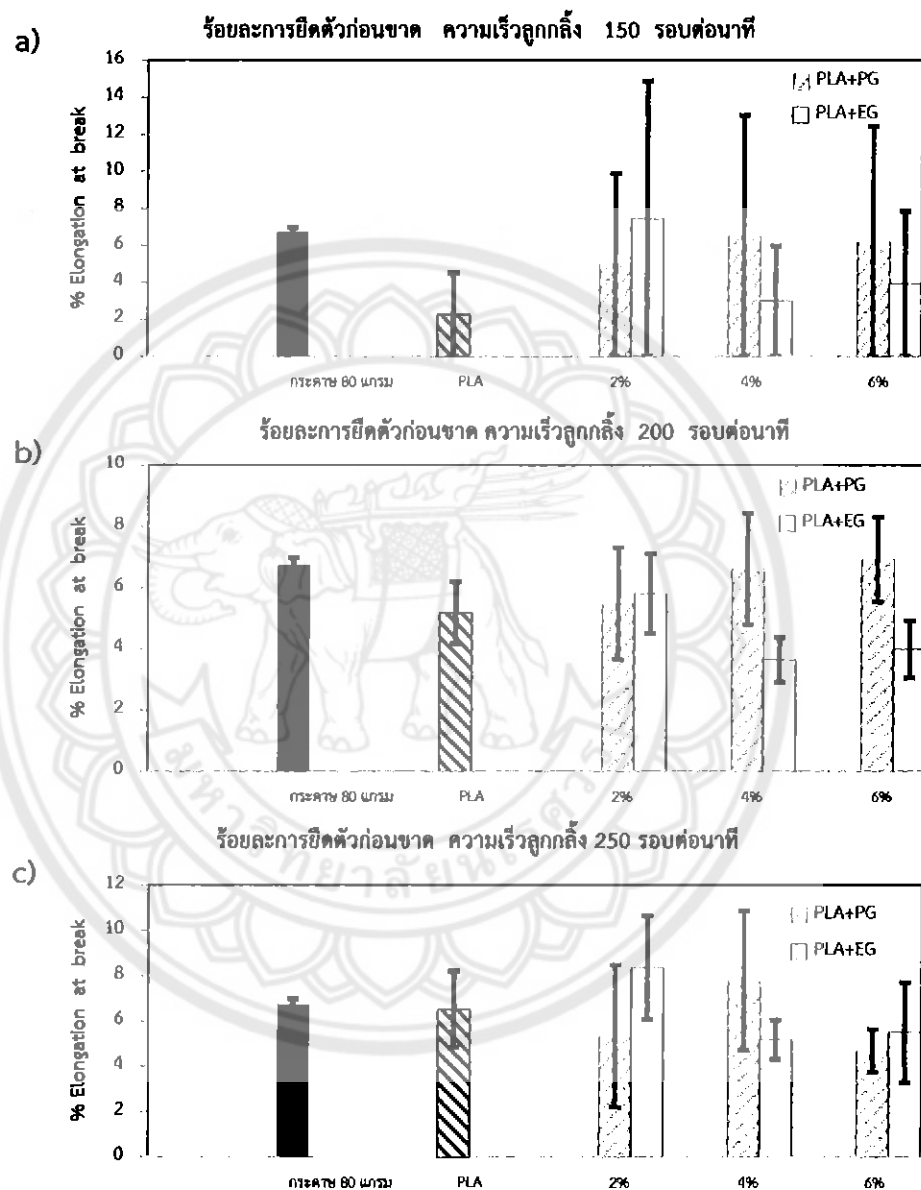
ผลการทดสอบสมบัติร้อยละการยืดตัวก่อนขาดกับความเข้มข้นพลาสติกไชเซอร์ของพิล์ม พอลีแลคติกแอซิตที่ laminate น้ำหนักตกระยะ 60 แกรม ที่เติมและไม่เติมพลาสติกไชเซอร์ มีขั้นตอนทดสอบ ชนิดละ 5 ตัวอย่าง ทำการทดสอบตามมาตรฐาน ASTM D 882 ผลการทดสอบในตารางก.2 (ภาคผนวก ก)



รูปที่ 4.10 กราฟแสดงความสัมพันธ์ร้อยละการยืดตัวก่อนขาดกับความเข้มข้นพลาสติกไชเซอร์ ของพิล์ม laminate น้ำหนักตกระยะ 60 แกรม a) ความเร็วลูกกลิ้ง 150 รอบต่อนาที b) ความเร็วลูกกลิ้ง 200 รอบต่อนาที c) ความเร็วลูกกลิ้ง 250 รอบต่อนาที

จากรูปที่ 4.10 กราฟแสดงความสัมพันธ์ร้อยละการยึดตัวก่อนขาดกับความเข้มข้นพลาสติกไชเซอร์ของฟิล์มพอลีแลคติกแอชิตามิเนตกระดาษ 60 แกรม ที่เติมและไม่ได้เติมพลาสติกไชเซอร์ ที่ความเข้มข้น 2 %wt, 4 %wt และ 6 %wt ด้วยความเร็วลูกกลิ้ง 150 รอบต่อนาที 200 รอบต่อนาที และ 250 รอบต่อนาที เมื่อพิจารณาที่ความเร็วลูกกลิ้ง 150 รอบต่อนาที ฟิล์มพอลีแลคติกแอชิตที่เติมเออทีลีนไกลคอล 2 %wt لامินเนตกับกระดาษ 60 แกรม มีร้อยละการยึดตัวก่อนขาดเฉลี่ยสูงสุดเท่ากับร้อยละ 5.60 เพิ่มขึ้นจากฟิล์ม lamein เท่าที่ไม่ได้เติมพลาสติกไชเซอร์ร้อยละ 36 ที่ความเร็วลูกกลิ้ง 200 รอบต่อนาที และ 250 รอบต่อนาที ฟิล์มพอลีแลคติกแอชิตที่เติมและไม่ได้เติมพลาสติกไชเซอร์ทุกความเข้มข้น lamini เนตที่ไม่ได้เติมพลาสติกไชเซอร์ร้อยละ โดยเฉลี่ยไกลส์เคียงกับฟิล์มพอลีแลคติกแอชิตที่ไม่ได้เติมพลาสติกไชเซอร์ โดยฟิล์มพอลีแลคติกแอชิตที่เติมเออทีลีนไกลคอล lamini เนตกระดาษ 60 แกรม มีร้อยละการยึดตัวก่อนขาดเพิ่มขึ้นเมื่อเทียบกับฟิล์มที่เติมโพพรีลีนไกลคอล จากผลการทดลองฟิล์มพอลีแลคติกแอชิตที่เติมโพพรีลีนไกลคอลมีร้อยละการยึดตัวก่อนขาดเฉลี่ยเพิ่มขึ้นร้อยละ 19 เมื่อเทียบฟิล์ม lamein เท่าที่ไม่ได้เติมพลาสติกไชเซอร์และกระดาษ 60 แกรม มีร้อยละการยึดตัวก่อนขาดเฉลี่ยเท่ากับร้อยละ 3.6 การยึดตัวก่อนขาดของฟิล์ม lamein ที่เติมพลาสติกไชเซอร์โดยเฉลี่ยมีค่าเพิ่มขึ้นที่ความเร็วลูกกลิ้งต่ำ มีระยะห่างเฉลี่ยสูงกว่าฟิล์ม lamein ที่ความเร็วลูกกลิ้งสูง เมื่อพิจารณาที่ความเร็วลูกกลิ้งต่ำฟิล์ม lamein เท่าที่เติมโพพรีลีนไกลคอล และเออทีลีนไกลคอลมีแนวโน้มโดยเฉลี่ยลดลงเมื่อบริษัทพลาสติกไชเซอร์เพิ่มขึ้น เนื่องจากกระดาษช่วยทำให้ฟิล์มที่เติมและไม่เติมพลาสติกไชเซอร์มีระยะการยึดตัวเฉลี่ยเพิ่มขึ้นเมื่อเทียบกับฟิล์มที่ไม่ได้ lamein พบว่าที่ความเร็วลูกกลิ้งสูงฟิล์ม lamein ที่เติมพลาสติกไชเซอร์ทุกความเข้มข้นมีการยึดตัวโดยเฉลี่ยไกลส์เคียงกับฟิล์ม lamein เท่าที่ไม่เติมพลาสติกไชเซอร์และฟิล์มที่ไม่ได้ lamein

ผลการทดสอบสมบัติร้อยละการยืดตัวก่อนขาดกับความเข้มข้นของพิล์มพอลีแลคติกแอซิตที่ laminiante ระดับ 80 แกรม ที่เติมและไม่เติมพลาสติกไชเซอร์ มีขั้นตอนทดสอบคงที่ 5 ตัวอย่าง ทำการทดสอบตามมาตรฐาน ASTM D 882 ผลการทดสอบในตาราง ก.3 (ภาคผนวก ก)



รูปที่ 4.11 กราฟแสดงความสัมพันธ์ร้อยละการยืดตัวก่อนขาดกับความเข้มข้นพลาสติกไชเซอร์ ของพิล์ม laminiante ระดับ 80 แกรม a) ความเร็วลูกกลิ้ง 150 รอบต่อนาที b) ความเร็วลูกกลิ้ง 200 รอบต่อนาที c) ความเร็วลูกกลิ้ง 250 รอบต่อนาที

จากรูปที่ 4.11 กราฟแสดงความสัมพันธ์ร้อยละการยึดตัวก่อนขาดกับความเข้มข้นพลาสติกไซเซอร์ของพิล์มพอลีแลคติกแอชิตามิเนตกระดาษ 80 แกรม ที่เติมและไม่เติมพลาสติกไซเซอร์ ความเข้มข้น 2 %wt, 4 %wt และ 6 %wt ด้วยความเร็วถูกกลึง 150 รอบต่อนาที 200 รอบต่อนาที และ 250 รอบต่อนาที เมื่อพิจารณาที่ความเร็วถูกกลึง 150 รอบต่อนาที พิล์มพอลีแลคติกแอชิตที่เติมเอทธิลีนไกลคอลทุกความเข้มข้นสามารถมีเนตกระดาษ 80 แกรม มีร้อยละการยึดตัวก่อนขาดเฉลี่ยลดลงเมื่อเทียบกับพิล์มพอลีแลคติกแอชิตเติมโพร์พีลีนไกลคอลทุกความเข้มข้นสามารถมีเนตกระดาษ 80 แกรม โดยพิล์มพอลีแลคติกแอชิตที่เติมเอทธิลีนไกลคอล 2 %wt สามารถมีร้อยละการยึดตัวก่อนขาดเฉลี่ยสูงสุดเท่ากับร้อยละ 7.44 เมื่อเทียบกับพิล์มลามิเนตที่ไม่ได้เติมพลาสติกไซเซอร์ลามิเนตกระดาษ 80 แกรม ที่ความเร็วถูกกลึง 200 รอบต่อนาที พิล์ม พอลีแลคติกแอชิตที่เติมและไม่เติมพลาสติกไซเซอร์ทุกความเข้มข้นสามารถมีเนตกระดาษ 80 แกรม มีร้อยละการยึดตัวก่อนขาดเฉลี่ยสูงสุดเท่ากับร้อยละ 7.44 เมื่อเทียบกับพิล์มลามิเนตที่ไม่ได้เติมพลาสติกไซเซอร์ ที่ความเร็วถูกกลึง 250 รอบต่อนาที พิล์มพอลีแลคติกแอชิตที่เติมและไม่เติมพลาสติกไซเซอร์ทุกความเข้มข้นสามารถมีเนตกระดาษ 80 แกรม มีร้อยละการยึดตัวก่อนขาดที่ไม่แตกต่างกันมากนัก โดยพิล์มพอลีแลคติกแอชิตที่เติมเอทธิลีนไกลคอล 2 %wt สามารถมีร้อยละการยึดตัวก่อนขาดเฉลี่ยสูงสุดเท่ากับร้อยละ 6.62 และ 6.92 ตามลำดับ โดยเฉลี่ยสูงขึ้นร้อยละ 26 เมื่อเทียบกับพิล์มลามิเนตที่ไม่ได้เติมพลาสติกไซเซอร์ ที่ความเร็วถูกกลึง 250 รอบต่อนาที พิล์มพอลีแลคติกแอชิตที่เติมและไม่เติมพลาสติกไซเซอร์ทุกความเข้มข้นสามารถมีเนตกระดาษ 80 แกรม มีร้อยละการยึดตัวก่อนขาดที่ไม่แตกต่างกันมากนัก โดยพิล์มพอลีแลคติกแอชิตที่เติมเอทธิลีนไกลคอล 2 %wt สามารถมีร้อยละการยึดตัวก่อนขาดเฉลี่ยสูงสุดเท่ากับร้อยละ 8.35 เมื่อเทียบกับพิล์มลามิเนตที่ไม่ได้เติมพลาสติกไซเซอร์ จากการทดลองพิล์มพอลีแลคติกแอชิตที่เติมและไม่เติมพลาสติกไซเซอร์ สามารถลดลงพิล์มพอลีแลคติกแอชิตที่เติมและไม่เติมพลาสติกไซเซอร์ลามิเนตกระดาษ 80 แกรม พบว่าร้อยละการยึดตัวก่อนขาดโดยเฉลี่ยเพิ่มขึ้น ดังนั้น การเติมโพร์พีลีนไกลคอลและเอทธิลีนไกลคอลมีผลทำให้ร้อยละการยึดตัวก่อนขาดของพิล์มพอลีแลคติกแอชิตที่ลามิเนตกับกระดาษ 80 แกรม โดยมีแนวโน้มเฉลี่ยสูงขึ้น เมื่อเทียบกับพิล์มพอลีแลคติกแอชิตที่ไม่เติมพลาสติกไซเซอร์ลามิเนตกระดาษ 80 แกรม

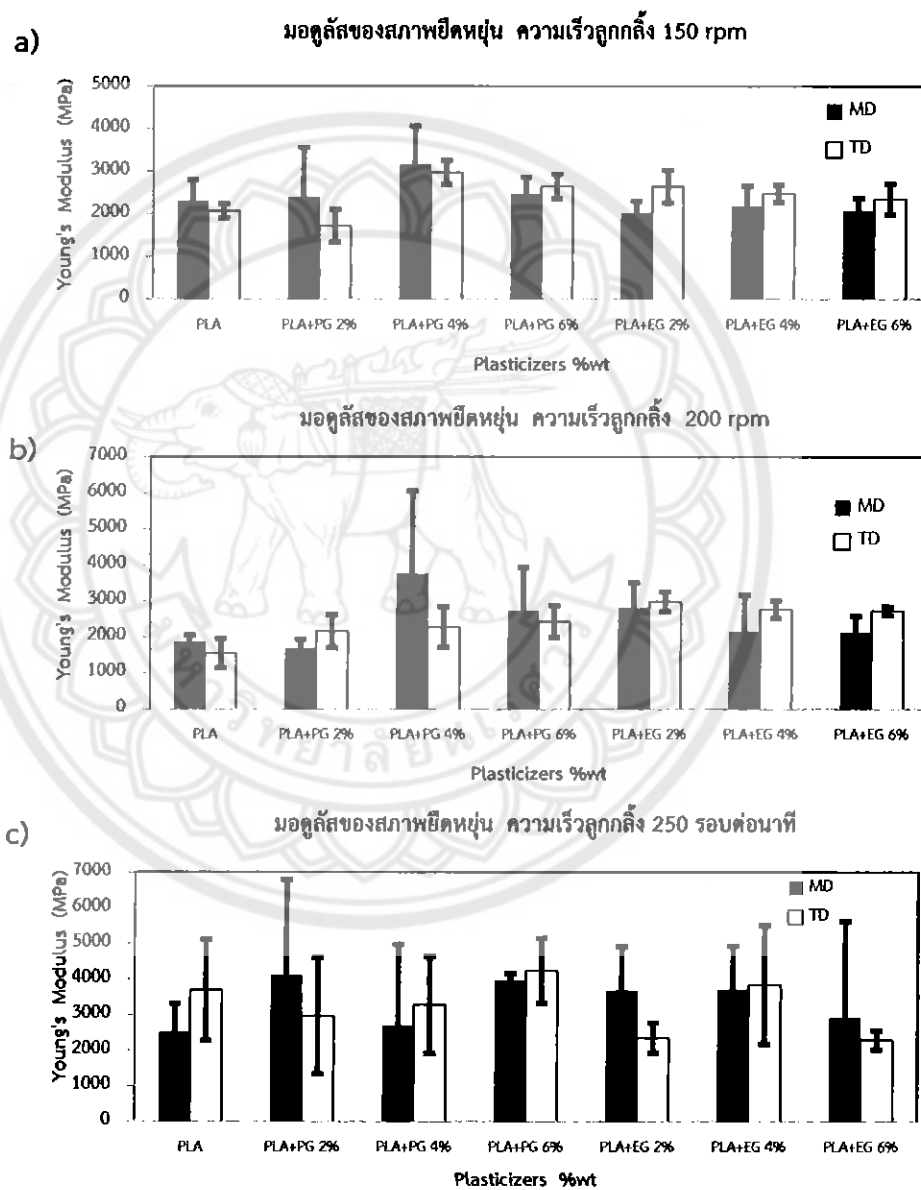
จากการทดลองพิล์มลามิเนตที่เติมเอทธิลีนไกลคอล 2 %wt มีค่าร้อยละการยึดตัวก่อนขาดโดยเฉลี่ยเพิ่มขึ้นประมาณร้อยละ 23 เมื่อเทียบกับพิล์มลามิเนตที่ไม่ได้เติมพลาสติกไซเซอร์และพิล์มลามิเนตกระดาษ 80 แกรม ที่เติมเอทธิลีนไกลคอลทุกความเข้มข้นทั่มร้อยละการยึดตัวก่อนขาดที่สูงกว่าความเข้มข้นสูง ที่เอทธิลีนไกลคอล 2 %wt มีร้อยละการยึดตัวก่อนขาดเฉลี่ยสูงเท่ากับร้อยละ 6.74 เมื่อพิจารณาการยึดตัวก่อนขาดของพิล์มลามิเนตที่เติมโพร์พีลีนไกลคอลทุกความเข้มข้นโดยเฉลี่ยมีแนวโน้มสูงขึ้นเมื่อเทียบกับพิล์มลามิเนตที่ไม่ได้เติมพลาสติกไซเซอร์ พิล์มลามิเนตกระดาษ 80 แกรม มีค่าโดยเฉลี่ยใกล้เคียงกับพิล์มพอลีแลคติกแอชิตที่ไม่ได้ลามิเนตเนื่องจากกระดาษที่ใช้ในการ

لامิเนตมีผลต่อการยึดตัวของชิ้นงานทำให้ชิ้นงานรับแรงได้มาก ดังนั้นพิล์ม laminate กระดาษ 60 และ 80 แกรม มีระยะยึดที่เพิ่มขึ้นตามความเร็วถูกกลึงและปริมาณของพลาสติกใช้เชอร์มีแนวโน้ม การยึดตัวโดยเฉลี่ยเหมือนกัน แต่พิล์ม laminate 80 แกรม มีระยะการยึดตัวได้มากกว่าพิล์ม laminate กระดาษ 60 แกรม



4.3.3 ผลการทดสอบสมบัติมอคูลัสของสภาคายดหยุ่น

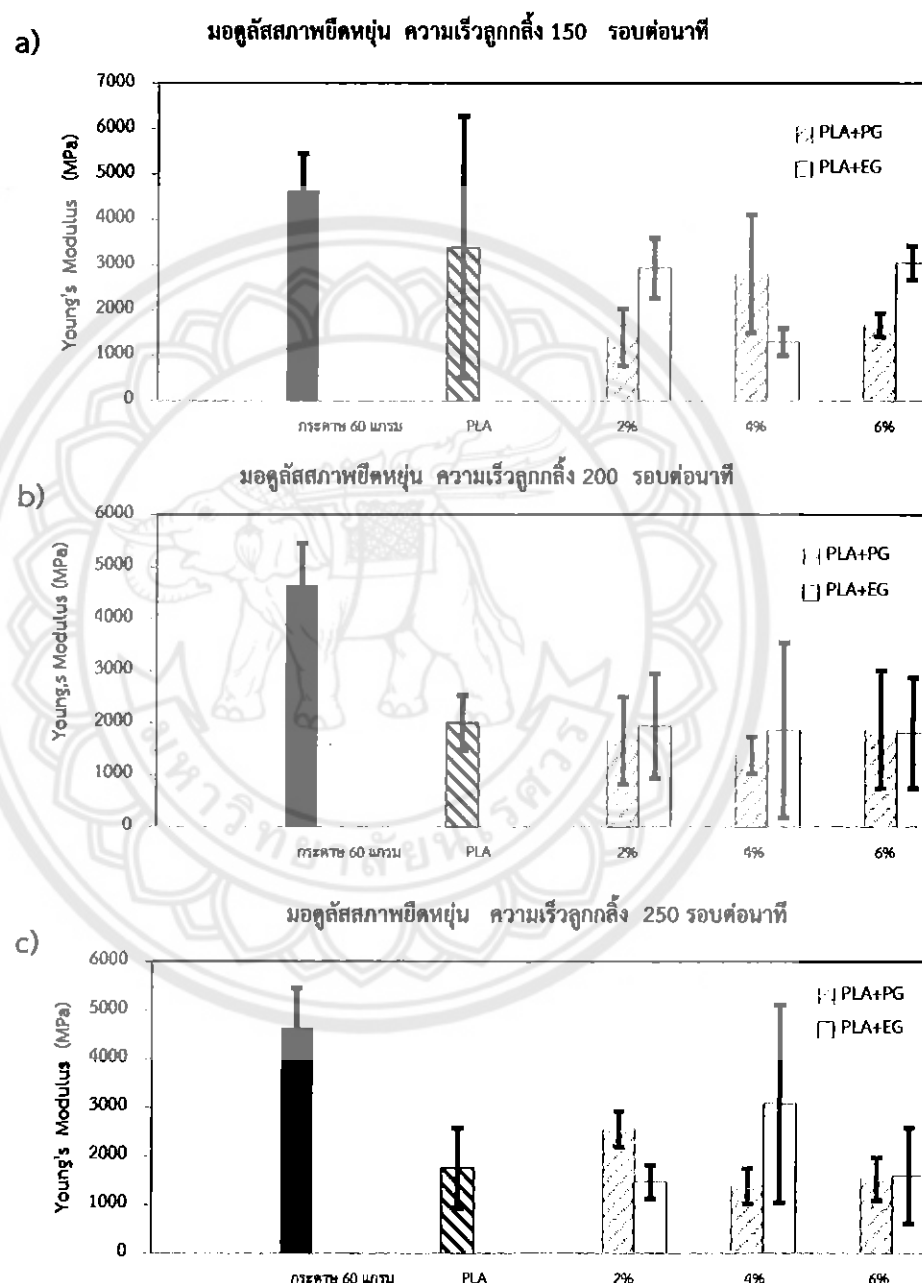
ผลการทดสอบสมบัติมอคูลัสสภาคายดหยุ่นกับความเข้มข้นพลาสติกไชเซอร์ของพิล์ม พอลีแลคติกแอซิตในแนวตามการขึ้นรูปและแนววางแผนการขึ้นรูปที่เติมและไม่ได้เติมพลาสติกไชเซอร์ มีชื่องานทดสอบนิดละ 5 ตัวอย่าง ทำการทดสอบตามมาตรฐาน ASTM D 882 ให้ผลการทดลองในตาราง ก.1 (ภาคผนวก ก)



รูปที่ 4.12 กราฟแสดงความสัมพันธ์ของคูลัสสภาคายดหยุ่นกับความเข้มข้นพลาสติกไชเซอร์ของพิล์มพอลีแลคติกแอซิต a) ความเร็วถูกกลึง 150 รอบต่อนาที b) ความเร็วถูกกลึง 200 รอบต่อนาที c) ความเร็วถูกกลึง 250 รอบต่อนาที

จากรูปที่ 4.12 กราฟแสดงความสัมพันธ์มอตูลัสสภาพยึดหยุ่นกับความเข้มข้นของพลาสติกไชเซอร์ของพิล์มพอลีแลคติกแอชิตที่เติมและไม่เติมพลาสติกไชเซอร์ ความเข้มข้น 2 %wt, 4 %wt และ 6 %wt ด้วยความเร็วถูกกลิ้ง 150 รอบต่อนาที 200 รอบต่อนาที และ 250 รอบต่อนาที ทั้งแนวโน้มและความแปรผันของความเร็วถูกกลิ้ง 150 รอบต่อนาที พิล์มพอลีแลคติกแอชิตที่เติมเออทิลีนไกลคอลและโพร์พีลีนไกลคอลทุกความเข้มข้น มีมอตูลัสสภาพยึดหยุ่นในแนวตามการขึ้นรูปเฉลี่ยไกลคอลเดียวกับพิล์มที่ไม่ได้เติมพลาสติกไชเซอร์ พบว่าพิล์มพอลีแลคติก-แอชิตที่เติมโพร์พีลีนไกลคอล 4 %wt ในแนวตามการขึ้นรูป มีมอตูลัสสภาพยึดหยุ่นเฉลี่ยสูงสุดมีค่าเท่ากับ 3161.34 เมกะปาสคัล และแนวโน้มของการขึ้นรูปทุกความเข้มข้นโดยเฉลี่ยเพิ่มขึ้นร้อยละ 22 ที่ความเร็วถูกกลิ้ง 200 รอบต่อนาที พิล์มพอลีแลคติกแอชิตที่เติมโพร์พีลีนไกลคอลและเออทิลีนไกลคอล ทุกความเข้มข้นมีมอตูลัสสภาพยึดหยุ่นในแนวตามการขึ้นรูปเพิ่มขึ้นร้อยละ 50 และแนวโน้มการขึ้นรูปเฉลี่ยสูงขึ้นร้อยละ 37 เมื่อเทียบกับพิล์มพอลีแลคติกแอชิตที่ไม่ได้เติมพลาสติกไชเซอร์ โดยพิล์มพอลีแลคติกแอชิตที่เติมโพร์พีลีนไกลคอล 4 %wt ในแนวตามการขึ้นรูป มีมอตูลัสสภาพยึดหยุ่นเฉลี่ยสูงสุดมีค่าเท่ากับ 3769.05 เมกะปาสคัล ที่ความเร็วถูกกลิ้ง 250 รอบต่อนาที พิล์มพอลีแลคติกแอชิตที่เติมโพร์พีลีนไกลคอลทุกความเข้มข้นมีมอตูลัสสภาพยึดหยุ่นในแนวตามการขึ้นรูปเฉลี่ยสูงขึ้นเมื่อเทียบในแนวโน้มของการขึ้นรูป โดยพบว่าพิล์มพอลีแลคติกแอชิตที่เติมโพร์พีลีนไกลคอล 2 %wt ตามการแนวโน้มของการขึ้นรูป มีมอตูลัสสภาพยึดหยุ่นเฉลี่ยสูงสุดมีค่าเท่ากับ 4109.64 เมกะปาสคัล สูงขึ้นร้อยละ 54 เมื่อเปรียบเทียบกับพิล์มพอลีแลคติกแอชิตที่เติมเออทิลีนไกลคอล และพิล์มที่ไม่ได้เติมพลาสติกไชเซอร์ ซึ่งสอดคล้องกับงานวิจัยของ A.Somwangthanaroj และคณะ [2] ที่เติมพลาสติกไชเซอร์ ทำให้มอตูลัสสภาพยึดหยุ่นทั้งในแนวตามและแนวโน้มของการขึ้นรูปมีค่าสูงขึ้น เนื่องจากพลาสติกไชเซอร์เป็นสารไม่เลกฤทธิ์จะเข้าไปแทรกอยู่ระหว่างสายโซ่อ่อนตัวของพอลิเมอร์ ทำให้สมบัติของพอลีแลคติกแอชิตสามารถไหลผ่านกันได้ง่ายขึ้น จากผลการทดลองค่ามอตูลัสของพิล์มพอลีแลคติกแอชิตที่เติมโพร์พีลีนไกลคอล 2 %wt และ 4 %wt โดยเฉลี่ยมีค่ามอตูลัสสภาพยึดหยุ่นสูงขึ้นประมาณร้อยละ 50 เมื่อเทียบกับพิล์มพอลีแลคติกแอชิตที่ไม่ได้เติมพลาสติกไชเซอร์ มีอัตราณภาพริมาณของพลาสติกไชเซอร์ที่เพิ่มสูงขึ้นที่ความเร็วถูกกลิ้งต่ำชั้นงานที่เติมโพร์พีลีนไกลคอล 4 %wt มีค่ามอตูลัสโดยเฉลี่ยสูงสุดแต่ที่ความเร็วถูกกลิ้งสูงชั้นงานที่เติมโพร์พีลีนไกลคอล 2 %wt มีค่ามอตูลัสโดยเฉลี่ยสูงสุด เมื่อเทียบกับพิล์มพอลีแลคติกแอชิตที่ไม่ได้เติมพลาสติกไชเซอร์ เนื่องจากค่ามอตูลัส คือ อัตราส่วนของความเค้นต่อความเครียดซึ่งที่มีความสัมพันธ์เป็นเส้นตรงโดยพิจารณาเฉพาะในช่วงก่อนการเสียรูปเนื่องจากวัสดุยังมีการเปลี่ยนแปลงแบบยึดหยุ่น

ผลการทดสอบสมบัติมอดูลัสสีสภาพยืดหยุ่นกับความเข้มข้นของฟิล์มโพลีแลคติกแอซิต ตามวินิแตะราษฎร 60 แกรม ที่เติมและไม่เติมพลาสติกไชเซอร์ มีขั้นตอนทดสอบนิดละ 5 ตัวอย่าง ทำการทดสอบตามมาตรฐาน ASTM D 882 ให้ผลการทดลองในตาราง ก.2 (ภาคผนวก ก)

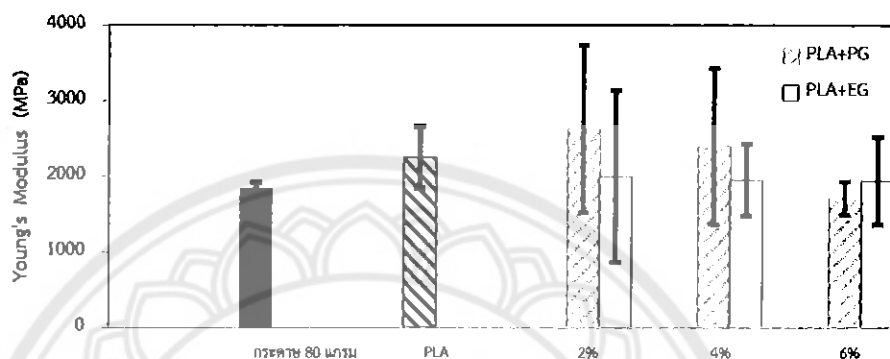


รูปที่ 4.13 กราฟแสดงความสัมพันธ์มอดูลัสสีสภาพยืดหยุ่นกับความเข้มข้นพลาสติกไชเซอร์ของฟิล์มตามวินิแตะราษฎร 60 แกรม a) ความเร็วลูกกลิ้ง 150 รอบต่อนาที
b) ความเร็วลูกกลิ้ง 200 รอบต่อนาที c) ความเร็วลูกกลิ้ง 250 รอบต่อนาที

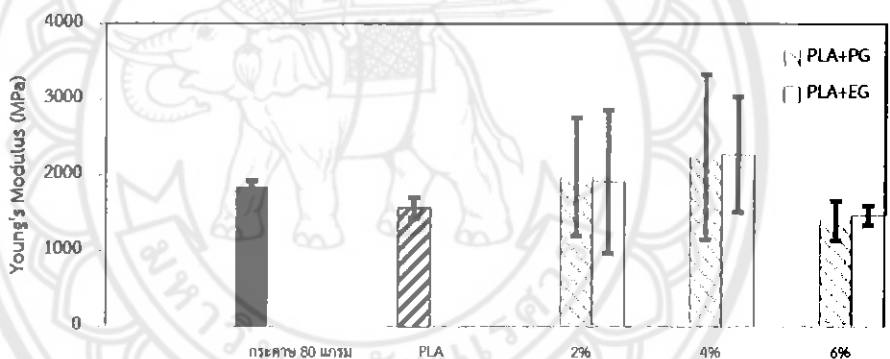
จากรูปที่ 4.13 กราฟแสดงความสัมพันธ์ของอุลติสภารย์ด้วยกับความเข้มข้นของพลาสติกไซเซอร์ของพิล์มพอลีแลคติกและไข่ต้มในต่อกันกระดาษ 60 แกรม ที่เติมและไม่เติมพลาสติกไซเซอร์ความเข้มข้น 2 %wt, 4 %wt และ 6%wt ด้วยความเร็วลูกกลิ้ง 150 รอบต่อนาที 200 รอบต่อนาที และ 250 รอบต่อนาที จากการทดลองกระดาษ 60 แกรม มีมอุลติสภารย์ด้วยกับความเข้มข้นเฉลี่ยสูงสุดเท่ากับ 4642.58 เมกะปาสคัล มีค่าสูงกว่าพิล์มพอลีแลคติกและไข่ต้มที่เติมและไม่ได้เติมพลาสติกไซเซอร์รวมในต่อกกระดาษ 60 แกรม เมื่อพิจารณาที่ความเร็วลูกกลิ้ง 150 รอบต่อนาที พิล์มพอลีแลคติกและไข่ต้มที่เติมโพร์พีลีนไกลคอลและเอทิลีนไกลคอลทุกความเข้มข้นสามารถในต่กระดาษ 60 แกรม มีมอุลติสภารย์ด้วยกับความเข้มข้นโดยเฉลี่ยน้อยกว่าพิล์มตามในต่ที่ไม่ได้เติมพลาสติกไซเซอร์ โดยพิล์มพอลีแลคติกและไข่ต้มที่เติมเอทิลีนไกลคอลตามในต่กระดาษ 60 แกรม โดยเฉลี่ยมีมอุลติสภารย์ด้วยกับ 3042 เมกะปาสคัล ที่ความเร็วลูกกลิ้ง 200 รอบต่อนาที พิล์มพอลีแลคติกและไข่ต้มโพร์พีลีนไกลคอลทุกความเข้มข้นตามในต่กระดาษ 60 แกรม มีมอุลติสภารย์ด้วยกับความเข้มข้นตามในต่กระดาษ 60 แกรม ที่ความเร็วลูกกลิ้ง 250 รอบต่อนาที พิล์มพอลีแลคติกและไข่ต้มที่เติมโพร์พีลีนไกลคอลทุกความเข้มข้นตามในต่กระดาษ 60 แกรม มีค่ามอุลติสภารย์ด้วยกับความเข้มข้นเฉลี่ยลดลงเมื่อเทียบกับพิล์มพอลีแลคติกและไข่ต้มที่เติมเอทิลีนไกลคอล 4 %wt ตามในต่กระดาษ 60 แกรม มีมอุลติสภารย์ด้วยกับความเข้มข้นเฉลี่ยสูงสุดเท่ากับ 3077.22 เมกะปาสคัล จากผลการทดลองพิล์มพอลีแลคติกและไข่ต้มที่เติมเอทิลีนไกลคอลมีมอุลติสภารย์ด้วยกับความเข้มข้นเฉลี่ยสูงขึ้นร้อยละ 43 เมื่อเทียบกับพิล์มพอลีแลคติกและไข่ต้มที่ไม่ได้เติมพลาสติกไซเซอร์ ในการทดสอบพิล์มตามในต่กระดาษ 60 แกรม ที่ความเร็วลูกกลิ้งต่ำค่ามอุลติสภารโดยเฉลี่ยน้อยกว่าพิล์มตามในต่ที่ไม่ได้เติมพลาสติกไซเซอร์ เพราะมอุลติสภารมีความสัมพันธ์กับแรงที่กระทำต่อชิ้นงานและระยะการยืด เนื่องจากชิ้นงานที่ใช้ในการทดสอบมีพื้นที่ในการรองรับแรงเท่ากันทุกชิ้นงาน ที่ความเร็วลูกกลิ้งสูงพิล์มตามในต่ที่เติมเอทิลีนไกลคอล 4 %wt โดยเฉลี่ยมีค่ามอุลติสภารเพิ่มขึ้น

ผลการทดสอบสมบัติมอดูลัสสีสภาพยึดหยุ่นกับความเข้มข้นของฟิล์มพอลีแลคติกแอซิต ตามวินิแตะระดับ 80 แกรมที่เติมและไม่เติมพลาสติกไชเซอร์ มีขั้นงานทดสอบชนิดละ 5 ตัวอย่าง ทำการทดสอบตามมาตรฐาน ASTM D 882 ให้ผลการทดลองในตาราง ก.3 (ภาคผนวก ก)

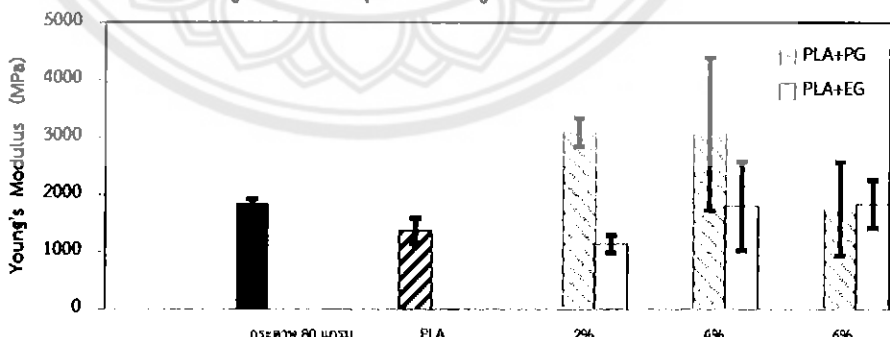
a) มอดูลัสสีสภาพยึดหยุ่น ความเร็วสูงกลึง 150 รอบต่อนาที



b) มอดูลัสสีสภาพยึดหยุ่น ความเร็วสูงกลึง 200 รอบต่อนาที



c) มอดูลัสสีสภาพยึดหยุ่น ความเร็วสูงกลึง 250 รอบต่อนาที



รูปที่ 4.14 กราฟแสดงความสัมพันธ์มอดูลัสสีสภาพยึดหยุ่นกับความเข้มข้นพลาสติกไชเซอร์ของฟิล์ม Laminate ระดับ 80 แกรม a) ความเร็วสูงกลึง 150 รอบต่อนาที b) ความเร็วสูงกลึง 200 รอบต่อนาที c) ความเร็วสูงกลึง 250 รอบต่อนาที

จากรูปที่ 4.14 กราฟแสดงความสัมพันธ์มอตูลัสสภาพยึดหยุ่นกับความเข้มข้นของพลาสติกไชเซอร์ของฟิล์มพอลีแลคติดิคและ Lamini เนต กับกระดาษ 80 แกรม ที่ความเข้มข้น 2 %wt, 4 %wt และ 6 %wt ด้วยความเร็วลูกกลิ้ง 150 รอบต่อนาที 200 รอบต่อนาที และ 250 รอบต่อนาที เมื่อพิจารณาที่ความเร็วลูกกลิ้ง 150 รอบต่อนาที ฟิล์มพอลีแลคติดิคและ Lamini ที่เติมโพร์พลีนไกลคอล และเอทิลีนไกลคอลทุกความเข้มข้น Lamini เนต กับกระดาษ 80 แกรม มีมอตูลัสสภาพยึดหยุ่นเฉลี่ย ใกล้เคียงกับฟิล์มพอลีแลคติดิคและ Lamini ที่เติมโพร์พลีนไกลคอล 2 %wt มีมอตูลัสสภาพยึดหยุ่นเฉลี่ยสูงขึ้นเท่ากับ 2627.68 เมกะปาสคัล สูงขึ้นร้อยละ 14 เมื่อเทียบกับฟิล์ม Lamini เนต ที่ไม่ได้เติมพลาสติกไชเซอร์ ที่ความเร็วลูกกลิ้ง 200 รอบต่อนาที ฟิล์มพอลีแลคติดิคและ Lamini ที่เติมโพร์พลีนไกลคอล และเอทิลีนไกลคอล 4 %wt Lamini เนต กับกระดาษ 80 แกรม มีมอตูลัสสภาพยึดหยุ่นเฉลี่ยเท่ากับ 2243.79 เมกะปาสคัล มีค่าสูงขึ้นประมาณร้อยละ 30 จากฟิล์ม Lamini เนต ที่ไม่ได้เติมพลาสติกไชเซอร์ ที่ความเร็วลูกกลิ้ง 250 รอบต่อนาที ฟิล์มพอลีแลคติดิคและ Lamini ที่เติมโพร์พลีนไกลคอล และเอทิลีนไกลคอลทุกความเข้มข้น Lamini เนต กับกระดาษ 80 แกรม มีมอตูลัสสภาพยึดหยุ่นเฉลี่ยสูงขึ้น เมื่อเทียบกับฟิล์มพอลีแลคติดิคและ Lamini ที่ไม่ได้เติมพลาสติกไชเซอร์ และกระดาษ 80 แกรม จากการทดสอบขั้นงานฟิล์ม Lamini เนต ที่เติมโพร์พลีนไกลคอลทุกความเข้มข้นทำให้มอตูลัสสภาพยึดหยุ่นมีค่าเฉลี่ยสูงขึ้นร้อยละ 33 เมื่อเทียบกับฟิล์ม Lamini เนต ที่ไม่ได้เติมพลาสติกไชเซอร์ เนื่องจากพลาสติกไชเซอร์ ที่เติมเข้าไปแทรกอยู่ระหว่างสายโซ่ของพอลีแลคติดิคและ Lamini ทำให้มอตูลัสสภาพยึดหยุ่นของฟิล์มพอลีแลคติดิคและ Lamini ที่เติมและไม่เติมพลาสติกไชเซอร์ มีความยึดหยุ่นตื้นขึ้น จากผลการทดลองฟิล์ม Lamini เนต กระดาษ 80 แกรม มีค่ามอตูลัสโดยเฉลี่ยเพิ่มขึ้น ที่ความเร็วลูกกลิ้ง 250 รอบต่อนาที ฟิล์ม Lamini เนต ที่เติมพลาสติกไชเซอร์ มีค่ามอตูลัสสภาพยึดหยุ่นได้สูงขึ้น เมื่อเทียบกับฟิล์ม Lamini เนต ที่ไม่ได้เติมพลาสติกไชเซอร์ ที่ความเร็วลูกกลิ้ง สูงมอตูลัสสมมิค่าเพิ่มขึ้นตามปริมาณพลาสติกไชเซอร์ ที่เพิ่มขึ้น เพราะการเติมพลาสติกไชเซอร์ จะช่วยทำงานมีความอ่อนตัวเกิดการเคลื่อนที่ผ่านกันได้ง่ายขึ้น เมื่อทำการเปรียบเทียบค่ามอตูลัสของฟิล์ม Lamini เนต กระดาษ 80 แกรม มีค่ามอตูลัสโดยเฉลี่ยใกล้เคียงกับฟิล์มที่ไม่ได้ Lamini เนต

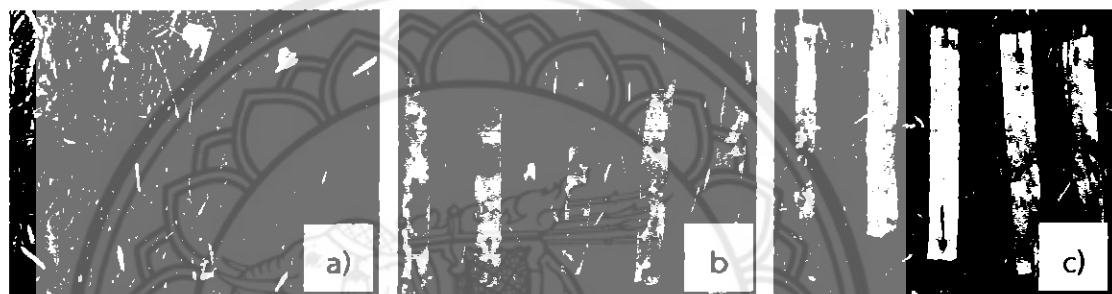
การศึกษาการทดสอบสมบัติทางกลทั้งค่าการหักต่อแรงดึงก่อนขาดสูงสุด ร้อยละการยึดตัวก่อนขาด และค่ามอตูลัสสภาพยึดหยุ่น จากทฤษฎีเบื้องต้นการเติมพลาสติกไชเซอร์ช่วยทำให้สมบัติทางกลมีค่าเพิ่มสูงขึ้น เนื่องจากการเติมพลาสติกไชเซอร์ ที่มีโมเลกุลเล็กกว่าพอลีแลคติดิคและ Lamini ไปแทรกอยู่ระหว่างสายโซ่ จึงทำให้พอลีแลคติดิคและ Lamini มีการเคลื่อนที่ของโมเลกุลในลักษณะผ่านกันได้ง่ายขึ้น

จากสมบัติของพลาสติกไชเซอร์ดังกล่าวจะช่วยให้สมบัติทางกลทั้งค่าการทนต่อแรงดึงก่อนขาดสูงสุด ร้อยละการยึดตัวก่อนขาด และค่ามอตุลลัสสภาพยืดหยุ่นมีค่าเพิ่มสูงขึ้น

จากการทดสอบสมบัติทางกลทั้งค่าการทนต่อแรงดึงก่อนขาดสูงสุด ร้อยละการยึดตัวก่อนขาด และค่ามอตุลลัสสภาพยืดหยุ่นของชิ้นงาน เมื่อพิจารณาที่ความเร็วลูกกลิ้งที่ต่ำเมื่อผลทำให้ความหนาของฟิล์มสูง พิล์มพอลีแลคติกแอซิตที่เติมพลาสติกไชเซอร์มีค่าการทนต่อแรงดึงก่อนขาด และร้อยละการยึดตัวก่อนขาดโดยเฉลี่ยสูงขึ้นส่งผลทำให้มอตุลลัสสภาพยืดหยุ่นมีค่าเพิ่มขึ้นในแนวทาง การขึ้นรูป ส่วนพิล์มพอลีแลคติกแอซิตที่เติมเอทธิลีนไกลคอลในแนวทางการขึ้นรูปมีสมบัติทางกล เพิ่มขึ้น ในขณะที่ความเร็วลูกกลิ้งสูงพิล์มพอลีแลคติกแอซิตที่ไม่ได้เติมพลาสติกไชเซอร์ในแนวทาง การขึ้นรูปมีสมบัติทางกลโดยเฉลี่ยลดลงเมื่อเทียบกับพิล์มพอลีแลคติกแอซิตที่เติมเอทธิลีนไกลคอล เนื่องจากชิ้นงานที่ความเร็วลูกกลิ้งสูงได้มีการรับแรงในขณะทำการขึ้นรูปมากกว่าการขึ้นรูปด้วย ความเร็วของลูกกลิ้งที่ต่ำ ส่งผลให้มีอ่อนน้ำชิ้นงานไปทำการทดสอบจึงเป็นการเพิ่มแรงให้กับชิ้นงานทำ ให้สมบัติทางกลของพิล์มพอลีแลคติกแอซิตในแนวทางการขึ้นรูปมีค่าน้อยกว่าในแนวทางการขึ้นรูป เมื่อพิจารณาสมบัติเชิงกลของพิล์มลามิเนตกระดาษ 60 และ 80 แกรม มีค่าโดยเฉลี่ยลดลงเมื่อเทียบ กับฟิล์มที่ไม่ได้ลามิเนต ส่งผลให้สมบัติทางกลโดยเฉลี่ยลดลง โดยมีค่าสมบัติเชิงกลอยู่ระหว่างกระดาษ และฟิล์มที่ไม่ได้ลามิเนต เนื่องจากสมบัติเชิงกลของกระดาษมีค่ามากกว่าฟิล์มที่ไม่ได้ลามิเนตเมื่อ นำมาใช้เด็กันโดยการลามิเนตจึงทำให้มีค่าสมบัติเชิงกลของพิล์มลามิเนตอยู่ระหว่างวัสดุทั้งสอง ชนิดดังกล่าว

4.4 ผลการทดสอบสมบัติการย่ออิสไล

การทดสอบสมบัติการย่ออิสไลของฟิล์มพอลีแลคติกแอชิตที่ไม่ได้เติมพลาสติกใช้เชอร์กับฟิล์มพอลีแลคติกแอชิตที่เติมเอทิลีนไกลโคลและโพร์ฟลีนไกลโคล ปริมาณ 2 %wt, 4 %wt และ 6 %wt ที่ด้วยความเร็วถูกกลึง 150 รอบต่อนาที 200 รอบต่อนาที และ 250 รอบต่อนาที ที่ไม่ลามิเนตและลามิเนตกระดาษ 60 แกรม โดยขั้นตอนทดสอบแต่ละสูตรมีจำนวนขั้นงานสูตรละ 5 ชั้น ทำการทดสอบตามมาตรฐาน ASTM D 5338 โดยนำขั้นงานทดสอบไปฝังกลบดินดูลักษณะที่เปลี่ยนแปลงไปของฟิล์ม เมื่อระยะเวลาไป 8 สัปดาห์ ดังรูป



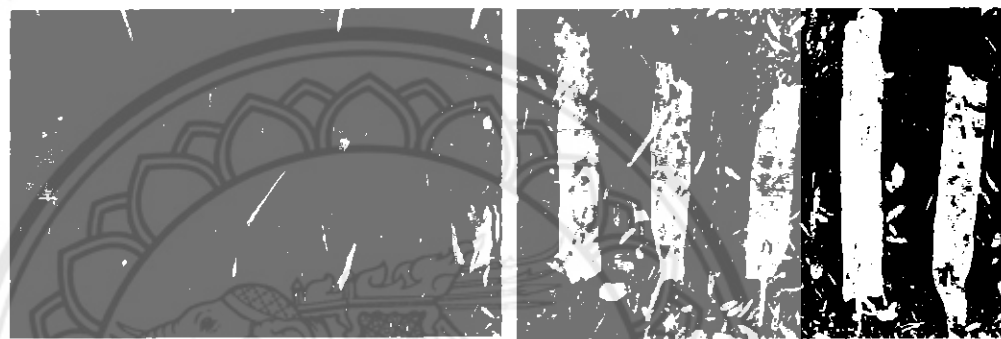
รูปที่ 4.15 ผลการย่ออิสไลของฟิล์มพอลีแลคติกแอชิตที่อัตราส่วนต่างๆ เมื่อระยะเวลาผ่านไป
a) 0 สัปดาห์ b) 4 สัปดาห์ และ c) 8 สัปดาห์



รูปที่ 4.16 ผลการย่ออิสไลของฟิล์มพอลีแลคติกแอชิตที่อัตราส่วนต่างๆ ลามิเนตกระดาษ 60 แกรม เมื่อระยะเวลาผ่านไป a) 0 สัปดาห์ b) 4 สัปดาห์ และ c) 8 สัปดาห์

4.4.1 ผลการทดสอบการย่อยสลายของฟิล์มพอลีแลคติกแอชิตที่ไม่ได้لامิเนต

จากการทดสอบสมบัติการย่อยสลายจากรูปร่างลักษณะที่เปลี่ยนแปลงของฟิล์มพอลีแลคติกแอชิตที่ไม่ได้เติมพลาสติกไซเซอร์กับฟิล์มพอลีแลคติกแอชิตที่เติมเอทิลีนไกลโคลและโพร์พีลีนไกลโคล 2 %wt, 4 %wt และ 6 %wt โดยแยกพิจารณาตามความเร็วรอบของการขึ้นรูปฟิล์ม คือ ความเร็วลูกกลิ้ง 150 รอบต่อนาที 200 รอบต่อนาที และ 250 รอบต่อนาที พบว่าที่ความเร็วลูกกลิ้ง 150 รอบต่อนาที ฟิล์มพอลีแลคติกแอชิตที่เติมโพร์พีลีนไกลโคล



a) 0 สัปดาห์

b) 8 สัปดาห์

รูปที่ 4.17 ภาพเปรียบเทียบฟิล์มพอลีแลคติกแอชิตกับโพร์พีลีนไกลโคล 2 %wt
ความเร็วลูกกลิ้ง 150 รอบต่อนาที เมื่อระยะเวลาผ่านไป 8 สัปดาห์

ผลการย่อยสลายของฟิล์มพอลีแลคติกแอชิตเมื่อระยะเวลาผ่านไป 8 สัปดาห์ พบว่าฟิล์มพอลีแลคติกแอชิตที่เติมโพร์พีลีนไกลโคล 2 %wt มีลักษณะที่เปลี่ยนแปลงไปมากที่สุด ซึ่งเห็นได้ จากรูปที่ 4.17 โดยคิดเป็นร้อยละการสูญเสียน้ำหนักเท่ากับ 57.18 %wt เมื่อเทียบกับฟิล์มพอลีแลคติกแอชิตที่ไม่ได้เติมพลาสติกไซเซอร์ที่ความเร็วรอบเดียวกันและคิดเป็นร้อยละการสูญเสียน้ำหนักเท่ากับ 37.82 %wt เมื่อเทียบกับฟิล์มพอลีแลคติกแอชิตที่เติมโพร์พีลีนไกลโคล 2 %wt ที่ไม่ได้ผงดิน ดังตารางที่ 4.1

ตารางที่ 4.1 ตารางเปรียบเทียบน้ำหนักที่สูญเสียเฉลี่ยของพิล์มพอลีแลคติกแอชิตที่ไม่ได้
สามิเนตฟังดิน ระยะเวลาผ่านไป 8 สัปดาห์ ความเร็วถูกกลั้ง 150 รอบต่อ
นาที ผลการทดลองในตาราง ข.1 (ภาคผนวก ข)

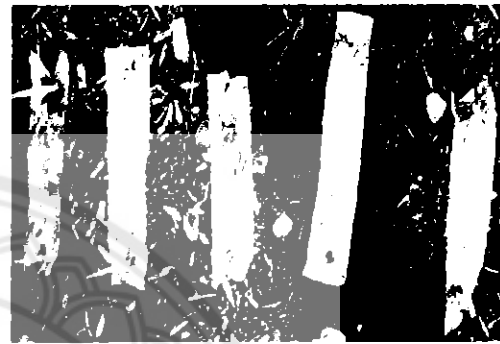
พิล์ม	ร้อยละการสูญเสียน้ำหนัก (%)		S.D.	
	เทียบระหว่างพิล์มที่ฝัง ดินกับไม่ได้ฝังดิน	เทียบกับพิล์ม พอลีแลคติกแอชิตที่ฝังดิน	ไม่ได้ฝังดิน	ฝังดิน
PLA	19.62	-	0.0145	0.0181
PLA+PG 2%	37.82	57.18	0.0026	0.0031
PLA+PG 4%	13.12	44.63	0.0041	0.0109
PLA+PG 6%	47.18	14.10	0.0119	0.0131
PLA+EG 2%	3.97	78.82	0.0121	0.0069
PLA+EG 4%	2.20	50.94	0.0101	0.0077
PLA+EG 6%	22.78	32.26	0.0061	0.0212

จากตารางที่ 4.1 พบว่าพิล์มพอลีแลคติกแอชิตที่เติมโพลีลีนไกลคอล 2 %wt ที่ฝังดิน มีร้อยละการสูญเสียน้ำหนักเท่ากับ 57.18 %wt เมื่อเทียบกับพิล์มพอลีแลคติกแอชิตที่ไม่ได้เติม พลาสติกไไซเซอร์ที่ความเร็วรอบการขึ้นรูปเดียวกัน และคิดเป็นร้อยละการสูญเสียน้ำหนักเท่ากับ 37.82 %wt เมื่อเทียบกับพิล์มพอลีแลคติกแอชิตที่เติมโพลีลีนไกลคอล 2 %wt ที่ไม่ได้ฝังดิน แต่ จากผลการทดลองตารางที่ 4.1 เมื่อการเปรียบเทียบการสูญเสียน้ำหนักของพิล์มที่นำไปฝังดินระหว่าง พิล์มพอลีแลคติกแอชิตที่ไม่ได้เติมกับพิล์มพอลีแลคติกแอชิตที่เติมพลาสติกไไซเซอร์ พบว่าพิล์ม พอลีแลคติกที่เติมเอทิลีนไกลคอล 2 %wt มีร้อยละการสูญเสียน้ำหนักมากที่สุดคิดเป็นร้อยละมีค่า เท่ากับ 78.82 %wt เนื่องจากการเติมพลาสติกไไซเซอร์จะช่วยทำให้สายโซ่พอลิเมอร์สามารถเคลื่อนที่ ได้มากขึ้น พลาสติกไไซเซอร์เป็นสารโมเลกุลเล็กจะเข้าไปอยู่ระหว่างสายโซ่พอลิเมอร์ทำให้ระหว่างสาย โซ่พอลิเมอร์มีช่องว่างเกิดขึ้น เมื่อนำขึ้นงานไปฝังกลบใต้ดินซึ่งประกอบด้วยน้ำและความชื้น ช่องว่าง ระหว่างสายโซ่พอลิเมอร์ทำให้น้ำและความชื้นสามารถเข้าไปภายใต้สายโซ่พอลิเมอร์ทำให้เกิดการย่อยสลายและร้อย ละการสูญเสียมากขึ้นเมื่อเทียบกับพิล์มพอลีแลคติกแอชิตที่ไม่ได้เติมพลาสติกไไซเซอร์

จากการทดสอบสมบัติการย่อยสลายจากปร่างลักษณะที่เปลี่ยนแปลงของพิล์ม พอลีแลคติกแอชิตที่ไม่ได้เติมพลาสติกไซเซอร์กับพิล์มพอลีแลคติกแอชิตที่เติมเอทีสีนไกลคอลและ โพรฟีลีนไกลคอล 2 %wt, 4 %wt และ 6 %wt โดยพิจารณาตามความเร็วของเรืองของรูปพิล์ม ความเร็วถูกกลึง 200 รอบต่อนาที รอบต่อนาที



a) 0 สัปดาห์



b) 8 สัปดาห์

รูปที่ 4.18 ภาพเปรียบเทียบพิล์มพอลีแลคติกแอชิตกับโพรฟีลีนไกลคอล 2 %wt

ความเร็วถูกกลึง 200 รอบต่อนาที เมื่อระยะเวลาผ่านไป 8 สัปดาห์

ตารางที่ 4.2 ตารางเปรียบเทียบน้ำหนักที่สูญเสียเฉลี่ยของพิล์มพอลีแลคติกแอชิตที่ไม่ได้ ตามเงื่อนไข ระยะเวลาผ่านไป 8 สัปดาห์ที่ความเร็วถูกกลึง 200 รอบต่อ นาที ผลการทดลองในตาราง ข.1 (ภาคผนวก ข)

พิล์ม	ร้อยละการสูญเสียน้ำหนัก (%)		S.D.	
	เทียบระหว่างพิล์มที่ผ่าน ดินกับไม่ได้ผ่านดิน	เทียบกับพิล์ม พอลีแลคติกแอชิตที่ผ่านดิน	ไม่ได้ผ่านดิน	ผ่านดิน
PLA	8.53	-	0.0168	0.0187
PLA+PG 2%	14.20	31.86	0.0067	0.0084
PLA+PG 4%	3.51	12.82	0.0067	0.0109
PLA+PG 6%	16.03	15.15	0.0455	0.0202
PLA+EG 2%	1.41	0.35	0.0072	0.0036
PLA+EG 4%	8.30	16.80	0.0048	0.0075
PLA+EG 6%	3.57	17.59	0.0048	0.0080

ผลการย่อยสลายของฟิล์มพอลีแลคติกแอชิตที่เติมและไม่เติมพลาสติกไชเซอร์เมื่อระยะเวลาผ่านไป 8 สัปดาห์ ฟิล์มพอลีแลคติกแอชิตที่เติมโพลีไกลคอล 2 %wt มีลักษณะทางกายภาพเปลี่ยนแปลงมากที่สุด ซึ่งเห็นได้จากรูปที่ 4.18 และจากตารางที่ 4.2 พบว่าฟิล์มพอลีแลคติกแอชิตที่เติมโพลีไกลคอล 2 %wt ที่ผังดินมีร้อยละการสูญเสียน้ำหนักเท่ากับ 31.86 %wt เมื่อเทียบกับฟิล์มพอลีแลคติกแอชิตที่ไม่ได้เติมพลาสติกไชเซอร์ที่ความเร็วถูกกลึงเดียวกัน และคิดเป็นร้อยละการสูญเสียน้ำหนักเท่ากับ 14.20 %wt เมื่อเปรียบเทียบกับฟิล์มพอลีแลคติกแอชิตที่เติมโพลีไกลคอล 2 %wt ที่ไม่ได้ผังดินแต่จากการทดลองตารางที่ 4.1 เมื่อเทียบการสูญเสียน้ำหนักของฟิล์มที่นำไปผังดินระหว่างฟิล์มพอลีแลคติกแอชิตที่ไม่ได้เติมกับฟิล์มพอลีแลคติกแอชิตที่เติมพลาสติกไชเซอร์ พบร้าฟิล์มพอลีแลคติกที่เติมโพลีไกลคอล 6 %wt มีร้อยละการสูญเสียน้ำหนักมากที่สุด คิดเป็นร้อยละมีค่าเท่ากับ 16.03 %wt เนื่องจาก ลักษณะโครงสร้างของโพลีไกลคอลมีสภาพการมีข้าว จึงทำให้มีความชอบน้ำสูงกว่าพลาสติกไชเซอร์ที่เป็นสายโซ่ตรง ดังนั้น เมื่อเติมพลาสติกไชเซอร์ปริมาณสูงจะทำให้พลาสติกไชเซอร์เข้าไปอยู่ระหว่างสายโซ่พอลิเมอร์จำนวนมาก ทำให้ภายในพอลิเมอร์เกิดพื้นที่ว่างระหว่างสายโซ่พอลิเมอร์จำนวนมากขึ้น ดังนั้นมีน้ำและความชื้นจึงทำให้เกิดการย่อยสลายได้มากขึ้น เมื่อเปรียบเทียบกับฟิล์มพอลีแลคติกแอชิตที่ไม่ได้เติมพลาสติกไชเซอร์

จากการทดสอบสมบัติการย่อยสลายจากรูปร่างลักษณะที่เปลี่ยนแปลงของฟิล์มพอลีแลคติกแอชิตที่ไม่ได้เติมพลาสติกไชเซอร์ กับฟิล์มพอลีแลคติกแอชิตที่เติมเอทิลีนไกลคอลและโพลีไกลคอล 2 %wt, 4 %wt และ 6 %wt โดยพิจารณาตามความเร็วรอบของ การขึ้นรูปฟิล์ม ความเร็วถูกกลึง 250 รอบต่อนาที ระยะเวลา 0 สัปดาห์กับ 8 สัปดาห์



a) 0 สัปดาห์

b) 8 สัปดาห์

รูปที่ 4.19 ภาพเปรียบเทียบพิล์มพอลีแลคติกแอชิตกับเอทิลีนไกลคอล 6 %wt

ความเร็วถูกกลึง 250 รอบต่อนาที ระยะเวลา 0 สัปดาห์กับ 8 สัปดาห์

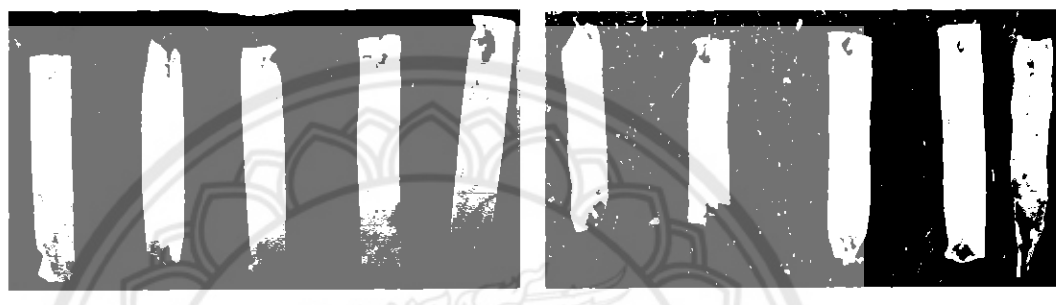
ตารางที่ 4.3 ตารางเปรียบเทียบน้ำหนักที่สูญเสียเฉลี่ยของพิล์มพอลีแลคติกแอชิตที่ไม่ได้
ลายมินต์ฝังดิน ระยะเวลาผ่านไป 8 สัปดาห์ ที่ความเร็วอุ่นกลึง 250
รอบต่อนาที ผลการทดลองในตาราง ข.1 (ภาคผนวก ข)

พิล์ม	ร้อยละการสูญเสียน้ำหนัก (%)		S.D.	
	เทียบระหว่างพิล์มที่ฝัง ดินกับไม่ได้ฝังดิน	เทียบกับพิล์ม พอลีแลคติกแอชิตที่ฝังดิน	ไม่ได้ฝังดิน	ฝังดิน
PLA	11.05	-	0.0128	0.0124
PLA+PG 2%	15.75	8.33	0.0135	0.0236
PLA+PG 4%	1.24	27.26	0.0155	0.0110
PLA+PG 6%	12.66	24.69	0.0162	0.0078
PLA+EG 2%	13.74	13.24	0.0143	0.0112
PLA+EG 4%	8.11	23.17	0.0082	0.0053
PLA+EG 6%	40.93	37.73	0.0107	0.0047

ผลการย่อยสลายของพิล์มพอลีแลคติกแอชิตเมื่อระยะเวลาผ่านไป 8 สัปดาห์ พิล์ม
พอลีแลคติกแอชิตที่เติมเออทีลีนไกลคอล 6 %wt มีลักษณะทางกายภาพเปลี่ยนแปลงมากที่สุด ซึ่งเห็น
ได้จากรูปที่ 4.19 และจากตารางที่ 4.3 พบว่า พิล์มพอลีแลคติกแอชิตที่เติมเออทีลีนไกลคอล 6 %wt
ที่ฝังดินมีร้อยละการสูญเสียน้ำหนักเท่ากับ 37.73 %wt เมื่อเทียบกับพิล์มพอลีแลคติกแอชิตที่ไม่ได้
เติมพลาสติกไขเซอร์ที่ความเร็วเดียวกันและคิดเป็นร้อยละการสูญเสียน้ำหนักเท่ากับ 40.93 %wt
เมื่อเทียบกับพิล์มพอลีแลคติกแอชิตที่เติมเออทีลีนไกลคอล 6 %wt ที่ไม่ได้ฝังดินพิล์มที่มีลักษณะทาง
กายภาพเปลี่ยนแปลงมากที่สุดและมีความสอดคล้องกับตารางเปรียบเทียบว้อยละการสูญเสียน้ำหนัก
ดังนั้น พิล์มพอลีแลคติกแอชิตที่เติมเออทีลีนไกลคอล 6 %wt มีการย่อยสลายดีที่สุด ลักษณะโครงสร้าง
ของโพลีเอทีลีนไกลคอลมีความชอบน้ำมากกว่าเออทีลีนไกลคอลทำให้ย่อยสลายได้มากกว่า จากผลการ
ทดลองพิล์มพอลีแลคติกแอชิตที่เติมเออทีลีนไกลคอลมีการสูญเสียน้ำหนักมากกว่า เนื่องจากการเติม
เออทีลีนไกลคอลในปริมาณสูงสุด คือ 6 %wt ทำให้ซ่องว่างระหว่างสายโซ่พอลิเมอร์มีปริมาณมากกว่า
บริเวณที่ใช้ในการฝังชิ้นงานมีความซึ้นมากกว่าบริเวณอื่น ทำให้มีการปริมาณความชื้นเข้าไปในชิ้นงาน
จำนวนมาก ดังนั้น พิล์มพอลีแลคติกแอชิตที่เติมเออทีลีนไกลคอล 6 %wt จึงมีการย่อยสลายและ
สูญเสียน้ำหนักมากที่สุด

4.4.2 ผลการทดสอบการย่อยสลายของฟิล์มพอลีแลคติกแอชิตلامิเนตกระดาษ 60 แกรม

การทดสอบสมบัติการย่อยสลายของฟิล์มพอลีแลคติกแอชิตที่ไม่ได้เติมพลาสติกไชเซอร์ ฟิล์มพอลีแลคติกแอชิตที่เติมเอทิลีนไกลคอลและโพร์พีลีนไกลคอลปริมาณ 2 %wt, 4 %wt และ 6 %wt ที่ความเร็วสูงกลิ้ง 150 รอบต่อนาที 200 รอบต่อนาที และ 250 รอบต่อนาที นำไป试验ในกระดาษ 60 แกรม โดยแยกพิจารณาในแต่ละความเร็วรอบ ที่ความเร็วสูงกลิ้ง 150 รอบต่อนาที พบร้า



a) 0 สัปดาห์

b) 8 สัปดาห์

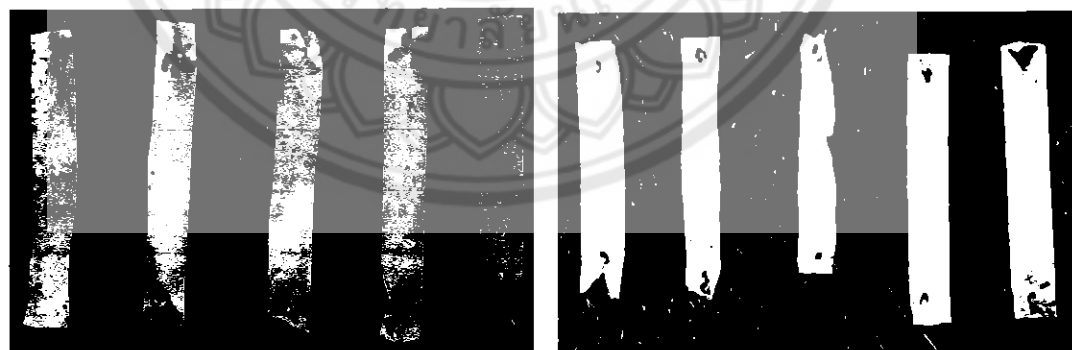
รูปที่ 4.20 ภาพเปรียบเทียบฟิล์มพอลีแลคติกแอชิตกับโพร์พีลีนไกลคอล 2 %wt สามิเนต กระดาษ 60 แกรม ความเร็วสูงกลิ้ง 150 rpm เมื่อระยะเวลาผ่านไป 8 สัปดาห์

ตารางที่ 4.4 ตารางเปรียบเทียบน้ำหนักที่สูญเสียเฉลี่ยของฟิล์มพอลีแลคติกแอชิตที่สามิเนต กระดาษ 60 แกรม ผังดินเมื่อระยะเวลาผ่านไป 8 สัปดาห์ ที่ความเร็วสูงกลิ้ง 150 รอบต่อนาที ผลการทดลองในตาราง ข.2 (ภาคผนวก ข)

ฟิล์ม	ร้อยละการสูญเสียน้ำหนัก (%)		S.D.	
	เทียบระหว่างฟิล์มที่ผังดินกับไม้ฝังดิน	เทียบกับฟิล์มพอลีแลคติกแอชิตที่ฝังดิน	ไม้ฝังดิน	ฝังดิน
PLA	18.98	-	0.0421	0.0340
PLA+PG 2%	49.33	36.60	0.0179	0.0141
PLA+PG 4%	8.05	15.71	0.0029	0.0191
PLA+PG 6%	2.35	20.87	0.0135	0.0098
PLA+EG 2%	5.14	16.98	0.0076	0.0135
PLA+EG 4%	17.89	2.62	0.0059	0.0203
PLA+EG 6%	20.32	2.54	0.0130	0.0209

ผลการย่อสลายของพิล์มพอลีแลคติกแอชิตามิเนตกราดาย 60 แกรม เมื่อระยะเวลาผ่านไป 8 สัปดาห์ พิล์มพอลีแลคติกแอชิตามิเนตกราดาย 60 แกรม ที่เติมโพร์พีลีนไกลคอล 2 %wt มีลักษณะทางกายภาพที่เปลี่ยนแปลงไปมากที่สุด จากรูปที่ 4.20 และจากตารางที่ 4.4 พิล์มพอลีแลคติกแอชิตามิเนตกราดาย 60 แกรมที่เติมโพร์พีลีนไกลคอล 2 %wt ที่ผ่านดินมีร้อยละการสูญเสียน้ำหนักเท่ากับ 36.60 %wt เมื่อเทียบกับพิล์มพอลีแลคติกแอชิตามิเนตกราดาย 60 แกรม ที่ไม่ได้เติมพลาสติกใช้เชื้อร์ที่ความเร็วลูกกลิ้งเดียวัน และคิดเป็นร้อยละการสูญเสียน้ำหนักเท่ากับ 49.33 %wt เมื่อเทียบกับพิล์มพอลีแลคติกแอชิตามิเนตกราดาย 60 แกรมที่เติมโพร์พีลีนไกลคอล 2 %wt ที่ไม่ได้ผ่านดินจากผลการทดลองการสูญเสียน้ำหนักกับลักษณะทางกายภาพของพิล์มพอลีแลคติกแอชิตามิเนตกราดาย 60 แกรม ที่เติมโพร์พีลีนไกลคอล 2 %wt ที่มีการย่อสลายมากที่สุด เนื่องจากกราดายที่ใช้ในการลามินต้มมีความบาง เมื่อมีน้ำและความชื้นทำให้สามารถคงเก็บน้ำแล้วเกิดการย่อสลายได้ นอกจานี้โพร์พีลีนไกลคอลมีสมบัติในการซ่อนน้ำมากกว่าเอทิลีนไกลคอลการเติมพลาสติก-ใช้เชื้อร์ทำให้เกิดซ่องว่างระหว่างสายโซ่พอลิเมอร์ทำให้พอลิเมอร์มีความยืดหยุ่นได้ดีขึ้น ซ่องว่างที่เกิดขึ้นส่งผลให้น้ำและความชื้นเข้าไปทำปฏิกิริยาทำให้เกิดการสูญเสียน้ำหนักมากขึ้น

ผลการทดสอบสมบัติการย่อสลายของพิล์มพอลีแลคติกแอชิตที่ไม่ได้เติมพลาสติกใช้เชื้อร์ กับพิล์มพอลีแลคติกแอชิตที่เติมเอทิลีนไกลคอลและโพร์พีลีนไกลคอล ปริมาณ 2 %wt 4 %wt และ 6 %wt ที่ความเร็วลูกกลิ้ง 200 รอบต่อนาที นำไปลามินเนตกราดาย 60 แกรม



a) 0 สัปดาห์

b) 8 สัปดาห์

รูปที่ 4.21 ภาพเปรียบเทียบพิล์มพอลีแลคติกแอชิตกับโพร์พีลีนไกลคอล 2 %wt ลามินเนตกราดาย 60 แกรม ความเร็วลูกกลิ้ง 200 รอบต่อนาที เป็นระยะเวลา 8 สัปดาห์

ตารางที่ 4.5 ตารางเปรียบเทียบน้ำหนักที่สูญเสียเฉลี่ยของพิล์มพอลีแลคติกแอชิตที่
 lamini เนตกระดาษ 60 แกรม ผังดินเมื่อระยะเวลาผ่านไป 8 สัปดาห์ ที่ความเร็ว
 ลูกกลิ้ง 200 รอบต่อนาที ผลการทดลองในตาราง ข.2 (ภาคผนวก ข)

พิล์ม	ร้อยละการสูญเสียน้ำหนัก (%)		S.D.	
	เทียบระหว่างพิล์มที่ผัง ดินกับไม่ได้ผังดิน	เทียบกับพิล์ม พอลีแลคติกแอชิตที่ผังดิน	ไม่ได้ผังดิน	ผังดิน
PLA	4.43	-	0.0296	0.0103
PLA+PG 2%	35.09	30.71	0.0136	0.0121
PLA+PG 4%	12.85	3.52	0.0052	0.0077
PLA+PG 6%	5.66	1.48	0.0093	0.0204
PLA+EG 2%	33.53	23.33	0.0036	0.0068
PLA+EG 4%	34.82	24.66	0.0144	0.0226
PLA+EG 6%	14.28	7.66	0.0055	0.0305

ผลการย่อยสลายของพิล์มพอลีแลคติกแอชิต lamini เนตกระดาษ 60 แกรม เมื่อระยะเวลาผ่านไป 8 สัปดาห์ พิล์มพอลีแลคติกแอชิต lamini เนตกระดาษ 60 แกรมที่เติมโพลีลีนไกลคอล 2 %wt มีลักษณะทางกายภาพที่เปลี่ยนแปลงไปมากที่สุด จากรูปที่ 4.21 และจากตารางที่ 4.5 พบว่า พิล์มพอลีแลคติกแอชิต lamini เนตกระดาษ 60 แกรม ที่เติมโพลีลีนไกลคอล 2 %wt ที่ผังดินมีร้อยละการสูญเสียน้ำหนักเท่ากับ 30.71 %wt เมื่อเทียบกับพิล์มพอลีแลคติกแอชิต lamini เนตกระดาษ 60 แกรม ที่ไม่ได้เติมพลาสติกไซเซอร์ที่ความเร็วลูกกลิ้งเดียวกัน และคิดเป็นร้อยละการสูญเสียน้ำหนักเท่ากับ 35.09 %wt เมื่อเทียบกับพิล์มพอลีแลคติกแอชิต lamini เนตกระดาษ 60 แกรม ที่เติมโพลีลีนไกลคอล 2 %wt ที่ไม่ได้ผังดินจากผลการทดลองตารางที่ 4.4 และรูปที่ 4.20 มีร้อยละการสูญเสียน้ำหนักกับลักษณะทางกายภาพของพิล์มพอลีแลคติกแอชิต lamini เนตกระดาษ 60 แกรม ที่เติมโพลีลีนไกลคอล 2 %wt มีการย่อยสลายได้ดีที่สุด เนื่องจากโพลีลีนไกลคอลมีสมบัติในการขอบน้ำมากกว่าเอทิลีนไกลคอลการเติมพลาสติกไซเซอร์ทำให้เกิดช่องว่างระหว่างสายโซ่พอลิเมอร์ทำให้พอลิเมอร์มีความยืดหยุ่นได้ดีขึ้น ซึ่งว่างที่เกิดขึ้นส่งผลให้น้ำและความชื้นเข้าไปทำปฏิกิริยาทำให้เกิดการสูญเสียน้ำหนักมากขึ้น นอกจากนี้กระดาษที่ใช้ในการ lamini สามารถเก็บน้ำแล้วเกิดการย่อยสลายได้อีกด้วย

ผลการทดสอบสมบัติการย่อยสลายของพิล์มพอลีแลคติกแอชิตที่ไม่ได้เติมพลาสติกใช้เชอร์กับพิล์มพอลีแลคติกแอชิตที่เติมเอทธิลีนไกลโคลและโพร์ฟีลีนไกลโคล ปริมาณ 2 %wt, 4 %wt และ 6 %wt ที่ความเร็วลูกลิ้ง 250 รอบต่อนาที นำไป laminate กระดาษ 60 แกรม



a) 0 สัปดาห์

b) 8 สัปดาห์

รูปที่ 4.22 ภาพเปรียบเทียบพิล์มพอลีแลคติกกับเอทธิลีนไกลโคล 6 %wt laminate
กระดาษ 60 แกรม ความเร็วลูกลิ้ง 250 rpm เมื่อระยะเวลาผ่านไป 8 สัปดาห์

ตารางที่ 4.6 ตารางเปรียบเทียบน้ำหนักที่สูญเสียเฉลี่ยของพิล์มพอลีแลคติกแอชิตที่ laminate
กระดาษ 60 แกรม ฝังดินเมื่อระยะเวลาผ่านไป 8 สัปดาห์ ที่ความเร็ว
ลูกลิ้ง 250 รอบต่อนาทีผลการทดลองในตาราง ข.2 (ภาคผนวก ข)

พิล์ม	ร้อยละการสูญเสียน้ำหนัก (%)		S.D.	
	เทียบระหว่างพิล์มที่ฝัง ดินกับไม่ได้ฝังดิน	เทียบกับพิล์ม พอลีแลคติกแอชิตที่ฝังดิน	ไม่ได้ฝังดิน	ฝังดิน
PLA	23.21	-	0.0036	0.0105
PLA+PG 2%	13.57	3.37	0.0029	0.0137
PLA+PG 4%	30.79	11.14	0.0251	0.0126
PLA+PG 6%	7.79	24.98	0.0020	0.0135
PLA+EG 2%	0.11	28.73	0.0117	0.0085
PLA+EG 4%	16.12	17.44	0.0023	0.0220
PLA+EG 6%	47.62	27.77	0.0052	0.0094

ผลการย่อยสลายของพิล์มพอลีแลคติกแอชิตามิเนตกราดาย 60 แกรม เมื่อระยะเวลาผ่านไป 8 สัปดาห์ พิล์มพอลีแลคติกแอชิตที่เติมเอทิลีนไกลคอล 6 %wt ลามิเนตกราดาย 60 แกรม มีลักษณะทางกายภาพที่เปลี่ยนแปลงไปมากที่สุด จากรูปที่ 4.22 และจากตารางที่ 4.6 พบว่าพิล์มพอลีแลคติกแอชิตามิเนตกราดาย 60 แกรมที่เติมเอทิลีนไกลคอล 2 %wt ที่ผ่านดินมีร้อยละการสูญเสียน้ำหนักเท่ากับ 28.73 %wt เมื่อเทียบกับพิล์มพอลีแลคติกแอชิตามิเนตกราดาย 60 แกรมที่ไม่ได้เติมพลาสติกใช้เชอร์ที่ความเร็วสูงลิ้งเดียวกัน และคิดเป็นร้อยละการสูญเสียน้ำหนักเท่ากับ 0.11 %wt เมื่อเทียบกับพิล์มพอลีแลคติกที่เติมโพร์พลีนไกลคอล 2 %wt ลามิเนตกราดาย 60 แกรม แต่จากการทดลองตารางที่ 4.6 ถ้าทำการเปรียบเทียบการสูญเสียน้ำหนักของพิล์มที่นำไปผ่านดินระหว่างพิล์มพอลีแลคติกแอชิตที่ไม่ได้เติมกับพิล์มพอลีแลคติกแอชิตที่เติมพลาสติกใช้เชอร์ พบร่วมกัน 47.62 %wt เมื่อเทียบกับพิล์มพอลีแลคติกที่เติมเอทิลีนไกลคอลในปริมาณสูง ทำให้พลาสติกใช้เชอร์เข้าไปอยู่ระหว่างส่ายโซ่พอลิเมอร์ทำให้เกิดข่องว่างระหว่างส่ายโซ่พอลิเมอร์จำนวนมาก ทำให้เกิดการย่อยสลายได้มาก เนื่องจากบริเวณในการฝังกลบขึ้นงานมีปริมาณความชื้นมากกว่าทำให้มีการกัดกีบเน้นปริมาณสูงหรือการยึดติดกันระหว่างกระดาษกับพิล์มมีปริมาณการที่น้อยกว่า ทำให้ขึ้นงานมีความหนาน้อย ส่งผลทำให้ขึ้นงานที่เติมเอทิลีนไกลคอลมีการสูญเสียน้ำหนักมากที่สุด

จากการทดลองสมบัติทางกลพบร่วมกับพิล์มพอลีแลคติกแอชิตที่เติมเอทิลีนไกลคอลทำให้สมบัติทางกลดีขึ้นเมื่อเทียบกับพิล์มพอลีแลคติกแอชิตที่ไม่ได้เติมพลาสติกใช้เชอร์ เมื่อพิจารณาสมบัติการย่อยสลายทั้งการสูญเสียน้ำหนักและลักษณะการเปลี่ยนแปลงทางกายภาพว่าพิล์มพอลีแลคติกแอชิตที่เติมโพร์พลีนไกลคอลจะมีการย่อยสลายได้ดี เพราะโพร์พลีนไกลคอลมีความชอบน้ำมากกว่าพิล์มพอลีแลคติกแอชิตที่เติมเอทิลีนไกลคอล ซึ่งขึ้นงานที่ดูดซึมน้ำได้มากจะเกิดการสูญเสียน้ำหนักได้มาก จากการทดลองสมบัติทางกลและสมบัติทางการย่อยสลายพลาสติกใช้เชอร์ที่มีความเหมะสำหรับการนำไปใช้งาน คือ เอทิลีนไกลคอล เมื่อจากการทดลองต้องการปรับปรุงสมบัติทางกลของพอลีแลคติกแอชิตให้มีค่าเพิ่มขึ้น ซึ่งในการทดลองพิล์มพอลีแลคติกแอชิตที่โพร์พลีนไกลคอลมีสมบัติการย่อยสลายได้ดีกว่าการเติมเอทิลีนไกลคอล แต่เนื่องจากการย่อยสลายของพิล์มที่เติมเอทิลีนไกลคอลยังมีค่ามากเมื่อเทียบกับพิล์มพอลีแลคติกแอชิตที่ไม่ได้เติมพลาสติกใช้เชอร์ สมบัติทางกลของขึ้นงานมีค่ามากไม่ได้ส่งผลต่อสมบัติทางการย่อยสลาย เพราะการย่อยสลายจะขึ้นอยู่กับชนิดของพิล์มที่มีความชอบน้ำเมื่อน้ำเข้าไปแทรกอยู่ในพิล์มมากจะทำให้เกิดการสูญเสียน้ำหนักเพิ่มขึ้น

บทที่ 5

บทสรุปและข้อเสนอแนะ

5.1 สรุปผลการทดลอง

5.1.1 การศึกษาผลของพลาสติกไชเซอร์ทั้ง 2 ชนิด คือ เอทิลีนไกลคอลและโพร์พีลีนไกลคอลที่มีผลต่อสมบัติของฟิล์มพอลีแลคติกแอชิต เนื่องจากพอลีแลคติกแอชิตหลอมเหลวที่อุณหภูมิ 210 องศาเซลเซียส ตั้งนั้นการเลือกสภาวะที่เหมาะสมกับการขึ้นรูปฟิล์มพอลีแลคติกแอชิตจะต้องไม่ให้เกินอุณหภูมิหลอมเหลว ครั้งแรกในการขึ้นรูปได้ตั้งค่าอุณหภูมิที่ 190 องศาเซลเซียส ผลการทดลองไม่สามารถขึ้นรูปฟิล์มได้เนื่องจากพอลีแลคติกแอชิตเกิดการหลอมละลาย จึงลดอุณหภูมิที่ 170 องศาเซลเซียส พนบว้ายังไม่สามารถขึ้นรูปฟิล์มพอลีแลคติกแอชิตได้จึงทำการเปลี่ยนอุณหภูมิเป็น 160 องศาเซลเซียส ซึ่งอุณหภูมิมีความเหมาะสมในการขึ้นรูปฟิล์ม โดยความเร็วรอบของสกรู 100 รอบต่อนาที ทำการปรับเปลี่ยนความเร็วลูกกลิ้งของการดึงฟิล์ม 150 รอบต่อนาที 200 รอบต่อนาที และ 250 รอบต่อนาที ซึ่งจะส่งผลต่อความหนาของฟิล์มพอลีแลคติกแอชิต ทำให้ฟิล์มมีความหนาเฉลี่ย 0.05 มิลลิเมตร 0.03 มิลลิเมตร และ 0.02 มิลลิเมตร แล้วทำการศึกษาสมบัติทางกลของฟิล์มพอลีแลคติกแอชิตที่เติมและไม่เติมพลาสติกไชเซอร์ในปริมาณ 2 %wt, 4 %wt และ 6 %wt ได้แก่ สมบัติการทนต่อแรงดึง สมบัติร้อยละการยืดตัวก่อนขาด สมบัติมอคูลัสของสภาพยืดหยุ่นและสมบัติทางการย่อยสลาย

สมบัติการทนต่อแรงดึงของฟิล์มที่ไม่ได้ลามิเนต ที่ความเร็วลูกกลิ้ง 150 รอบต่อนาที ฟิล์มพอลีแลคติกแอชิตที่เติมพลาสติกไชเซอร์ มีค่าการทนต่อแรงดึงเฉลี่ยใกล้เคียงกับฟิล์มพอลีแลคติกแอชิตที่ไม่ได้เติมพลาสติกไชเซอร์ เมื่อเทียบฟิล์มพอลีแลคติกแอชิตที่ไม่ได้เติมพลาสติก-ไชเซอร์ ที่ความเร็วลูกกลิ้ง 200 รอบต่อนาที ฟิล์มพอลีแลคติกแอชิตที่เติมเอทิลีนไกลคอลทุกความเข้มข้นมีค่าการทนต่อแรงดึงเฉลี่ยสูงขึ้นในแนววางการขึ้นรูปเมื่อเทียบฟิล์มพอลีแลคติกแอชิตที่ไม่ได้เติมพลาสติกไชเซอร์ ที่ความเร็วลูกกลิ้ง 250 รอบต่อนาที ของฟิล์มพอลีแลคติกแอชิตที่เติมโพร์พีลีน-ไกลคอล 6 %wt ตามแนววางการขึ้นรูปมีค่าการทนต่อแรงดึงมากที่สุด จากการทดลองฟิล์มพอลี-แลคติกแอชิตที่เติมเอทิลีนไกลคอลตามแนววางการขึ้นรูปมีค่าการทนต่อแรงดึงเฉลี่ยสูงขึ้น ร้อยละ 39

สมบัติร้อยละการยึดตัวก่อนขาดของฟิล์มที่ไม่ได้ลามิเนต จากการทดลองฟิล์มพอลีแลคติก-แอชิตที่เติมเอทิลีนไกลคอลตามแนวขวางการขึ้นรูปมีค่าการทนต่อแรงดึงเฉียบสูงขึ้นร้อยละ 37 ที่ความเร็วลูกกลิ้ง 150 รอบต่อนาที ฟิล์มพอลีแลคติก-แอชิตที่เติมและไม่เติมพลาสติกไซเซอร์ มีค่าร้อยละการยึดตัวก่อนขาดทั้งในแนวตามและแนวขวางการขึ้นรูปเฉียบสูงกว่าฟิล์มพอลีแลคติก-แอชิตที่ไม่ได้เติมพลาสติกไซเซอร์ ที่ความเร็วลูกกลิ้ง 200 รอบต่อนาที ฟิล์มพอลีแลคติก-แอชิตที่เติมและไม่เติมพลาสติกไซเซอร์ มีร้อยละการยึดตัวก่อนขาดเฉียบสูงกว่าฟิล์มพอลีแลคติก-แอชิตที่เติมโพร์ฟีลีน-ไกลคอล 6 %wt ทั้งในแนวตามและแนวขวางการขึ้นรูปที่ความเร็วลูกกลิ้ง 250 รอบต่อนาที ฟิล์มพอลีแลคติก-แอชิตที่เติมโพร์ฟีลีนไกลคอล 2 %wt ตามแนวขวางการขึ้นรูปมีร้อยละการยึดตัวก่อนขาดเฉียบสูงเมื่อเทียบฟิล์มพอลีแลคติก-แอชิตที่ไม่ได้เติมพลาสติกไซเซอร์

สมบัตินอนุญาตของสภาพการยึดหยุ่นของฟิล์มพอลีแลคติก-แอชิตไม่ได้ลามิเนต ที่ความเร็ว 150 และ 200 รอบต่อนาที ฟิล์มพอลีแลคติก-แอชิตที่เติมโพร์ฟีลีนไกลคอล 4 %wt มีค่านอนุญาต-สภาพการยึดหยุ่นเฉียบสูงสุดในแนวขวางการขึ้นรูป ที่ความเร็วลูกกลิ้ง 250 รอบต่อนาที ฟิล์มพอลีแลคติก-แอชิตที่เติมโพร์ฟีลีนไกลคอล 2 %wt ค่านอนุญาตของสภาพการยึดหยุ่นเฉียบสูงสุดในแนวตามการขึ้นรูป เมื่อเปรียบเทียบฟิล์มพอลีแลคติก-แอชิตที่ไม่ได้เติมพลาสติกไซเซอร์ จากการทดลองฟิล์มพอลีแลคติก-แอชิตที่เติมโพร์ฟีลีนไกลคอลตามแนวขวางการขึ้นรูปมีค่าการทนต่อแรงดึงเฉียบสูงขึ้นร้อยละ 50

สมบัติการย่อยสลายของฟิล์มพอลีแลคติก-แอชิต ฟิล์มพอลีแลคติก-แอชิตที่ความเร็วลูกกลิ้ง 150 รอบต่อนาที เมื่อระยะเวลาผ่านไป 8 สัปดาห์ พบว่าฟิล์มพอลีแลคติก-แอชิตที่เติมโพร์ฟีลีนไกลคอล 2 %wt มีลักษณะทางกายภาพเปลี่ยนแปลงมากที่สุดเมื่อเปรียบเทียบกับฟิล์มพอลีแลคติก-แอชิตที่ไม่ได้เติมพลาสติกไซเซอร์ พิจารณาที่ความเร็วลูกกลิ้ง 200 รอบต่อนาที ฟิล์มพอลีแลคติก-แอชิตที่เติมโพร์ฟีลีนไกลคอล 2 %wt ที่มีลักษณะทางกายภาพเปลี่ยนแปลงมากที่สุดเมื่อเปรียบเทียบกับฟิล์มพอลีแลคติก-แอชิตที่ไม่ได้เติมพลาสติกไซเซอร์ และที่ความเร็วลูกกลิ้ง 250 รอบต่อนาที ฟิล์มพอลีแลคติก-แอชิตที่เติมเอทิลีนไกลคอล 6 %wt มีลักษณะทางกายภาพเปลี่ยนแปลงมากที่สุดเมื่อเปรียบเทียบกับฟิล์มพอลีแลคติก-แอชิตที่ไม่ได้เติมพลาสติกไซเซอร์

5.1.2 การศึกษาสมบัติของพิล์มที่ใช้ในการ laminate ระหว่างพิล์มกับกระดาษที่ใช้การเป็นตัวเชื่อมประสาน การย่อยสลายของพิล์มพอลีแลคติกแอชิตที่เติมสารโมเลกุลเล็กที่ใช้เป็นพลาสติกไชเซอร์ 2 ชนิด คือ โพร์ฟีลีนไกลคอลและเอทิลีนไกลคอล 2 %wt, 4 %wt และ 6 %wt โดยพิจารณาตามความเร็วลูกกลิ้ง คือ ความเร็ว 150 รอบต่อนาที 200 รอบต่อนาที และ 250 รอบต่อนาที อุณหภูมิโดยเฉลี่ยทุกวันเป็นเวลา 8 สัปดาห์ ผลการทดลอง สัปดาห์ที่ 4 เท่ากับ 31 องศาเซลเซียส และ สัปดาห์ที่ 8 เท่ากับ 30 องศาเซลเซียส

สมบัติการทนต่อแรงดึงของพิล์มที่ laminate ที่ความเร็วลูกกลิ้ง 150 และ 200 รอบต่อนาที พิล์มพอลีแลคติกแอชิตที่เติมและไม่เติมพลาสติกไชเซอร์ที่ laminate กับกระดาษ 60 แกรม และ 80 แกรม มีค่าการทนแรงดึงที่ใกล้เคียงกัน ที่ความเร็วลูกกลิ้ง 250 รอบต่อนาที พิล์มพอลีแลคติกแอชิตที่เติมโพร์ฟีลีนไกลคอล 2 %wt laminate กระดาษ 60 แกรม และ 80 แกรม มีค่าการทนต่อแรงดึงเฉลี่ยสูงเมื่อเทียบพิล์มพอลีแลคติกแอชิตที่ไม่ได้เติมพลาสติกไชเซอร์ laminate กระดาษ 60 แกรม และ 80 แกรม จากการทดลองพิล์มพอลีแลคติกแอชิตที่เติมเอทิลีนไกลคอลที่ laminate กระดาษ 60 แกรม มีค่าเฉลี่ยสูงขึ้นร้อยละ 7 และพิล์มพอลีแลคติกแอชิตที่เติมโพร์ฟีลีนไกลคอลที่ laminate กระดาษ 80 แกรม มีค่าเฉลี่ยสูงขึ้นร้อยละ 18 เมื่อเทียบกับพิล์ม laminate ที่ไม่ได้เติมพลาสติกไชเซอร์

สมบัติร้อยละการยึดตัวก่อนขาดของพิล์มที่ laminate พิล์มพอลีแลคติกแอชิตที่เติมและไม่ได้เติม laminate กระดาษ 60 แกรม ที่ความเร็วลูกกลิ้ง 150 รอบต่อนาที พิล์มพอลีแลคติกแอชิตที่เติมโพร์ฟีลีนไกลคอล 2 %wt มีร้อยละการยึดตัวก่อนขาดเฉลี่ยสูงเมื่อเทียบพิล์มพอลีแลคติกแอชิตที่ไม่ได้เติมพลาสติกไชเซอร์ laminate กระดาษ 60 แกรม ที่ความเร็วลูกกลิ้ง 200 รอบต่อนาที พิล์มพอลี-แลคติกแอชิตที่เติมและไม่ได้เติมพลาสติกไชเซอร์มีค่าร้อยละการยึดตัวก่อนขาดเฉลี่ยใกล้เคียงกัน ที่ความเร็วลูกกลิ้ง 250 รอบต่อนาที พิล์มพอลีแลคติกแอชิตที่เติมเอทิลีนไกลคอลทุกความเข้มข้น มีค่าร้อยละการยึดตัวก่อนขาดเฉลี่ยสูงขึ้นเมื่อเทียบพิล์มพอลีแลคติกแอชิตที่ไม่ได้เติมพลาสติกไชเซอร์ laminate กระดาษ 60 แกรม และพิล์มพอลีแลคติกแอชิตที่เติมและไม่ได้เติม laminate กระดาษ 80 แกรม ที่ความเร็วลูกกลิ้ง 150 รอบต่อนาที พิล์มพอลีแลคติกแอชิตที่เติมและไม่ได้เติม laminate กระดาษ 80 แกรม มีร้อยละการยึดตัวก่อนขาดเฉลี่ยใกล้เคียงกัน ที่ความเร็วลูกกลิ้ง 200 รอบต่อนาที พิล์มพอลีแลคติกแอชิตที่เติมโพร์ฟีลีนไกลคอลทุกความเข้มข้น laminate กระดาษ 80 แกรม มีร้อยละการยึดตัวก่อนขาดเฉลี่ยสูงขึ้น ที่ความเร็วลูกกลิ้ง 250 รอบต่อนาที พิล์มพอลีแลคติกแอชิตที่เติมเอทิลีนไกลคอล 2 %wt มีค่าร้อยละการยึดตัวก่อนขาดเฉลี่ยสูงเมื่อเทียบกับพิล์มพอลีแลคติกแอชิตที่ไม่ได้เติมพลาสติกไชเซอร์ laminate กระดาษ 80 แกรม จากการทดลองพิล์มพอลีแลคติกแอชิตที่เติม

โพร์พีลีนไกลคอลามิเนตกระดาษ 60 แกรม มีค่าเฉลี่ยสูงขึ้นร้อยละ 37 และฟิล์มพอลีแลคติกแอชิตที่เติมโพร์พีลีนไกลคอลที่ lamini เนตกระดาษ 80 แกรม มีค่าเฉลี่ยสูงขึ้นร้อยละ 19 เมื่อเทียบกับฟิล์ม lamini เนตที่ไม่ได้เติมพลาสติกไชเซอร์

สมบัติมอคูลัสของสภาพการยึดหยุ่นของฟิล์มพอลีแลคติกแอชิต lamini เนต ฟิล์มพอลีแลคติกแอชิตที่เติมและไม่ได้เติม lamini เนตกระดาษ 60 แกรม ที่ความเร็ว 150 และ 200 รอบต่อนาที มีค่ามอคูลัสของสภาพการยึดหยุ่นเฉลี่ยใกล้เคียงกันเมื่อเทียบฟิล์มพอลีแลคติกแอชิตที่ไม่ได้เติมพลาสติกไชเซอร์ lamini เนตกระดาษ 60 แกรม ที่ความเร็วลูกกลิ้ง 250 รอบต่อนาที ฟิล์มพอลีแลคติกแอชิตที่เติมเอทธิลีนไกลคอล 4 %wt lamini เนตกระดาษ 60 แกรม ค่ามอคูลัสของสภาพการยึดหยุ่นเฉลี่ยสูงสุด ฟิล์มพอลีแลคติกแอชิตที่เติมและไม่ได้เติม lamini เนตกระดาษ 80 แกรม ที่ความเร็ว 150 และ 200 รอบต่อนาที มีค่ามอคูลัสของสภาพการยึดหยุ่นเฉลี่ยใกล้เคียงกันเมื่อเทียบฟิล์มพอลีแลคติกแอชิตที่ไม่ได้เติมพลาสติกไชเซอร์ lamini เนตกระดาษ 80 แกรม ที่ความเร็วลูกกลิ้ง 250 รอบต่อนาที ฟิล์มพอลีแลคติกแอชิตที่เติมเอทธิลีนไกลคอล 4 %wt lamini เนตกระดาษ 80 แกรม ค่ามอคูลัสของสภาพการยึดหยุ่นเฉลี่ยสูงสุด สมบัติมอคูลัสของสภาพการยึดหยุ่นของฟิล์มพอลีแลคติกแอชิตที่ lamini เนตกระดาษ 60 และ 80 แกรม มีมอคูลัสของสภาพการยึดหยุ่นเฉลี่ยใกล้เคียงกันเพรากระดาษ 60 แกรม มีความเหนียวตืကกว่า 80 แกรม จากการทดลองฟิล์มพอลีแลคติกแอชิตที่เติมเอทธิลีนไกลคอลที่ lamini เนตกระดาษ 60 แกรม มีค่าเฉลี่ยสูงขึ้นร้อยละ 43 และฟิล์มพอลีแลคติกแอชิตที่เติมโพร์พีลีนไกลคอลที่ lamini เนตกระดาษ 80 แกรม มีค่าเฉลี่ยสูงขึ้นร้อยละ 33 เมื่อเทียบกับฟิล์ม lamini เนตที่ไม่ได้เติมพลาสติกไชเซอร์

ผลการย่อysลายของฟิล์มพอลีแลคติกแอชิต lamini เนตกระดาษ 60 แกรม เมื่อระยะเวลาผ่านไป 8 สัปดาห์ พบร้าฟิล์มพอลีแลคติกแอชิต lamini เนตกระดาษ 60 แกรม ที่ความเร็วลูกกลิ้ง 150 รอบต่อนาที ฟิล์มพอลีแลคติกแอชิตที่เติมโพร์พีลีนไกลคอล 2 %wt มีลักษณะทางกายภาพเปลี่ยนแปลงมากที่สุดและที่ความเร็วลูกกลิ้ง 200 รอบต่อนาที ฟิล์มพอลีแลคติกแอชิตที่เติมโพร์พีลีนไกลคอล 2 %wt มีลักษณะทางกายภาพเปลี่ยนแปลงมากที่สุด ที่ความเร็วลูกกลิ้ง 250 รอบต่อนาที ฟิล์มพอลีแลคติกแอชิตที่เติมเอทธิลีนไกลคอล 6%wt มีลักษณะทางกายภาพเปลี่ยนแปลงมากที่สุด สอดคล้องกับผลการทดลองการย่อysลายของฟิล์มพอลีแลคติกแอชิต

5.2 ข้อเสนอแนะ

- 5.2.1 การเตรียมพิล์มพอลีแลคติกและชิตรีมีหลากหลายวิธีการ ผู้ที่ทำการศึกษาควรเลือกวิธีที่เหมาะสมกับหัวข้อที่ศึกษาและระยะเวลาในการปฏิบัติงาน
- 5.2.2 การเลือกพลาสติกไชเซอร์ที่ใช้ในการทดลอง ควรทำการศึกษานิดข่องพลาสติกไชเซอร์ที่สามารถเข้าร่วมสุดเนื้อหลักได้ไม่มีผลกระทบต่อการขึ้นรูปพิล์ม
- 5.2.3 ในการทดสอบชิ้นงานมักจะมีข้อผิดพลาดเสมอ ควรเตรียมชิ้นงานทดสอบไว้เพื่อความผิดพลาด
- 5.2.4 ผู้ที่ทำการศึกษาควรวางแผนล่วงหน้าในการใช้เครื่องทดสอบชิ้นงานให้เหมาะสมกับชิ้นงานและระยะเวลาในการทดสอบ
- 5.2.5 ในกรณีที่ผู้ศึกษาต้องการผลของพลาสติกไชเซอร์ที่มีผลต่อสมบัติด้านอื่น เช่น สมบัติด้านการทนต่อความร้อนหรือการกระจายตัวของพลาสติกไชเซอร์อย่างละเอียด ต้องทำการทดสอบด้วยเทคนิคอื่นเพิ่มเติม เช่น Differential Scanning Calorimetry (DSC) และ Scanning Electron Microscopy (SEM)

ເອກສາຮອ້າງອີງ

- [1] J.Mangmeemak , P.Tangboriboorat , N.Rattanasom and A.Somwangthanaroj. Toughening of Poly(Lactic Acid) Film Blended by Natural Rubber.
- [2] P.Boonfaung, P.Wasutchanon and A.Somwangthanaroj. Development of packaging film from bioplastic Polylactic Acid (PLA) with Plasticizers.
- [3] Y.Byun, Y.Kim and S.Whiteside. (2010). Characterization of an antioxidant polylactic acid (PLA) film prepared with α -tocopherol,BHT and polyethylene glycol using film cast extruder. *Journal of food Engineering* , (100), 239-244.
- [4] E.Mascheroni, V.Guillard, F.Nalin, L.Mora and L.Piergiovanni. (2010). Diffusivity of propolis compounds in polylactic acid polymer for the development of antimicrobial packaging film. *Journal of food Engineering*, (98), 294-301.
- [5] F.Hassouna, J.Raquez, F.Addiego, P.dubois, V.Toniazzo and David Ruch. (2011). New approach on the development of plasticized polylactide (PLA) : Grafting of poly(ethylene glycol)(PEG) via reactive extrusion. *European polymer Journal*.
- [6] M.Zenkiewicz, J.Richert and A.Rozanski. (2010). Effect of blow moulding ratio on barrier properties of polylactide nanocomposite films. *Polymer Testing*, (29), 251–257.
- [7] F.Sebastien , G.Stephane , A.Copinet and V.Coma. (2006). Novel biodegradable film made from chitosan and poly(lactic acid) with antifungal properties against mycotoxinogen strains. *Cabohydrate Polymer*, (65), 185-193.
- [8] S.Essa , J. Rabanel and P.hildgen. (2010). Effect of polyethylene glycol (PEG) chain organization on the physicochemical properties of poly(D,L-lactide)(PLA) based nanoparticles. *European Journal of Pharmaceutics and Bio pharmaceutics*, (75), 96-106.

เอกสารอ้างอิง (ต่อ)

- [9] O.Martin and L.Averous. (2001). Poly(lactic acid):plasticization and properties of biodegradable multiphase system. *Polymer*, (42), 6209-6219.
- [10] J.F. Martucci and R.A. Ruseckaite. (2009). Biodegradation of three-layer laminate films based on gelatin under indoor soil conditions. *Polymer degradation and stability*, (94), 1307-1313.
- [11] J.M. Fang, P.A. Fowler, C. Escrig, R. Gonzalez, J.A. Costa and L. Charnudis. (2005). Development of biodegradable laminate films derived from naturally occurring carbohydrate polymers . *Carbohydrate Polymers*, (60), 39–42.
- [12] M.A. Del Nobile , A. Conte , G.G. Buonocore , A.L. Incoronato , A. Massaro and O. Paza. (2009). Active packaging by extrusion processing of recyclable and biodegradable polymer. *Journal of food Engineering*, (93), 1-6.
- [13] E.Petinakis , X.Liu , L.Yu , C.Way , P.Sangwan , K.Dean, S.Bateman and G.Edward. (2010). Biodegradation and thermal decomposition of poly(lactic acid)-based materials reinforced by hydrophilic fillers. *Polymer Degradation and Stability*, (95), 1704-1707.
- [14] F. Carrasco, P. Pages, J. Gamez-Perez, O.O. Santana and M.L. Maspoch. (2010). Processing of poly(lactic acid):Characterization of chemical structure,thermal stability and mechanical properties. *Polymer Degradation and Stability*, (95), 116-125.
- [15] L.Zaidi, M.Kaci, S.Bruaud, A.Bourmaud and Y.Grohens. (2010). Effect of natural weather on the structure and properties of polylactide/Cloisite 30B nanocomposites. *Polymer Degradation and Stability*, (95), 1751-1758.
- [16] N.Graupner , A.S.Herrmann and J.Mussig. (2009). Natural and man-made cellulose fibre reinforced poly(lactic acid)(PLA) composites : An overview about mechanical characteristics and application areas. *Composites : Part A*, (40), 810-821.

เอกสารอ้างอิง (ต่อ)

- [17] M.Jonoobi, J.Harun, A.P. Mathew and K.Oksman. (2010). Mechanical properties of cellulose nanofiber (CNF) reinforced polylactic acid (PLA) prepared by twin screw extrusion. *Composites science and Technology*, (70), 1742-1747.
- [18] ดร.จินตมัย สุวรรณประทีป . (2547). การทดสอบสมบัติทางกลของพลาสติก. กรุงเทพฯ: สมาคมส่งเสริมเทคโนโลยี (ไทย-ญี่ปุ่น)
- [19] รศ.ดร.สมศักดิ์ วรมงคลชัย. (2547). สารปรับแต่งพอลิเมอร์ (Polymer Additives). กรุงเทพฯ: บุ๊คเน็ท
- [20] รศ.อรุษา สรวารี.สารปรับแต่งพอลิเมอร์ เล่ม 1 .
- [21] กัลย์ธรา เทพปฏิมาภรณ์, กิติพงษ์ สุวรรณคู, ผศ.ดร.อนงค์นาฎ สมหวังโนโรจน์. การพัฒนาพิล์มน้ำในคอมโพสิตที่ย่อยสลายได้ทางชีวภาพเพื่อประยุกต์ในงานบรรจุภัณฑ์. ภาควิชา วิศวกรรมเคมี คณะวิศวกรรมศาสตร์ จุฬาลงกรณ์มหาวิทยาลัย
- [22] พัฒนา บัวดี, สมศักดิ์ วรมงคลชัย. ผลของคาราจีแคนที่มีต่อสมบัติเชิงกลและสมบัติทางความร้อนของพิล์มพอลิเอทธิลีนชนิดความหนาแน่นต่ำ/เทอร์โนพลาสติกสตาร์ช. สถาบันเทคโนโลยีพระจอมเกล้าเจ้าคุณทหารลาดกระบัง
- [23] วรสินธุ์ มิتصفีดา, วิภาวดี ไสขุมา, ศุภมาศ เงินเรืองโรจน์, วีราภรณ์ ผิวสะอาด. การเตรียมพอลิแลกติกและคอมพาวเวอร์เพื่อใช้ในอุตสาหกรรมเป่าพิล์ม. มหาวิทยาลัยเทคโนโลยีราชมงคลธัญบุรี
- [24] Rohm and Haas chemical (Thailand) Ltd. (February 2006). PACKAGING AND CONVERTING. Midwest Technical Center, Retrieved January 30, 2012, from <http://www.rohmahaas.com/AdhesivesSealant>
- [25] สถาบันบีโตรเลียมแห่งประเทศไทย. (September 11, 2010). Plastics Intelligence Update. Plastic Intelligence Unit Website, Retrieved January 20, 2012 .
<http://plastic.oie.go.th>
- [26] D.Garlotta. A Literature Review of poly(Lactic Acid). *Journal of polymer and the Environment*.

เอกสารอ้างอิง (ต่อ)

- [27] V.Siracusa, P.Rocculi, S.Romani, M.D.Rosa. (2008). Biodegradable polymer for food packaing. *Trend in food Science and Technology*, (19), 634-643.
- [28] R.Narayan. (2005). Biobased and biodegradable polymer material. Division of polymer chemistry meeting, San Diego.
- [29] K.M. nampoothiri, N.R.Nair and R.P.John. (2010). An overview of the recent development in polylactide(PLA) research. *Bioresource Technology*, (101), 8493-8501.
- [30] อัมรรัตน์ เลิศวรสิริกุล. พอลิแลกติกไซด์:พอลิเอสเทอร์ จากทรัพยากรที่สร้างทดแทนใหม่ได้. มหาวิทยาลัยเกษตรศาสตร์ วิทยาเขตบางเขน
- [31] ศราญ ไฝบง. (2555). พลasicติกชีวภาพ นวัตกรรมเพื่อสิ่งแวดล้อม. สำนักงานจัดการคุณภาพ น้ำ กรมควบคุมมลพิษ
- [32] ธนาวดี สื้างากย, นฤกูล เอื้อพันธุ์ศร, ก้องเกียรติ คงสุวรรณ, โยธิตา ฤทธิ์กิจ, ภัคตี รัตนจันทร์. การศึกษาการย่อยสลายได้ทางชีวภาพโดยจุลินทรีย์แบบใช้ออกซิเจน.
- [33] สมหมาย ผิวสอด, สรพงษ์ ภาสุปรีย, ภูริทัต ใจหลัก, อุบล อินธรศวร, วีราภรณ์ ผิวสอด. การเตรียมพอลิเมอร์ผสมระหว่างพอลิแลกติกแอซิด พอลิบิวชีลีนซ์คิโนเตโคะติเพท และพอลิบิวชีลีน อดิเพท เทオเลพทาเลท เพื่อใช้ในอุตสาหกรรมเป้าพิล์ม. มหาวิทยาลัยเทคโนโลยีราชมงคลธัญบุรี
- [34] สมหมาย ผิวสอด, สรพงษ์ ภาสุปรีย, ณรงค์ชัย โอเจริญและคณะ. การเตรียมเส้นใยจากพอลิ เมอร์ผสมระหว่างพอลิแลกติกแอซิด (PLA) และพอลิไธโรมอยซ์บิวทิเรتواเรต (PHBV) เพื่อใช้ในอุตสาหกรรมสิ่งทอ. มหาวิทยาลัยเทคโนโลยีราชมงคลธัญบุรี
- [35] K.Hamad, M.Kaseem and F.Deri. Preparation and Characterization of Binary and Ternary Blends with Poly(Lactic Acid), Polystyrene, and Acrylonitrile-Butadiene-Styrene.



ภาคผนวก ก

ผลการทดสอบสมบัติทางกลของพิล์มพอลิแลคติกแอซิต

มหาวิทยาลัยธรรมศาสตร์

ตาราง ก.1 ตารางบันทึกผลการทดสอบการทนแรงดึงของพิล์มที่ไม่ได้ lamin เนตที่ความเร็วรอบ 150 rpm((MD)

ชื่อ	% wt	ขั้นทดสอบ	ความหนา (mm)	Tensile strength Test		
				% Elongation at break	Tensile strength (MPa)	Young's Modulus (MPa)
PLA	0	1	0.05	1.43	21.00	2047.95
		2	0.05	6.98	45.80	2454.10
		3	0.05	2.65	58.30	3096.10
		4	0.05	4.01	34.20	1873.35
		5	0.05	3.61	34.80	2102.59
		ค่าเฉลี่ย	0.05	3.73	38.82	2314.82
PLA+PG	2	1	0.05	1.51	11.10	2012.06
		2	0.05	1.15	7.88	2452.81
		3	0.05	1.22	9.17	1209.73
		4	0.05	0.74	5.95	4305.69
		5	0.05	1.97	7.39	2061.18
		ค่าเฉลี่ย	0.05	1.32	8.30	2408.29
	4	1	0.05	2.84	41.70	3378.32
		2	0.05	1.44	17.80	2549.26
		3	0.05	1.63	27.50	2678.85
		4	0.05	2.32	38.70	4648.85
		5	0.05	2.10	32.50	2551.41
		ค่าเฉลี่ย	0.05	2.07	31.64	3161.34
PLA+EG	6	1	0.05	2.60	31.70	2491.14
		2	0.05	1.77	22.40	2004.34
		3	0.05	1.47	25.00	2490.69
		4	0.05	6.37	31.80	3083.73
		5	0.05	3.40	30.50	2322.31
		ค่าเฉลี่ย	0.05	3.12	28.28	2478.44
	2	1	0.05	4.08	27.40	2439.90
		2	0.05	2.95	23.00	1875.37
		3	0.05	2.80	21.00	1970.29
		4	0.05	2.29	24.00	1730.25
		5	0.05	2.76	18.00	2131.03
		ค่าเฉลี่ย	0.05	2.98	22.68	2029.37
	4	1	0.05	2.44	14.90	2055.31
		2	0.05	3.32	51.70	2872.24
		3	0.05	1.76	17.00	2454.33
		4	0.05	1.28	15.50	1835.94
		5	0.05	2.09	16.40	1754.81
		ค่าเฉลี่ย	0.05	2.18	23.10	2194.52
	6	1	0.05	1.73	11.60	1961.45
		2	0.05	1.49	15.40	2587.20
		3	0.05	2.17	29.30	1935.73
		4	0.05	2.53	19.50	1843.76
		5	0.05	1.89	15.80	2051.25
		ค่าเฉลี่ย	0.05	1.96	18.32	2075.88

ตาราง ก.1 ตารางบันทึกผลการทดสอบการทนแรงดึงของพิล์มที่ไม่ได้ถ่านมีเนตที่ความเร็วรอบ 150 rpm (TD)

ชื่อ	% wt	จุดทดสอบ	ความหนา (mm)	Tensile strength Test		
				% Elongation at break	Tensile strength (MPa)	Young's Modulus (MPa)
PLA	0	1	0.05	2.40	28.60	1969.48
		2	0.05	2.38	30.20	1859.44
		3	0.05	2.32	32.10	2184.01
		4	0.05	2.12	31.50	2273.97
		5	0.05	2.65	33.30	2063.18
		ค่าเฉลี่ย	0.05	2.37	31.14	2070.02
PLA+PG	2	1	0.05	1.61	8.30	1830.89
		2	0.05	1.60	8.04	1738.43
		3	0.05	1.64	8.13	1435.83
		4	0.05	1.51	8.80	2287.73
		5	0.05	1.90	10.70	1306.99
		ค่าเฉลี่ย	0.05	1.65	8.79	1719.97
	4	1	0.05	2.12	31.00	2708.14
		2	0.05	3.57	41.00	2843.85
		3	0.05	1.98	32.60	3341.86
		4	0.05	3.11	40.60	2793.58
		5	0.05	3.81	34.50	3185.17
		ค่าเฉลี่ย	0.05	2.92	35.94	2974.52
PLA+EG	6	1	0.05	3.82	37.90	3152.89
		2	0.05	3.65	38.70	2583.83
		3	0.05	2.05	27.30	2545.32
		4	0.05	2.11	22.70	2464.52
		5	0.05	2.19	26.50	2509.98
		ค่าเฉลี่ย	0.05	2.76	30.62	2651.31
	2	1	0.05	1.40	20.40	2208.92
		2	0.05	2.59	40.40	2514.89
		3	0.05	2.09	50.40	3257.48
		4	0.05	5.41	51.10	2632.65
		5	0.05	2.02	35.30	2595.18
		ค่าเฉลี่ย	0.05	2.70	39.52	2641.83
	4	1	0.05	2.46	42.80	2356.56
		2	0.05	2.37	40.60	2329.05
		3	0.05	2.24	37.70	2799.50
		4	0.05	2.73	43.30	2370.20
		5	0.05	2.49	35.40	2515.08
		ค่าเฉลี่ย	0.05	2.46	39.96	2474.08
	6	1	0.05	1.98	27.50	2066.53
		2	0.05	2.29	37.40	2387.71
		3	0.05	1.95	32.90	2306.68
		4	0.05	2.40	28.60	2048.07
		5	0.05	0.99	11.10	2929.50
		ค่าเฉลี่ย	0.05	1.92	27.50	2347.70

ตาราง ก.1 ตารางบันทึกผลการทดสอบการหดส่วนการหดดึงของพิล์มที่ไม่ได้ลามิเนตที่ความเร็วรอบ 200 rpm (MD)

ชื่อ	% wt	ชั้นทดสอบ	ความหนา (mm)	Tensile strength Test		
				% Elongation at break	Tensile strength (MPa)	Young's Modulus (MPa)
PLA	0	1	0.03	1.69	23.30	1674.61
		2	0.03	2.75	41.50	2148.93
		3	0.03	3.46	31.60	1731.80
		4	0.03	3.12	32.30	1908.59
		5	0.03	1.92	26.00	1874.23
		ค่าเฉลี่ย	0.03	2.59	30.94	1867.63
PLA+PG	2	1	0.03	2.66	18.60	1665.08
		2	0.03	1.54	13.10	1530.90
		3	0.03	3.11	15.90	1940.44
		4	0.03	1.60	14.90	1914.63
		5	0.03	1.29	14.30	1345.81
		ค่าเฉลี่ย	0.03	2.04	15.36	1679.37
	4	1	0.03	1.74	13.70	3592.32
		2	0.03	2.37	14.40	7704.95
		3	0.03	1.14	10.80	2013.43
		4	0.03	2.19	14.90	3185.68
		5	0.03	2.07	13.60	2348.86
		ค่าเฉลี่ย	0.03	1.90	13.48	3769.05
PLA+EG	6	1	0.03	4.44	27.40	1929.36
		2	0.03	4.72	15.80	4756.40
		3	0.03	3.26	23.30	2511.84
		4	0.03	4.02	32.60	2733.77
		5	0.03	2.93	25.90	1732.83
		ค่าเฉลี่ย	0.03	3.87	25.00	2732.84
	2	1	0.03	10.53	1.42	17.50
		2	0.03	27.14	2.54	45.60
		3	0.03	16.39	1.64	27.30
		4	0.03	8.62	1.51	14.40
		5	0.03	20.11	1.80	33.50
		ค่าเฉลี่ย	0.03	16.56	1.78	27.66
	4	1	0.03	1.39	27.70	2849.32
		2	0.03	1.43	13.70	1574.11
		3	0.03	1.80	41.40	3531.24
		4	0.03	3.01	10.10	1016.46
		5	0.03	2.76	16.20	1766.88
		ค่าเฉลี่ย	0.03	2.08	21.82	2147.60
	6	1	0.03	1.13	19.60	1816.60
		2	0.03	1.22	14.50	1562.95
		3	0.03	1.92	22.90	2138.73
		4	0.03	1.60	29.10	2479.88
		5	0.03	1.25	20.60	2651.51
		ค่าเฉลี่ย	0.03	1.42	21.34	2129.94

ตาราง ก.1 ตารางบันทึกผลการทดสอบการหดส่องดึงของพิล์มที่ไม่ได้ลามิเนตที่ความเร็วรอบ 200 rpm (TD)

ชื่อ	% wt	จุดทดสอบ	ความหนา (mm)	Tensile strength Test		
				% Elongation at break	Tensile strength (MPa)	Young's Modulus (MPa)
PLA	0	1	0.03	3.17	29.50	1672.17
		2	0.03	4.08	19.90	1201.95
		3	0.03	1.68	16.20	2130.94
		4	0.03	2.88	16.20	1123.77
		5	0.03	3.01	29.70	1611.30
		ค่าเฉลี่ย	0.03	2.96	22.30	1548.03
		1	0.03	1.81	16.40	1812.77
PLA+PG	2	2	0.03	2.53	23.30	1859.89
		3	0.03	1.72	14.70	2484.35
		4	0.03	2.62	28.50	1845.19
		5	0.03	1.94	11.40	2812.42
		ค่าเฉลี่ย	0.03	2.12	18.86	2162.92
		1	0.03	1.56	24.10	2634.24
	4	2	0.03	1.76	14.90	2029.50
		3	0.03	1.53	25.40	2636.58
		4	0.03	2.19	27.40	2693.04
		5	0.03	1.10	11.30	1399.52
		ค่าเฉลี่ย	0.03	1.63	20.62	2278.58
		1	0.03	2.18	21.60	2432.91
PLA+EG	6	2	0.03	1.39	14.80	3010.58
		3	0.03	2.15	16.80	2028.26
		4	0.03	2.42	22.70	1975.73
		5	0.03	2.46	21.40	2719.49
		ค่าเฉลี่ย	0.03	2.12	19.46	2433.40
		1	0.03	1.60	32.80	2817.86
	2	2	0.03	3.13	47.90	2832.91
		3	0.03	2.21	46.40	3291.48
		4	0.03	2.40	47.20	2714.60
		5	0.03	3.46	60.50	3267.47
		ค่าเฉลี่ย	0.03	2.56	46.96	2984.86
		1	0.03	1.11	22.50	3088.44
PLA+EG	4	2	0.03	2.09	39.60	2749.33
		3	0.03	2.43	43.10	2719.19
		4	0.03	2.03	39.90	2870.04
		5	0.03	2.69	36.60	2408.33
		ค่าเฉลี่ย	0.03	2.07	36.34	2767.07
		1	0.03	2.12	43.10	2782.95
	6	2	0.03	1.89	40.00	2812.61
		3	0.03	2.38	46.10	2834.65
		4	0.03	1.39	24.40	2556.92
		5	0.03	2.41	37.70	2640.40
		ค่าเฉลี่ย	0.03	2.04	38.26	2725.50

ตาราง ก.1 ตารางบันทึกผลการทดสอบการทานแรงดึงของพิสต์ที่ไม่ได้ถูกยีนเซ็ทความเร็วรอบ 250 rpm (MD)

ชื่อ	% wt	จันทร์ส่วน	ความหนา (mm)	Tensile strength Test		
				% Elongation at break	Tensile strength (MPa)	Young's Modulus (MPa)
PLA	0	1	0.02	1.99	31.90	2795.60
		2	0.02	2.62	16.90	1882.12
		3	0.02	1.71	23.80	3642.38
		4	0.02	2.48	24.80	1611.30
		5	0.02	1.58	24.50	2613.97
		ค่าเฉลี่ย	0.02	2.08	24.38	2509.08
PLA+PG	2	1	0.02	1.06	20.20	9222.45
		2	0.02	1.03	14.20	51630.90
		3	0.02	2.91	16.00	34714.02
		4	0.02	1.86	15.80	17164.72
		5	0.02	1.74	16.50	1974.10
		ค่าเฉลี่ย	0.02	1.72	16.54	22941.24
	4	1	0.02	1.68	22.90	2910.28
		2	0.02	1.70	14.30	10272.91
		3	0.02	2.56	17.00	1885.53
		4	0.02	2.19	21.00	6533.87
		5	0.02	3.69	14.50	11094.21
		ค่าเฉลี่ย	0.02	2.37	17.94	6539.36
PLA+EG	6	1	0.02	3.19	45.90	3862.96
		2	0.02	2.40	24.00	3908.00
		3	0.02	2.25	40.50	4215.03
		4	0.02	2.45	38.30	3751.87
		5	0.02	1.44	32.10	4101.73
		ค่าเฉลี่ย	0.02	2.34	36.16	3967.92
	2	1	0.02	2.27	29.30	2684.78
		2	0.02	2.04	53.00	4772.78
		3	0.02	1.47	31.20	3444.31
		4	0.02	2.23	18.60	2382.30
		5	0.02	1.91	35.60	5128.43
		ค่าเฉลี่ย	0.02	1.98	33.54	3682.52
	4	1	0.02	1.18	38.30	4176.87
		2	0.02	1.30	36.60	4980.61
		3	0.02	1.39	38.60	4073.38
		4	0.02	2.66	22.40	1724.85
		5	0.02	1.54	17.10	3602.62
		ค่าเฉลี่ย	0.02	1.61	30.60	3711.67
	6	1	0.02	2.39	32.20	1963.49
		2	0.02	2.64	21.70	1415.35
		3	0.02	2.73	27.40	1635.41
		4	0.02	1.77	25.00	1900.91
		5	0.02	1.48	14.20	7720.91
		ค่าเฉลี่ย	0.02	2.20	24.10	2927.21

ตาราง ก.1 ตารางบันทึกผลการทดสอบการทนแรงดึงของพิล์มที่ไม่ได้ lamine ที่ความเร็วรอบ 250 rpm (TD)

ชื่อ	% wt	ชนิดทดสอบ	ความหนา (mm)	Tensile strength Test		
				% Elongation at break	Tensile strength (MPa)	Young's Modulus (MPa)
PLA	0	1	0.02	3.64	14.50	2719.78
		2	0.02	2.12	26.90	2634.72
		3	0.02	2.18	14.10	6127.49
		4	0.02	1.83	44.40	3554.04
		5	0.02	2.09	45.20	3434.03
		ค่าเฉลี่ย	0.02	2.37	29.02	3694.01
PLA+PG	2	1	0.02	2.86	27.80	5694.49
		2	0.02	1.54	14.20	13347.29
		3	0.02	2.17	26.00	2779.58
		4	0.02	2.85	31.70	2700.80
		5	0.02	3.18	30.50	2321.06
		ค่าเฉลี่ย	0.02	2.52	26.04	5368.64
	4	1	0.02	2.03	15.70	17989.33
		2	0.02	1.71	28.00	3166.39
		3	0.02	1.77	16.20	27009.39
		4	0.02	2.52	16.40	3222.56
		5	0.02	1.94	15.80	5493.69
		ค่าเฉลี่ย	0.02	1.99	18.42	11376.27
PLA+EG	6	1	0.02	2.75	48.00	3851.37
		2	0.02	2.30	36.80	3973.16
		3	0.02	2.19	37.20	3654.96
		4	0.02	3.03	78.20	5849.55
		5	0.02	2.54	42.20	3852.18
		ค่าเฉลี่ย	0.02	2.56	48.48	4236.25
	2	1	0.02	2.18	28.60	1891.08
		2	0.02	1.72	26.50	2360.48
		3	0.02	2.66	45.10	2652.85
		4	0.02	5.99	33.60	1955.00
		5	0.02	3.06	51.80	2852.59
		ค่าเฉลี่ย	0.02	3.12	37.12	2342.40
PLA+EG	4	1	0.02	2.79	53.40	5432.50
		2	0.02	1.55	31.10	5421.04
		3	0.02	1.80	14.10	16388.91
		4	0.02	1.66	24.50	2722.26
		5	0.02	1.91	45.90	3960.22
		ค่าเฉลี่ย	0.02	1.94	33.80	6784.99
	6	1	0.02	1.35	20.60	2644.42
		2	0.02	2.00	27.30	2021.88
		3	0.02	2.36	30.20	2088.26
		4	0.02	2.68	38.20	2472.16
		5	0.02	2.80	15.20	2193.44
		ค่าเฉลี่ย	0.02	2.24	26.30	2284.03

ตาราง ก.2 ตารางบันทึกผลการทดสอบการหดส่องการหดแรงดึงของพิล์มที่ความเนียน 60 แกรม ที่ความเร็วรอบ 150 rpm

ชื่อ	% wt	ชั้นทดสอบ	ความหนา (mm)	Tensile strength Test		
				% Elongation at break	Tensile strength (MPa)	Young's Modulus (MPa)
PLA	0	1	0.08	2.32	18.30	1822.27
		2	0.09	5.10	29.20	1073.90
		3	0.09	1.92	32.50	8372.88
		4	0.09	2.80	38.50	2757.85
		5	0.09	5.91	36.20	2903.54
		ค่าเฉลี่ย	0.09	3.61	30.94	3386.09
PLA+PG	2	1	0.08	7.41	16.60	858.07
		2	0.07	5.24	16.60	1022.07
		3	0.08	6.48	18.70	1108.11
		4	0.08	4.25	15.90	1551.15
		5	0.06	4.63	20.10	2425.52
		ค่าเฉลี่ย	0.07	5.60	17.58	1392.99
	4	1	0.10	1.62	30.60	3581.83
		2	0.10	1.42	30.50	4164.87
		3	0.10	4.08	19.60	1164.42
		4	0.10	1.85	31.00	3412.53
		5	0.10	2.73	30.10	1658.98
		ค่าเฉลี่ย	0.10	2.34	28.36	2796.53
PLA+EG	6	1	0.09	2.35	21.60	1939.50
		2	0.10	2.49	30.60	1930.70
		3	0.10	4.41	26.40	1594.28
		4	0.10	3.36	25.60	1423.70
		5	0.10	4.64	26.80	1436.92
		ค่าเฉลี่ย	0.10	3.45	26.20	1665.02
	2	1	0.10	1.75	29.60	2773.18
		2	0.10	2.24	30.80	2194.00
		3	0.10	1.70	31.00	3717.50
		4	0.10	2.03	30.70	2439.33
		5	0.10	1.78	30.60	3498.93
		ค่าเฉลี่ย	0.10	1.75	29.60	2773.18
PLA+EG	4	1	0.10	3.47	30.80	1791.20
		2	0.10	3.03	24.80	1206.86
		3	0.10	2.91	24.10	1203.40
		4	0.10	4.39	29.00	1262.63
		5	0.08	4.44	28.50	1004.08
		ค่าเฉลี่ย	0.10	3.65	27.44	1293.64
	6	1	0.10	1.30	30.60	3347.89
		2	0.10	1.96	29.40	2419.18
		3	0.10	1.26	31.50	3296.74
		4	0.10	1.63	25.70	3164.60
		5	0.10	1.85	30.00	2982.72
		ค่าเฉลี่ย	0.10	1.60	29.44	3042.22

ตาราง ก.2 ตารางบันทึกผลการทดสอบการทนแรงดึงของพิล์มที่ถูกน้ำ 60 แกรม ที่ความเร็วรอบ 200 rpm

ชื่อ	% wt	ขั้นทดสอบ	ความหนา (mm)	Tensile strength Test		
				% Elongation at break	Tensile strength (MPa)	Young's Modulus (MPa)
PLA	0	1	0.10	3.28	28.60	1418.27
		2	0.07	2.37	15.00	2030.52
		3	0.09	5.18	32.50	1529.22
		4	0.09	2.19	33.80	2620.57
		5	0.09	2.55	34.00	2396.32
		ค่าเฉลี่ย	0.09	3.11	28.78	1998.98
PLA+PG	2	1	0.07	2.19	42.90	3110.22
		2	0.08	2.93	18.70	1325.80
		3	0.08	3.41	21.80	1174.11
		4	0.09	1.98	12.10	1619.82
		5	0.08	2.12	15.80	1039.01
		ค่าเฉลี่ย	0.08	2.53	22.26	1653.79
PLA+EG	4	1	0.08	2.76	14.50	1877.42
		2	0.08	2.97	15.70	881.88
		3	0.08	3.41	15.20	1410.63
		4	0.08	2.23	14.90	1413.80
		5	0.08	3.20	21.20	1298.67
		ค่าเฉลี่ย	0.08	2.91	16.30	1376.48
	6	1	0.07	2.91	35.30	3837.04
		2	0.09	3.43	22.60	1425.20
		3	0.10	3.44	17.50	1760.99
		4	0.08	3.22	20.90	961.47
		5	0.08	3.14	22.10	1355.67
		ค่าเฉลี่ย	0.08	3.23	23.68	1868.08
	2	1	0.07	3.32	28.30	1360.43
		2	0.08	3.55	21.80	1061.24
		3	0.08	5.04	26.20	1236.51
		4	0.08	2.16	37.60	3304.71
		5	0.09	1.85	33.00	2718.41
		ค่าเฉลี่ย	0.08	3.18	29.38	1936.26
	4	1	0.08	2.28	38.80	4773.12
		2	0.08	3.33	19.70	893.31
		3	0.09	1.50	12.00	1848.06
		4	0.09	3.87	14.70	761.14
		5	0.10	4.16	26.00	1008.68
		ค่าเฉลี่ย	0.09	3.03	22.24	1856.86
	6	1	0.08	3.56	19.80	862.12
		2	0.09	2.52	34.20	3316.03
		3	0.08	4.68	22.10	818.12
		4	0.08	3.03	17.20	1630.40
		5	0.09	2.17	33.90	2395.37
		ค่าเฉลี่ย	0.08	3.19	25.44	1804.41

ตาราง ก.2 ตารางบันทึกผลการทดสอบการทนแรงดึงของพิสเมท 60 แกรม ที่ความเร็วรอบ 250 rpm

ชื่อ	% wt	ขั้นทดสอบ	ความหนา (mm)	Tensile strength Test		
				% Elongation at break	Tensile strength (MPa)	Young's Modulus (MPa)
PLA	0	1	0.07	3.08	44.30	2698.27
		2	0.08	1.91	13.00	2320.71
		3	0.08	5.60	22.90	801.10
		4	0.08	3.34	14.10	1947.82
		5	0.08	3.48	23.80	999.84
		ค่าเฉลี่ย	0.08	3.48	23.62	1753.55
PLA+PG	2	1	0.07	3.11	41.40	2421.32
		2	0.07	2.54	18.70	2607.14
		3	0.07	2.56	43.50	2918.81
		4	0.07	5.07	18.00	1984.36
		5	0.07	2.31	31.60	2821.98
		ค่าเฉลี่ย	0.07	3.12	30.64	2550.72
	4	1	0.07	2.76	15.90	1540.25
		2	0.07	3.55	20.70	1004.00
		3	0.07	3.03	20.70	1118.35
		4	0.07	3.52	22.70	1343.72
		5	0.07	3.44	16.10	1906.31
		ค่าเฉลี่ย	0.07	3.26	19.22	1382.53
PLA+EG	6	1	0.08	3.08	19.60	1105.48
		2	0.07	2.50	18.90	1158.12
		3	0.07	3.98	17.70	1827.90
		4	0.07	3.85	23.20	1434.69
		5	0.07	3.55	17.90	2131.12
		ค่าเฉลี่ย	0.072	3.39	19.46	1531.46
	2	1	0.07	5.36	13.20	1147.03
		2	0.09	3.22	21.70	1251.67
		3	0.09	2.48	30.70	2020.33
		4	0.09	4.54	15.60	1568.79
		5	0.09	4.26	29.50	1354.11
		ค่าเฉลี่ย	0.09	3.97	22.14	1468.39
PLA+EG	4	1	0.07	3.94	19.80	1183.57
		2	0.08	2.65	38.80	2867.98
		3	0.08	3.00	22.50	6179.06
		4	0.08	4.65	27.50	3772.09
		5	0.09	4.55	25.30	1383.41
		ค่าเฉลี่ย	0.08	3.76	26.78	3077.22
	6	1	0.08	3.28	37.40	2747.50
		2	0.08	3.99	20.00	850.46
		3	0.08	3.04	36.50	2593.14
		4	0.08	4.46	14.80	833.02
		5	0.08	3.98	17.40	946.52
		ค่าเฉลี่ย	0.08	3.75	25.22	1594.13

ตาราง ก.3 ตารางบันทึกผลการทดสอบการหดสูบการหดแรงตึงของพิล์มที่ความเร็วอบ 80 แกรม ที่ความเร็วอบ 150 rpm

ชื่อ	% wt	ชั้นทดสอบ	ความหนา (mm)	Tensile strength Test		
				% Elongation at break	Tensile strength (MPa)	Young's Modulus (MPa)
PLA	0	1	0.13	9.11	28.90	2002.26
		2	0.16	3.24	42.80	2882.63
		3	0.13	4.61	31.90	2422.18
		4	0.13	5.07	32.30	1870.20
		5	0.14	6.71	31.10	2105.17
		ค่าเฉลี่ย	0.14	5.75	33.40	2256.49
PLA+PG	2	1	0.12	2.33	31.60	3687.28
		2	0.13	3.77	37.90	3839.77
		3	0.13	2.91	29.80	2412.49
		4	0.13	9.40	20.70	1322.95
		5	0.13	6.37	22.70	1875.93
		ค่าเฉลี่ย	0.13	4.95	28.54	2627.68
	4	1	0.16	7.48	24.80	1747.52
		2	0.16	9.12	17.50	2163.00
		3	0.16	7.74	25.60	2025.88
		4	0.16	3.04	44.00	4218.50
		5	0.16	5.15	24.10	1844.63
		ค่าเฉลี่ย	0.16	7.48	24.80	1747.52
PLA+EG	6	1	0.16	7.25	22.60	1492.99
		2	0.16	5.62	25.60	1825.94
		3	0.17	5.77	22.90	1984.54
		4	0.18	5.92	25.20	1772.93
		5	0.18	6.50	22.80	1477.64
		ค่าเฉลี่ย	0.17	6.21	23.82	1710.81
	2	1	0.17	8.55	26.80	1469.08
		2	0.16	11.00	23.40	1065.73
		3	0.16	10.81	23.60	1144.37
		4	0.16	3.00	42.40	3697.39
		5	0.16	3.84	42.60	2631.42
		ค่าเฉลี่ย	0.16	7.44	31.76	2001.60
PLA+EG	4	1	0.15	2.04	21.60	1546.03
		2	0.15	3.97	29.40	1797.75
		3	0.16	2.61	27.90	2553.95
		4	0.16	3.60	35.40	2357.45
		5	0.16	2.67	22.80	1522.98
		ค่าเฉลี่ย	0.16	2.98	27.42	1955.63
	6	1	0.15	3.04	22.30	2319.54
		2	0.15	3.07	32.90	2773.77
		3	0.16	3.69	20.10	1458.30
		4	0.16	4.82	21.40	1648.22
		5	0.16	4.97	18.20	1511.76
		ค่าเฉลี่ย	0.16	3.92	22.98	1942.32

ตาราง ก.3 ตารางบันทึกผลการทดสอบการทนแรงดึงของพิล์มที่ laminate 80 แกรม ที่ความเร็วรอบ 200 rpm

ชื่อ	% wt	ชนิดส่วน	ความหนา (mm)	Tensile strength Test		
				% Elongation at break	Tensile strength (MPa)	Young's Modulus (MPa)
PLA	0	1	0.14	3.69	22.70	1441.09
		2	0.13	6.50	24.60	1716.53
		3	0.12	5.09	26.10	1633.20
		4	0.12	5.52	29.70	1413.44
		5	0.13	5.11	29.70	1640.66
		ค่าเฉลี่ย	0.13	5.18	26.56	1568.99
PLA+PG	2	1	0.13	4.71	21.70	1612.78
		2	0.13	8.00	22.70	1372.93
		3	0.13	3.10	43.80	3307.53
		4	0.13	5.18	25.30	2044.93
		5	0.14	6.38	24.30	1556.54
		ค่าเฉลี่ย	0.13	5.48	27.56	1978.94
	4	1	0.15	6.13	24.90	1202.87
		2	0.14	4.96	46.30	4094.25
		3	0.14	6.03	26.00	1781.10
		4	0.14	6.22	19.70	2086.22
		5	0.15	9.74	25.90	2054.54
		ค่าเฉลี่ย	0.14	6.62	28.56	2243.79
PLA+EG	6	1	0.15	6.58	24.00	1494.31
		2	0.15	5.70	23.40	1662.94
		3	0.15	6.00	21.60	1599.36
		4	0.16	9.18	25.20	1137.43
		5	0.16	7.14	19.50	1104.99
		ค่าเฉลี่ย	0.15	6.92	22.74	1399.80
	2	1	0.14	6.39	32.20	2903.17
		2	0.14	5.89	20.50	1058.22
		3	0.15	5.35	22.50	1416.94
		4	0.15	3.93	35.80	2983.49
		5	0.15	7.47	22.10	1213.93
		ค่าเฉลี่ย	0.15	5.80	26.62	1915.15
PLA+EG	4	1	0.13	3.22	27.60	2729.17
		2	0.13	3.49	32.70	2573.23
		3	0.13	4.45	19.60	1626.44
		4	0.13	4.30	18.50	1328.97
		5	0.13	2.73	32.80	3113.38
		ค่าเฉลี่ย	0.13	3.64	26.24	2274.24
	6	1	0.13	4.38	19.70	1582.33
		2	0.14	4.17	17.00	1295.82
		3	0.14	5.20	19.20	1374.51
		4	0.15	2.78	19.80	1573.84
		5	0.15	3.40	20.00	1520.68
		ค่าเฉลี่ย	0.14	3.99	19.14	1469.44

ตาราง ก.3 ตารางบันทึกผลการทดสอบการทนแรงดึงของพิล์มที่ถามิเนต 80 แกรม ที่ความเร็วรอบ 250 rpm

ชื่อ	% wt	ขั้นทดสอบ	ความหนา (mm)	Tensile strength Test		
				% Elongation at break	Tensile strength (MPa)	Young's Modulus (MPa)
PLA	0	1	0.12	5.76	22.40	1503.47
		2	0.13	3.94	25.30	1514.95
		3	0.13	7.79	20.30	1033.05
		4	0.13	7.10	26.20	1536.66
		5	0.14	7.97	21.90	1233.13
		ค่าเฉลี่ย	0.13	6.51	23.22	1364.25
PLA+PG	2	1	0.12	4.92	39.00	3132.35
		2	0.13	4.52	33.30	3172.68
		3	0.13	10.75	26.40	3176.61
		4	0.13	3.48	37.40	3288.22
		5	0.14	2.94	29.00	2655.58
		ค่าเฉลี่ย	0.13	5.32	33.02	3085.09
	4	1	0.12	4.60	17.70	1436.87
		2	0.12	6.00	38.10	3898.31
		3	0.12	6.62	40.50	4360.74
		4	0.13	9.34	22.30	1801.53
		5	0.13	12.36	44.40	3787.00
		ค่าเฉลี่ย	0.12	7.78	32.60	3056.89
PLA+EG	6	1	0.13	5.61	23.10	1525.67
		2	0.14	5.39	20.50	1452.07
		3	0.14	4.90	18.70	1239.41
		4	0.14	3.30	35.80	3196.93
		5	0.15	4.17	19.20	1335.43
		ค่าเฉลี่ย	0.14	4.67	23.46	1749.90
	2	1	0.14	9.50	16.50	1014.00
		2	0.14	5.45	20.40	1053.53
		3	0.14	11.54	22.90	1365.24
		4	0.14	7.53	22.30	1037.84
		5	0.14	7.75	20.90	1209.93
		ค่าเฉลี่ย	0.14	8.35	20.60	1136.11
	4	1	0.12	5.50	23.20	1449.07
		2	0.13	4.03	29.50	2828.18
		3	0.13	5.92	21.50	917.06
		4	0.13	4.49	34.70	2352.63
		5	0.13	5.89	25.10	1450.09
		ค่าเฉลี่ย	0.13	5.17	26.80	1799.41
	6	1	0.12	3.47	16.80	1680.38
		2	0.13	4.33	21.60	1444.66
		3	0.13	6.11	26.10	2535.55
		4	0.13	9.03	22.60	1826.14
		5	0.13	4.50	21.10	1672.15
		ค่าเฉลี่ย	0.13	5.49	21.64	1831.78

ภาคผนวก ข

ผลการทดสอบสมบัติการย่ออิสระของพิล์มพอลีแลคติกแอซิต

มหาวิทยาลัยพะรังสี

ตาราง ข.1 ตารางบันทึกผลการทดสอบการยืดหยุ่นของพิล์มที่ไม่ได้ความเนียนที่ความเร็วรอบ 150 rpm

ชื่อ	ร้อยละพลาสติก ไซเซอร์ % wt	ชิ้นทดสอบ	ความหนา (mm)	การยืดหยุ่น (g)	
				ไม่ผังคิน	ผังคิน
PLA	0	1	0.05	0.0757	0.0805
		2	0.05	0.0774	0.0784
		3	0.05	0.0803	0.0373
		4	0.05	0.1111	0.0752
		5	0.05	0.0878	0.0761
		ค่าเฉลี่ย	0.05	0.0865	0.0695
PLA+PG	2	1	0.05	0.0513	0.0340
		2	0.05	0.0471	0.0296
		3	0.05	0.0488	0.0312
		4	0.05	0.0480	0.0256
		5	0.05	0.0441	0.0284
		ค่าเฉลี่ย	0.05	0.0479	0.0298
	4	1	0.05	0.1145	0.1181
		2	0.05	0.1140	0.0936
		3	0.05	0.1174	0.0990
		4	0.05	0.1109	0.1022
		5	0.05	0.1217	0.0897
		ค่าเฉลี่ย	0.05	0.1157	0.1005
PLA+EG	6	1	0.05	0.1111	0.0555
		2	0.05	0.1310	0.0508
		3	0.05	0.1051	0.0583
		4	0.05	0.1174	0.0514
		5	0.05	0.1005	0.0825
		ค่าเฉลี่ย	0.05	0.1130	0.0597
	2	1	0.05	0.1232	0.1266
		2	0.05	0.1298	0.1229
		3	0.05	0.1497	0.1312
		4	0.05	0.1263	0.1276
		5	0.05	0.1181	0.1131
		ค่าเฉลี่ย	0.05	0.1294	0.1243
	4	1	0.05	0.1059	0.1102
		2	0.05	0.0971	0.0991
		3	0.05	0.1164	0.1123
		4	0.05	0.0981	0.1083
		5	0.05	0.1188	0.0946
		ค่าเฉลี่ย	0.05	0.1073	0.1049
	6	1	0.05	0.1181	0.0868
		2	0.05	0.1174	0.0790
		3	0.05	0.1102	0.0727
		4	0.05	0.1248	0.0941
		5	0.05	0.1247	0.1270
		ค่าเฉลี่ย	0.05	0.1190	0.0919

ตาราง ข.1 ตารางบันทึกผลการทดสอบการย่อยสลายของพิล์มที่ไม่ได้ laminate ที่ความเร็วรอบ 200 rpm

ชื่อ	ร้อยละพลาสติก ไนเชอร์ % wt	ชิ้นทดสอบ	ความหนา (mm)	การย่อยสลาย (g)	
				ไม่ผงดิน	ผงดิน
PLA	0	1	0.03	0.0672	0.0546
		2	0.03	0.0908	0.0992
		3	0.03	0.0572	0.0718
		4	0.03	0.0953	0.0653
		5	0.03	0.0656	0.0531
		ค่าเฉลี่ย	0.03	0.0752	0.0688
PLA+PG	2	1	0.03	0.0516	0.0469
		2	0.03	0.0552	0.0421
		3	0.03	0.0478	0.0397
		4	0.03	0.0657	0.0611
		5	0.03	0.0529	0.0446
		ค่าเฉลี่ย	0.03	0.0546	0.0469
	4	1	0.03	0.0581	0.0602
		2	0.03	0.0691	0.0538
		3	0.03	0.0598	0.0741
		4	0.03	0.0545	0.0661
		5	0.03	0.0693	0.0457
		ค่าเฉลี่ย	0.03	0.0622	0.0600
PLA+EG	6	1	0.03	0.0703	0.1059
		2	0.03	0.0656	0.0541
		3	0.03	0.0701	0.0752
		4	0.03	0.1736	0.0922
		5	0.03	0.0921	0.0687
		ค่าเฉลี่ย	0.03	0.0943	0.0792
	2	1	0.03	0.0721	0.0731
		2	0.03	0.0748	0.0675
		3	0.03	0.0618	0.0648
		4	0.03	0.0770	0.0715
		5	0.03	0.0620	0.0659
		ค่าเฉลี่ย	0.03	0.0695	0.0686
	4	1	0.03	0.0617	0.0562
		2	0.03	0.0661	0.0675
		3	0.03	0.0678	0.0618
		4	0.03	0.0610	0.0493
		5	0.03	0.0555	0.0514
		ค่าเฉลี่ย	0.03	0.0624	0.0572
	6	1	0.03	0.0652	0.0635
		2	0.03	0.0524	0.0468
		3	0.03	0.0573	0.0635
		4	0.03	0.0575	0.0494
		5	0.03	0.0616	0.0603
		ค่าเฉลี่ย	0.03	0.0588	0.0567

ตาราง ช.1 ตารางบันทึกผลการทดสอบการย่อยสลายของพิล์มที่ไม่ได้ลามิเนตที่ความเร็วรอบ 250 rpm

ชื่อ	ร้อยละพลาสติก ไชเซอร์ % wt	ชั้นทดสอบ	ความหนา (mm)	การย่อยสลาย (g)	
				ไม่ผึ้งดิน	ผึ้งดิน
PLA	0	1	0.02	0.0445	0.0523
		2	0.02	0.0776	0.0366
		3	0.02	0.0486	0.0420
		4	0.02	0.0597	0.0583
		5	0.02	0.0583	0.0676
		ค่าเฉลี่ย	0.02	0.0577	0.0514
		1	0.02	0.0560	0.0370
PLA+PG	2	2	0.02	0.0433	0.0392
		3	0.02	0.0597	0.0338
		4	0.02	0.0763	0.0363
		5	0.02	0.0441	0.0891
		ค่าเฉลี่ย	0.02	0.0559	0.0471
		1	0.02	0.0505	0.0661
		2	0.02	0.0847	0.0830
	4	3	0.02	0.0808	0.0531
		4	0.02	0.0557	0.0639
		5	0.02	0.0592	0.0608
		ค่าเฉลี่ย	0.02	0.0662	0.0654
		1	0.02	0.0859	0.0678
		2	0.02	0.0878	0.0740
PLA+EG	6	3	0.02	0.0789	0.0530
		4	0.02	0.0647	0.0645
		5	0.02	0.0493	0.0610
		ค่าเฉลี่ย	0.02	0.0733	0.0640
		1	0.02	0.0751	0.0573
		2	0.02	0.0548	0.0425
		3	0.02	0.0451	0.0508
	2	4	0.02	0.0385	0.0273
		5	0.02	0.0448	0.0449
		ค่าเฉลี่ย	0.02	0.0517	0.0446
		1	0.02	0.0803	0.0651
		2	0.02	0.0748	0.0594
		3	0.02	0.0616	0.0561
	4	4	0.02	0.0645	0.0672
		5	0.02	0.0630	0.0685
		ค่าเฉลี่ย	0.02	0.0688	0.0633
		1	0.02	0.0534	0.0391
		2	0.02	0.0607	0.0261
		3	0.02	0.0497	0.0307
	6	4	0.02	0.0394	0.0332
		5	0.02	0.0675	0.0308
		ค่าเฉลี่ย	0.02	0.0541	0.0320

ตาราง ข.2 ตารางบันทึกผลการทดสอบการย่อสลายของพิล์มลาภีเนต 60 แกรม ความเร็วรอบ 150rpm

ชื่อ	ร้อยละพลาสติก ไชเซอร์ % wt	ชนิดส่วน	ความหนา (mm)	การย่อสลาย(%)	
				ไม่ผึ้งคิน	ผึ้งคิน
PLA	0	1	0.08	0.2006	0.1519
		2	0.09	0.2987	0.1541
		3	0.09	0.1929	0.2291
		4	0.09	0.2378	0.1877
		5	0.09	0.2212	0.2099
		ค่าเฉลี่ย	0.09	0.2302	0.1865
PLA+PG	2	1	0.08	0.2186	0.1223
		2	0.07	0.2167	0.1156
		3	0.08	0.2612	0.1393
		4	0.08	0.2334	0.1133
		5	0.06	0.2371	0.1008
		ค่าเฉลี่ย	0.07	0.2334	0.1183
	4	1	0.10	0.2336	0.2403
		2	0.10	0.2378	0.2239
		3	0.10	0.2362	0.1932
		4	0.10	0.2358	0.2002
		5	0.10	0.2303	0.2216
		ค่าเฉลี่ย	0.10	0.2347	0.2158
PLA+EG	6	1	0.09	0.2460	0.2170
		2	0.10	0.2293	0.2235
		3	0.10	0.2190	0.2295
		4	0.10	0.2167	0.2171
		5	0.10	0.2435	0.2403
		ค่าเฉลี่ย	0.10	0.2309	0.2170
	2	1	0.10	0.2247	0.1993
		2	0.10	0.2423	0.2235
		3	0.10	0.2322	0.2196
		4	0.10	0.2242	0.2129
		5	0.10	0.2268	0.2358
		ค่าเฉลี่ย	0.10	0.2300	0.2182
	4	1	0.10	0.2138	0.1797
		2	0.10	0.2275	0.1822
		3	0.10	0.2266	0.2153
		4	0.10	0.2209	0.1658
		5	0.08	0.2174	0.1653
		ค่าเฉลี่ย	0.10	0.2212	0.1817
	6	1	0.10	0.2542	0.2068
		2	0.10	0.2522	0.2047
		3	0.10	0.2234	0.1911
		4	0.10	0.2344	0.1982
		5	0.10	0.2361	0.1556
		ค่าเฉลี่ย	0.10	0.2401	0.1913

ตาราง ช.2 ตารางบันทึกผลการทดสอบการยืดหยุ่นสลายของฟิล์มที่ lameinec 60 แกรมที่ความเร็วรอบ 200rpm

ชื่อ	ร้อยละพลาสติก ไชเซอร์ % wt	ขั้นทดสอบ	ความหนา (mm)	การยืดหยุ่นสลาย(%)	
				ไม่ผึ้งคิน	ผึ้งคิน
PLA	0	1	0.10	0.1511	0.1738
		2	0.07	0.2259	0.1641
		3	0.09	0.1656	0.1781
		4	0.09	0.1606	0.1514
		5	0.09	0.1687	0.1659
		ค่าเฉลี่ย	0.09	0.1744	0.1667
PLA+PG	2	1	0.07	0.1895	0.1222
		2	0.08	0.1669	0.1165
		3	0.08	0.1955	0.106
		4	0.09	0.1663	0.1014
		5	0.08	0.1713	0.1313
		ค่าเฉลี่ย	0.08	0.1779	0.1155
	4	1	0.08	0.1803	0.1607
		2	0.08	0.1903	0.1578
		3	0.08	0.1782	0.1499
		4	0.08	0.185	0.1655
		5	0.08	0.1887	0.1701
		ค่าเฉลี่ย	0.08	0.1845	0.1608
	6	1	0.07	0.1576	0.1358
		2	0.09	0.1775	0.1823
		3	0.10	0.1806	0.1611
		4	0.08	0.1782	0.1563
		5	0.08	0.1764	0.1855
		ค่าเฉลี่ย	0.08	0.1741	0.1642
	2	1	0.07	0.1937	0.1258
		2	0.08	0.1877	0.1303
		3	0.08	0.1944	0.1368
		4	0.08	0.1893	0.1278
		5	0.09	0.1961	0.1182
		ค่าเฉลี่ย	0.08	0.1922	0.1278
PLA+EG	4	1	0.08	0.1929	0.0922
		2	0.08	0.2173	0.1148
		3	0.09	0.1856	0.1325
		4	0.09	0.1812	0.1378
		5	0.10	0.1862	0.1505
		ค่าเฉลี่ย	0.09	0.1926	0.1256
	6	1	0.08	0.1727	0.1818
		2	0.09	0.1761	0.1736
		3	0.08	0.1856	0.1300
		4	0.08	0.1788	0.1712
		5	0.09	0.1845	0.1129
		ค่าเฉลี่ย	0.08	0.1795	0.1539

ตาราง ข.2 ตารางบันทึกผลการทดสอบการย่อยสลายของพิล์มที่ความหนา 60 แกรม ที่ความเร็วรอบ 250 rpm

ชื่อ	ร้อยละพลาสติก ไชเซอร์ % wt	ชั้นทดสอบ	ความหนา (mm)	การย่อยสลาย(g)	
				ไม่ผึ้งดิน	ผึ้งดิน
PLA	0	1	0.07	0.1653	0.1393
		2	0.08	0.1689	0.1216
		3	0.08	0.1682	0.1254
		4	0.08	0.1699	0.1384
		5	0.08	0.1611	0.1153
		ค่าเฉลี่ย	0.08	0.1667	0.1280
PLA+PG	2	1	0.07	0.1503	0.1490
		2	0.07	0.1516	0.1317
		3	0.07	0.1511	0.1265
		4	0.07	0.1563	0.1134
		5	0.07	0.1562	0.1410
		ค่าเฉลี่ย	0.07	0.1531	0.1323
	4	1	0.07	0.2147	0.1396
		2	0.07	0.2238	0.1497
		3	0.07	0.1615	0.1252
		4	0.07	0.2173	0.1585
		5	0.07	0.2104	0.1383
		ค่าเฉลี่ย	0.07	0.2055	0.1423
PLA+EG	6	1	0.08	0.1728	0.1503
		2	0.07	0.1711	0.1748
		3	0.07	0.1755	0.1420
		4	0.07	0.1756	0.1686
		5	0.07	0.1725	0.1642
		ค่าเฉลี่ย	0.072	0.1735	0.1503
	2	1	0.07	0.1519	0.1584
		2	0.09	0.1788	0.1752
		3	0.09	0.1597	0.1628
		4	0.09	0.1757	0.1556
		5	0.09	0.1587	0.1719
		ค่าเฉลี่ย	0.09	0.1650	0.1648
	4	1	0.07	0.1816	0.1542
		2	0.08	0.1788	0.1761
		3	0.08	0.1804	0.1391
		4	0.08	0.1755	0.1191
		5	0.09	0.1797	0.1631
		ค่าเฉลี่ย	0.08	0.1792	0.1503
	6	1	0.08	0.1697	0.0825
		2	0.08	0.1768	0.1080
		3	0.08	0.1838	0.0910
		4	0.08	0.1784	0.0895
		5	0.08	0.1739	0.0913
		ค่าเฉลี่ย	0.08	0.1765	0.0925

ภาคผนวก ค

ผลการวัดอุณหภูมิในการทดสอบการย่อยสลายของ

พิล์มพอลีแลคติกแอซิต

มหาวิทยาลัยพะเยา

ตาราง ค.1 ตารางบันทึกผลการวัดอุณหภูมิการทดสอบสมบัติการยืดหยุ่นสลายของพีล์ม

	สัปดาห์	วันที่	อุณหภูมิ (°C)
1 เดือน	1	1	35
		2	33
		3	30
		4	33
		5	31
		6	34
		7	30
	ค่าเฉลี่ย		32
2	2	1	32
		2	31
		3	28
		4	33
		5	35
		6	33
		7	36
	ค่าเฉลี่ย		33
3	3	1	26
		2	30
		3	28
		4	27
		5	26
		6	30
		7	31
	ค่าเฉลี่ย		28
4	4	1	34
		2	30
		3	32
		4	33
		5	31
		6	31
		7	30
	ค่าเฉลี่ย		32
	ค่าเฉลี่ยรวม		31

ตาราง ค.1 ตารางบันทึกผลการวัดอุณหภูมิการทดสอบสมบัติการป้องกันของพืช

สัปดาห์	วันที่	อุณหภูมิ (°C)
1	1	29
	2	30
	3	30
	4	29
	5	28
	6	31
	7	33
	ค่าเฉลี่ย	30
	1	30
	2	29
	3	30
	4	32
	5	30
	6	31
	7	32
2 เดือน	ค่าเฉลี่ย	31
	1	30
	2	28
	3	28
	4	29
	5	30
	6	32
	7	34
	ค่าเฉลี่ย	30
	1	35
	2	31
	3	29
	4	33
	5	35
3	6	36
	7	28
	ค่าเฉลี่ย	32
	ค่าเฉลี่ยรวม	30